

Б90/1
ЕИС 50/1

ДЕРЕВЯННЫЕ
КОНСТРУКЦИИ
В СТРОИТЕЛЬСТВЕ



Б. С. СОКОЛОВСКИЙ

630,01
8 62

ДЕРЕВЯННЫЕ КОНСТРУКЦИИ В СТРОИТЕЛЬСТВЕ

БИБЛИОТЕКА

917 446

Библиотека
Библиотека № 18

БИБЛИОТЕКА

Бук. Н

№ 10169

МОСКВА
СТРОИЗДАТ
1973



Научный редактор канд. техн. наук Г. Н. Зубарев

Соколовский Б. С. Деревянные конструкции в строительстве.
М., Стройиздат, 1973, 120 с.

В книге излагаются комплекс вопросов, связанных с долговечностью деревянных конструкций в обычных и в агрессивных средах. Описывается опыт применения клееных деревянных конструкций в строительстве с примерами проектирования, испытания и изготовления.

Книга предназначена для инженеров-проектковщиков, производственников и научных работников.

Табл. 32, ил. 72, список лит. 30 назв.

Борис Сергеевич Соколовский

Деревянные конструкции в строительстве

Редактор издательства Б. А. Вегак
Технический редактор И. В. Панова
Корректор М. Ф. Казакова

Сдано в набор 20/ХI-1973 г. Подписано к печати 4/VII-1973 г.
Формат 60×80^{1/4} к. д. л. Бумага типографская № 2
7,5 печ. л. (7,58 л. уч.-изд.)
Тираж 29000 экз. Изд. № АХ1-3580 Знак. 887 Цена 38 коп.

Стройиздат
103777, Москва, Кузнецкий мост, д. 9
Подольская типография Стразиногравирама
при Государственном комитете Совета Министров СССР
по делам издательства, полиграфии и книжной торговли
г. Подольск, ул. Кирова, 20

© Стройиздат, 1973

0325-582 97-73
047(01)-73

Предисловие

В Директивах XXIV съезда КПСС указывается на необходимость и целесообразность массового применения новых эффективных материалов и облегченных конструкций.

Наряду с другими прогрессивными материалами значительное место в строительстве занимают изделия и конструкции из древесины. Разработка новых деревянных конструкций индустриального изготовления и внедрение их в практику строительства имеют существенное значение. При дальнейшем развитии деревообрабатывающей промышленности намечается массовый выпуск наиболее прогрессивных клеенных деревянных конструкций, защищенных от гниения и возгорания, что даст большой экономический эффект и позволит лучше использовать обширные запасы деловой древесины, которыми располагает Советский Союз.

Следует уделять должное внимание и тому исчисляемому десятками миллионов кубометров объему древесины, который задан в эксплуатируемых зданиях и сооружениях. Несомненно, большое государственное значение имеет сохранность деревянных несущих конструкций. При хороших условиях эксплуатации они выполняют свое назначение в течение длительного срока — 100—150 лет. Вместе с тем в практике ремонтно-восстановительных работ наблюдаются случаи, когда при повреждении отдельных частей или элементов несущих конструкций без достаточных к тому оснований разбирают все покрытие или перекрытие. Этого можно избежать, применяя эффективные методы усиления конструкций и ряд других мероприятий, способствующих сохранности и долговечности деревянных конструкций в условиях эксплуатации.

В книге рассмотрены вопросы долговечности некоторых деревянных несущих конструкций в обычных условиях эксплуатации и в агрессивных средах. Даны рекомендации по применению несущих конструкций в условиях агрессивных газовых сред. В работе использован опыт длительных наблюдений автора за состоянием несущих конструкций на эксплуатируемых объектах, а также рассматриваются и сопоставляются положительные и отрицательные свойства отдельных видов конструкций.

Значительное внимание уделено kleеным деревянным конструкциям. Излагается опыт проектирования и испытания отдельных видов kleенных конструкций, в том числе и конструкций с узловыми соединениями, склеенными под углом. Даются краткие сведения по технологии изготовления kleенных конструкций различных типов и данные о трудоемкости работ.

Глава I

ДОЛГОВЕЧНОСТЬ ДЕРЕВЯННЫХ КОНСТРУКЦИЙ И МЕРОПРИЯТИЯ ПО ПРОДЛЕНИЮ СРОКА ИХ ЭКСПЛУАТАЦИИ

Долговечность деревянных несущих конструкций в значительной степени зависит от условий эксплуатации. Рассматривая эти условия, следует считаться с подверженностью древесины загниванию при неблагоприятном температурно-влажностном режиме. Появление гнили, особенно в опорных частях конструкций, является следствием конденсационного и капиллярного увлажнения древесины при протечках недоброкачественной или небрежно эксплуатируемой кровли. Отсутствие вентилирования чердачного помещения и отсутствие доступа для осмотра узловых соединений ведет к поражению увлажненных элементов деревянных несущих конструкций дереворазрушающими грибами. В нормальных условиях эксплуатации, при соблюдении установленного температурно-влажностного режима, деревянные конструкции сохраняются долгие годы.

Примером могут служить фермы покрытия театрального зала Останкинского дворца, сооруженные в 1792 г. и существующие до сих пор.

Известны фермы покрытия Манежа в Москве, построенные в 1817 г. Поддерживаемые дополнительными промежуточными опорами, они эксплуатируются и ныне. Выстроенное несколько позже здание бывшего дворянского собрания в Туле (теперь Дом офицеров) имеет зал с пролетом 18 м, перекрытый деревянными фермами из круглого леса, которые эксплуатируются до настоящего времени.

Нормы и технические условия проектирования деревянных конструкций требуют, чтобы несущие конструкции делали открытыми, хорошо проветриваемыми, защищенными от увлажнения и доступными для осмотра.

Ниже излагается опыт наблюдения за состоянием некоторых распространенных в прошлом несущих деревянных конструкций на различных объектах в условиях эксплуатации. Наиболее длительные наблюдения (в течение 15 лет) проводились на объектах, расположенных на территории ВДНХ.

1. Балки в междуэтажных и чердачных перекрытиях

Балки из брусьев применяются в качестве несущих конструкций в междуэтажных и чердачных перекрытиях жилых и общественных малоэтажных зданий. Они изготавливаются по ГОСТ 4981—69.

В зависимости от планировки помещений в практике строительства применяются два основных варианта расположения балок в перекрытиях:

а) балки расположены поперек здания и опираются на наружные и внутренние несущие стены или на кирпичные столбы;

б) балки расположены вдоль здания и опираются на поперечные несущие стены или на прогоны, уложенные поперек здания с промежуточными опорами на кирпичных столбах.

Наиболее подвержены загниванию концы балок, заделанные в наружные стены. Причина этого — конденсационное увлажнение балок при глухой заделке концов.

При обследовании под Москвой двухэтажного здания большой протяженности, с деревянными междуэтажными и чердачными перекрытиями было установлено, что после 30 лет эксплуатации около 30% чердачных балок имели гнившие концы, заделанные в наружные стены. Наряду с этим отдельные участки перекрытий, в которых балки были расположены параллельно наружным стенам и опирались на поперечные стены или прогоны, находились в удовлетворительном состоянии.

Исходя из этого можно рекомендовать (в тех случаях, когда это допускается планировочным решением) располагать балки параллельно наружным стенам, с опиранием их концов на поперечные прогоны или поперечные несущие стены.

Протекание кровли в местах расположения настенных желобов и водосточных воронок также ведет к загниванию дрессии. Эта далеко не совершенная конструкция кровли требует постоянного наблюдения и обслуживания в процессе эксплуатации, т. е. своевременной очистки желобов от листьев и мусора, а в зимних условиях — удаления образующейся наледи.

В ряде случаев проектировщики применяют минимально допускаемые нормами уклоны настенных желобов — 2%. Практика эксплуатации показывает, что лежачие фальцы стальной кровли на этих участках не обладают необходимой герметичностью. При засорении, наледи и возникающих поэтому застоях воды они протекают, при этом увлажняются концы балок чердачного перекрытия и вышерасположенные концы стропильных ног.

В одноэтажных и двухэтажных зданиях со стальной кровлей целесообразно, как правило, отказаться от устройства настенных желобов и осуществлять неорганизованный сток воды. При этом для предохранения стен от намокания рекомендуется увеличить вылет карниза до 70—80 см.

Неудовлетворительное состояние настенных желобов стальной кровли за ряде павильонов ВДНХ приводило к аварийному состоянию потолков на участках, примыкающих к наружным стенам. После нескольких случаев обрушения потолков на некоторых объектах кровля при их ремонте была выполнена без настенных желобов с устройством неорганизованного стока во-

м при увеличенном вылете карниза. Протекание кровли в этих зонах прекратилось.

Существенное значение имеет наличие вентиляции в междуэтажных перекрытиях. При отсутствии вентиляционных розеток при увлажнении создаются благоприятные условия для развития дереворазрушающих грибов.

В чердачных перекрытиях наблюдаются случаи загнивания балок при недостаточной толщине утепляющего слоя: образуется конденсат, увлажняющий балки и накат.

Причиной загнивания балок может быть неправильная укладка пароизоляционного слоя. В одном из подмосковных кинотеатров в подвесном чердачном перекрытии пароизоляционный слой у балок был загнут кверху, из-за чего вдоль боковых поверхностей балок образовалась пазухи (рис. 1), в которых происходила конденсация водяных паров. При ремонте перекрытия было установлено, что большая часть балок и черепиных брусков была поражена гнилью и требовала замены.

В покрытии над залом кинотеатра в г. Северодвинске дефекты были допущены при укладке вентиляционных шлакоалебастровых коробов. Через 3 месяца после сдачи покрытия в эксплуатацию было обнаружено, что из-за отсутствия теплоизоляции вытяжных коробов при минусовой температуре в чердачном помещении теплый воздух из коробов проникал в чердачное пространство и образовывал на внутренней поверхности стальной кровли обильный конденсат. Сильное увлажнение балок и наката в дальнейшем могло повести к образованию гнили.

Совершенно недопустимо устройство парапетов, расположенных перпендикулярно скату стальной кровли, при наличии деревянных чердачных перекрытий. Можно привести десятки примеров загнивания концов балок в местах их заделки у парапетных стен. Недопустима также установка по направлению ската каких-либо сплошных рекламных щитов, способствующих образованию снеговых мешков.

2. Гвоздевые балки с перекрестной стенкой

Гвоздевые балки с перекрестной дощатой стенкой получили в довоенный период широкое распространение в промышленном, гражданском, а иногда и в жилищном строительстве (в надстройках). Опыт применения таких балок показал надежную

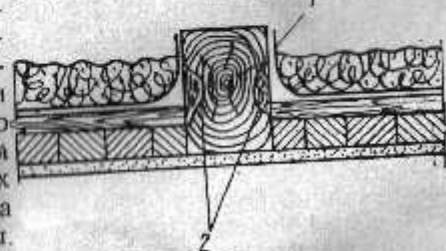


Рис. 1 Пример неправильной укладки пароизоляционного слоя в чердачном перекрытии

их работу даже в тяжелых условиях эксплуатации. Однако были случаи, когда такие балки приходили в аварийное состояние в результате заниженной высоты, малого числа гвоздей и низкого качества древесины, особенно нижних поясов.

Балки применялись обычно для пролетов до 12 м. По очертаниям они выполнялись с параллельными поясами, двускатными и односкатными с уклоном верхнего пояса $1/10$ — $1/12$. Полная высота двускатных балок в середине длины принималась равной $1/9$ пролета, а для односкатных — $1/9$ пролета в четверти длины.

Автор настоящей работы в течение 15 лет вел постоянные наблюдения за состоянием гвоздевых балок в 13 покрытиях павильонов ВДНХ. Было обследовано состояние 77 гвоздевых балок двускатного и односкатного очертаний. При обследовании проводились замеры балок и устанавливалось количество гвоздей, болтов и их расстановка. Одновременно с этим проверялось качество древесины и фиксировалась деформации балок. Выполнялись поверочные расчеты и устанавливалась несущая способность балок. Давались указания по усилению дефектных конструкций и составлялись соответствующие рабочие чертежи.

Результаты обследования балок даны в табл. 1. Из таблицы можно установить дату изготовления и установки балок в покрытии, состояние конструкций и те мероприятия, которые были рекомендованы и выполнены для продления срока их эксплуатации.

Все балки, расположенные в доступных для осмотра и претерпеваемых чердачных помещениях, находились примерно в одинаковых условиях эксплуатации. Балки несли, как правило, одну и ту же нагрузку от неутепленной рубероидной кровли по двойному перекрестному настилу. Подвесные потолки были легкого типа, подшиты внизу фанерой или сухой штукатуркой; в ряде случаев потолки были утеплены минеральной ватой.

Представляют интерес дефекты, обнаруженные в балках за 30—36 лет их эксплуатации.

Во многих балках от усушки древесины между поясными досками и стенкой образовались щели, которые вместо допускаемых 1—1,5 мм достигали величины 3—4 мм. Этот дефект легко устраивался при подтяжке болтом, расположенных в местах ребер жесткости. Иногда оказывалось необходимым устанавливать дополнительные стяжные болты в местах наибольшего раскрытия швов.

Величина прогибов обычно не превышала $1/200$ пролета. Исключение составляли только балки со значительными перенапряжениями в результате перегрузки или дефектов изготовления.

Из 13 обследованных покрытий только в двух (см. п. 1 и 2 табл. 1) было установлено аварийное состояние балок при нагрузке, вдвое превышающей расчетную. Эти балки имели заниженную высоту — $1/13$ вместо $1/9$ в четверти пролета.

Несмотря на большую перегрузку, балки эти все же простояли 35 лет. В одном из павильонов в некоторых балках были вырезаны перекрестные стенки в опорных панелях (см. п. 6 табл. 1). Произведенным расчетом были установлены значительные, вдвое превышающие расчетные напряжения в поясах балок на участках опорных панелей. Тем не менее эти балки просостояли 10 лет до проведения работ по усилению опорных панелей.

В другом случае при изготовлении балок были пропущены прокладки в стыках нижнего пояса (см. п. 9 табл. 1). Стыки балок работали с большим перенапряжением; тем не менее балки простояли до их усиления 33 года.

За более чем 35-летний срок эксплуатации покрытий с гвоздевыми дощатыми балками нигде не было установлено случая их загнивания благодаря постоянному хорошему проветриванию помещений при помощи слуховых окон.

Гвоздевые балки с параллельными поясами применялись в качестве несущих конструкций и при возведении надстроек зданий, в которых средние продольные стены ввиду их недостаточной прочности не могли быть использованы как опоры. Гвоздевые балки пролетом 10—12 м несли нагрузку от междуетажных перекрытий и опирались на наружные стены.

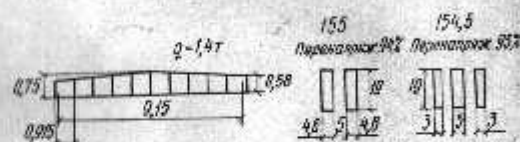
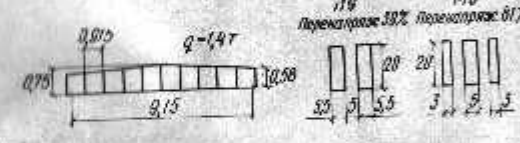
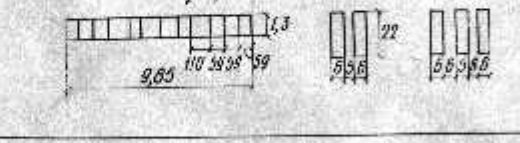
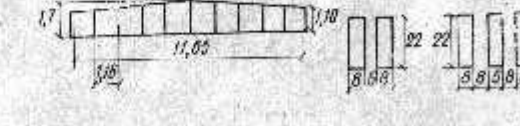
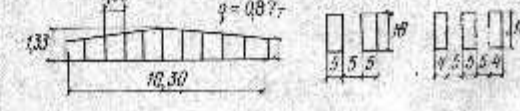
В настоящее время в Москве есть жилые дома, где в 1931—1932 гг. были установлены балки такого типа, запроектированные быв. Моснадстроем. Перекрытия с этими балками имеются в двухэтажной надстройке гостиницы «Бухарест» (б. «Балчуг»), в одноэтажной надстройке жилого дома по ул. Алексея Толстого, 17 и др. Перекрытия в этих надстройках находятся в эксплуатации уже 40 лет.

По результатам наблюдений можно сделать вывод: балки такого типа построечного изготовления — надежная конструкция, допускающая случайные перегрузки при эксплуатации.

Опасения некоторых авторов [21] о якобы больших деформациях, возникающих в балках с податливыми гвоздевыми соединениями, в значительной степени преувеличены. Например, гвоздевые балки пролетом 11,65 м (см. п. 4 табл. 1), несущие нагрузку 2,07 тс/м от совмещенного перекрытия, утепленного шлаком, за 18 лет эксплуатации имели прогиб 4 см, т. е. менее $1/200$ пролета.

Необходимо дополнительно исследовать вопрос об ослаблении сечений досок гвоздями и о нормировании расстановки гвоздей в наиболее ответственном месте, в стыках нижних поясов балок. Частая расстановка гвоздей через $4d$ в количестве 7—8 шт. по ширине доски при наличии перенапряжений приводила в некоторых случаях к разрыву нижнего пояса балки. Разрыв происходил в месте наибольшей частой расстановки гвоздей, а не в месте действия наибольших изгибающих моментов в нижних поясах балок.

Таблица 1

Ведомость обследования				
Назначение объекта, количество балок	Срок эксплуатации	Схема балки	Сечения элементов и напряжения в кгс/см ²	
			верхний и нижний пояса	стык нижнего пояса
1 Павильон «Советская культура», 6 балок	35 лет		155 Перенапряжение 55%	55,5 Перенапряжение 55%
2 То же	35 лет		145 Перенапряжение 55%	45 Перенапряжение 45%
3 Павильон «Геодезия», 5 балок	20 лет		55 Перенапряжение 55%	55 Перенапряжение 55%
4 Ремонтная мастерская, 7 балок	8 лет		75 Перенапряжение 55%	54 Перенапряжение 54%
5 Павильон «Внешгражданство», 3 балки	34 года		63 Перенапряжение 55%	56 Перенапряжение 56%

Индивидуальный		Состав конструкции по материалам включений	Мероприятия по усилению балок	Примечания
в дверной раме	в стыке нижнего пояса			
Гвозди $d=5$ мм, $l=150$ мм 64 шт.	Гвозди $d=5$ мм, $l=150$ мм 126 шт.	Балки имеют заниженную высоту, нагрузка завышена. Разрыв нижних поясов зимой 1970 г. в 2 балках. Состояние балок аварийное	Поставлены промежуточные стойки	—
Перенапряжение нет	Перенапряжение 47%	—	—	—
Гвозди $d=5$ мм, $l=150$ мм 56 шт.	Гвозди $d=5$ мм, $l=150$ мм 128 шт.	Балки имеют заниженную высоту, нагрузка завышена	Поставлены промежуточные стойки	—
Перенапряжение нет	Перенапряжение 45%	—	—	—
Гвозди $d=5$ мм, $l=150$ мм 18 шт.	Стык на болтах $d=12$ мм 18 шт.	Состояние балок удовлетворительное. Увеличенные швы между поясными досками и стенкой	Подтяжка стяжных болтов по осям панелей. Постановка дополнительных болтов $d=12$ мм	В 1965 г. выполнено переустройство. Разобраны кессоны потолка, нагрузка снижена
Перенапряжение нет	—	—	—	—
Гвозди $d=5,5$ мм, $l=175$ мм 22 шт.	Стык на болтах и нагелях $d=16$ мм 22 шт.	Состояние балок удовлетворительное	—	—
Перенапряжение нет	—	—	—	—
Гвозди $d=5,5$ мм, $l=150$ мм 120 шт.	Стык на гвоздях $d=5$ мм, $l=150$ мм 120 шт.	Состояние балок удовлетворительное. Увеличенные швы между поясами и стенкой балки	—	—
Перенапряжение нет	—	—	—	—

№	Наименование объекта, количество балок	Срок эксплуатации	Схема балки	Ведомость обследования		Соединение балок				Примечания	
				Составка элементов и напряжения в кгс/см²		Вид соединения		Состояние конструкций по материалам захваченных			
				верхней и нижней пояса	стык крайнего лонжа	в опорной зоне	в стыке ниж- него пояса	Составление из материалов захваченных	Составление из материалов захваченных		
6	Павильон «Виноград», 15 балок	36 лет	<p>100 80 750 $q=1,35\text{ m}$ Отверстия в стенке в 3/4 балках</p> <p>108 96 Перенапряж 35% Перенапряж 20%</p> <p>555 29 26 555 4-555</p>			Гвозди $d=5\text{ mm}$, $l=150\text{ mm}$ с шагом 140 шт.	Гвозди $d=5\text{ mm}$, $l=150\text{ mm}$ 140 шт.	Состояние балок удовлетворительное, за исключением 3 балок с прирезанными отверстиями в опорных панелях	В балках с прорезанными отверстиями усилены опорные панели досками на болтах $d=12\text{ mm}$ и на гвоздях	—	
7	Павильон «Масложировая промышленность», 6 балок	35 лет	<p>100 80 $q=1,35\text{ m}$</p> <p>87 13 Перенапряж 9% Перенапряж 36%</p> <p>555 19 19 555 65554</p>			Гвозди $d=5\text{ mm}$, $l=150\text{ mm}$ с шагом 120 мм	14 болтов $d=10\text{ mm}$, перенапряжение в соединении 26%	Неудовлетворительное состояние стыков балок	Усиление стыков накладками на болтах	Усиление выполнено не	
8	Павильон «Профтехобразование», 3 балки	18 лет	<p>100 80 $q=1,35\text{ m}$</p> <p>55 98 Перенапряж 12%</p> <p>555 22 22 555 5 555</p>			Гвозди $d=5\text{ mm}$, $l=150\text{ mm}$, перенапряжение 20%	Гвозди $d=5\text{ mm}$, $l=150\text{ mm}$ 12 шт.	Состояние балок удовлетворительное	Произведена подтяжка болтов в поясах	—	
9	Павильон «Транспорт», 4 балки	35 лет	<p>100 80 $q=1,35\text{ m}$</p> <p>95 115 Перенапряж 19% Перенапряж 45%</p> <p>555 18 18 555 655</p>			Гвозди $d=5\text{ mm}$, $l=150\text{ mm}$ с шагом 120 мм	Гвозди $d=5\text{ mm}$, $l=150\text{ mm}$, перенапряжение 171%	Состояние аварийное ввиду отсутствия прокладок в стыке	Поставлены тяжи $d=32\text{ mm}$ поясу нижнему балок	При изготовлении балок не были установлены прокладки в стыке	
10	Павильон «Рыбная промышленность», 4 балки	36 лет	<p>100 80 $q=0,94\text{ m}$</p> <p>93 79 555 355513</p>			Гвозди $d=5\text{ mm}$, $l=150\text{ mm}$ через 120 мм	Гвозди $d=5\text{ mm}$, $l=150\text{ mm}$ 70 шт.	Повышенная влажность балок вследствие частых протечек кровли	Подтяжка болтов в досках пояса	Намечена разборка парапетов кровли для улучшения стока воды	

№ п/п	Назначение объекта, количество балок	Срок эксплуатации	Схема балки	Ведомость обследования		Составление конструкций по материалам заключений	Мероприятия по усилению балок	Примечания			
				Соединения элементов и напряжения в каскаде							
				верхний и нижний пояса	стяги нижнего пояса						
11	Павильон «Транспортное агентство»	30 лет		92 Перекл. перекр. 21% 95 19%	10 10.20 10 10.20 10	Гвозди $d=5$ мм, $l=150$ мм через 130 мм	Гвозди $d=5$ мм, $l=150$ мм 98 шт.	Состояние балок удовлетворительное Подтяжка болтов в досках пояса	Павильон разобран в 1966 г.		
12	Павильон «Туркменская ССР», 5 балок	29 лет		46 28 454 10 45554 2	9 9.35 10.20 9 9.35 10.20 9	Гвозди $d=5$ мм, $l=150$ мм через 140 мм	Гвозди $d=5$ мм, $l=150$ мм 72 шт.	Состояние балок удовлетворительное. Завышена высота балок	Павильон разобран в 1964 г.		
13	Павильон «Бумажная промышленность», 4 балки	32 года		92 Перекл. 15% 71 45554 2	9 9.35 10.20 9 9.35 10.20 9	Гвозди $d=5$ мм, $l=150$ мм через 120 мм	Гвозди $d=5$ мм, $l=150$ мм 120 шт.	Состояние балок удовлетворительное Подтяжка болтов в досках пояса	Павильон разобран в 1965 г.		

Что касается области применения гвоздевых балок, то в СНиП II-3-62 указывалось, что они могут быть рекомендованы для сооружений временного назначения. Исходя из сказанного выше, было бы целесообразно несколько расширить область применения двухтавровых гвоздевых балок с перекрестной структурой и рекомендовать их в качестве несущей конструкции при строительном изготовлении для зданий павильонного типа, а также для сельскохозяйственных построек, например ремонтных мастерских, складов сельскохозяйственной техники и др., при пролетах до 12 м.

В настоящее время гвоздевые конструкции из досок получили достаточное развитие за рубежом для временных сооружений в деревянном домостроении, чему способствовало упрощение

технологии изготовления дощатых конструкций с помощью специального пистолета для забивки гвоздей применение которого позволило значительно сократить срок изготовления конструкций.

3. Деревянные фермы

На ВДНХ были проведены обследования десяти перекрытий со 125 дощатыми деревянными фермами треугольного очертания с узловыми соединениями на болтах (рис. 2), а также 15 перекрытий со 134 деревянными фермами того же очертания из брусьев с соединением на врубках и болтах (рис. 3). В трех перекрытиях были обследованы 24 аналогичные деревянные фермы из брусьев трапециевидного очертания (см. табл. 3). Все

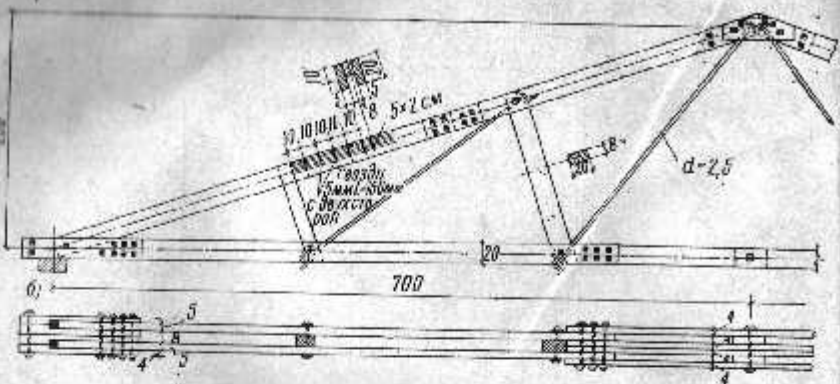


Рис. 2. Треугольные дощатые фермы
а — фасад; б — план нижнего пояса

фермы несли нагрузку от подвесных потолков и находились в одинаковых условиях в течение длительного срока эксплуатации (20—36 лет).

При обследовании ферм проводились обмеры всех элементов конструкций и узловых соединений. Составлялись ведомости дефектов с указанием наличия трещин, характера расстройства узловых соединений, деформаций отдельных элементов, прогиба конструкций и т. д. Брались пробы древесины для определения ее прочностных характеристик.

Ниже излагаются результаты обследования и наблюдений за состоянием этих конструкций.

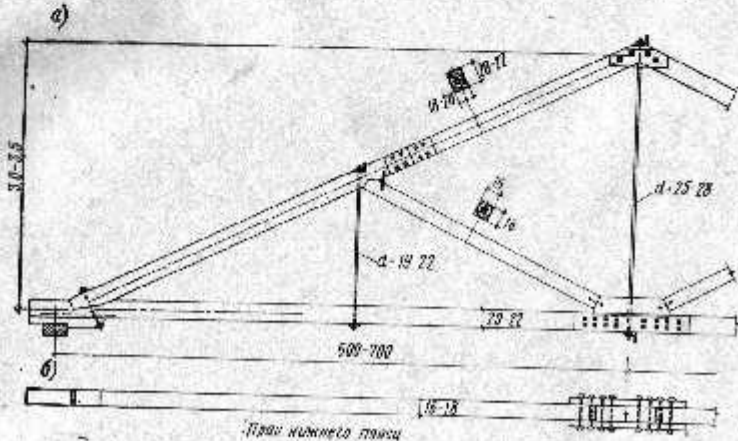
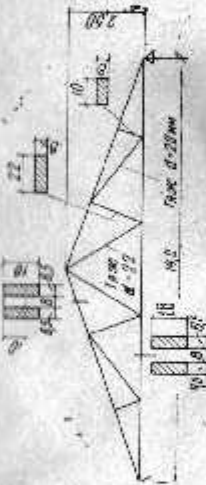


Рис. 3. Треугольные брускатые фермы
а — фасад; б — план нижнего пояса

Ведомость обследования состояния дощатых ферм



Напряжение об- екта, количество ферм	Напряжение в элементах ферм в кг/см ²	Состояние конструк- ции по материалам износленным			Мероприятия по ус- ищению. Примечания
		верхний пояс стяжки	нижний пояс стяжки	болты	
1 Павильон «Проф- техбрюзование», 3 фермы	36 лет 213, перенапря- жение 64% 188, перенапря- жение 133%	51 перенапря- жение 133%	3950, d=22 мм, перенапря- жение 88%	Болты d=12 мм, 8 шт., перенапря- жение 41%	Состояние аварий- ное. Разрыв ниж- него пояса весной 1965 г.
2 Павильон «Легкая промышленность», 31 фермы	27 лет 247, перенапря- жение 90%	132 перенапря- жение 80%	2210, d=25 мм	Болты d=12 мм, 11 шт., перенапря- жение 41%	Нижний пояс уси- лен тяжами, верх- ний — панелками из досок на болтах. Павильон разобран в 1962 г.

Приложение табл. 2

№ 2	Направление об- екта, количество ферм	Напряжения в элементах фермы в кг/см ²				Состояние конструк- ции по материалам заливочных	Мероприятия по ус- ищению. Примечания	
		нагруженный пояс	нагруженный пояс	тавки	стяк налож- то пояса			
3	Павильон «Совет- ская книга», 6 ферм	36 перекрытия из бетона $2 \times 21 \times 5,6$	139, перекрытие 7%, сечение	127, перекрытие 57%, сечение	53 $d = 32 \text{ мм}$	$d = 1235,$ $d = 25 \text{ мм}$	Болты $d = 16 \text{ мм},$ перекрытие нет железа	Снижение прочно- сти древесины верх- него пояса. Шед- ствие частых про- теков светодного окна
4	Павильон «Химик», 14 ферм	37 перекрытия железа 120%	286, перекрытие 120%	223, перекрытие 179%	57	$d = 2360,$ $d = 25 \text{ мм}$	Болты $d = 16 \text{ мм},$ перекрытие железа 52%	Реконструкция коробки с разбор- кой фермы. Сече- ние верхнего пояса противоположной стороной (см. схему в таб- лице)
5	Павильон «Транс- порт», 12 ферм	28 перекрытия железа 80%	234, перекрытие 7%	137, перекрытие 7%	55,5 $d = 25 \text{ мм},$ перекрытие железа 11,4%	$d = 2340,$ $d = 25 \text{ мм},$ перекрытие железа 11,4%	Болты $d = 16 \text{ мм},$ 11 шт., перекрытие 29%	Прогиб фермы. Вы- пучивание шернен- го пояса. Аварийное состояние по- труб в середине пролета зала с ша- гом в 10 м
6	Павильон «Эколо- гика сельского хозяйства», 8 ферм	37 перекрытия железа 64%	213, перекрытие 152%	259, перекрытие 170%	52	$d = 3190,$ $d = 25 \text{ мм},$ перекрытие железа 52%	Болты $d = 16 \text{ мм},$ 11 шт., перекрытие железа 54%	Общий прогиб фермы, выпучивание верхнего пояса из швеллеров. Фер- мама не покрыта
7	Павильон «Зверо- водство», 3 фермы	36 перекрытия железа 93%	254, перекрытие 93%	216, перекрытие 170%	64 $d = 25 \text{ мм},$ перекрытие железа 63%	$d = 3420,$ $d = 25 \text{ мм},$ перекрытие железа 49%	Болты $d = 16 \text{ мм},$ 8 шт., перекрытие железа 74%	Вспучивание верх- него пояса. Общие деформации незна- чительны
8	Павильон «Птице- водство», 6 ферм	35 перекрытия железа 36%, сечение	177, перекрытие железа 112%, сечение	170, перекрытие железа 112%	115 $d = 25 \text{ мм},$ перекрытие железа 21×6	$d = 2920,$ $d = 25 \text{ мм},$ перекрытие железа 39%	Болты $d = 12 \text{ мм},$ 9 шт., перекрытие железа 74%	Отсутствие необ- ходимого количест- ва стяжек между досками верхнего пояса. Недостаточ- ное количество болтов в стыках
9	Павильон «Садо- войство», 5 ферм	36 перекрытие железа 50%, сечение	207, $2 \times 19 \times 6$	143, перекрытие железа 78%, сечение	51	$d = 3770,$ $d = 20 \text{ мм},$ перекрытие железа 2×20×6	Болты $d = 10 \text{ мм},$ 11 шт., перекрытие железа 79%	Нижний пояс фер- мы будет усилен. Со- единение, близкое к аварийному
10	Павильон «Элек- тротехника», 27 ферм	29 перекрытия железа 80%, сечение	116, $2 \times 18 \times 6$	80, $2 \times 18 \times 6$	20	$d = 1030,$ $d = 25 \text{ мм}$	Болты $d = 16 \text{ мм},$ 8 шт.	Состояние фермы удовлетворитель- ное. В 1958 г. по- ставлена новая ферма между су- ществующими. Па- груженное в воду

Треугольные дощатые фермы с пролетами 13,4—14 м. Верхние пояса этих ферм были выполнены из двух досок с прокладкой на гвоздях, нижние пояса — также из двух досок того же сечения. В средней части нижние пояса были выполнены из четырех досок меньшей толщины. Сжатые стойки были сделаны из толстых досок, раскосы — из тяжей. Опорные узлы и стыки нижнего пояса были решены на болтах (рис. 2).

При периодических наблюдениях за состоянием конструкции ферм (табл. 2) было установлено следующее.

Во многих дощатых фермах отмечалось выпучивание верхних поясов из плоскости фермы. Это в ряде случаев приводило фермы в аварийное состояние. Основным недостатком верхних поясов дощатых ферм, соединенных податливыми связями — гвоздями, была их малая жесткость. Фермы этого типа не обладали достаточной надежностью и были чувствительны к небольшим перегрузкам. Деформации верхних составных поясов носили необратимый характер. При последующем ремонте все верхние пояса аварийных ферм были усилены накладками из досок на болтах с предварительным устранением деформаций.

Фермы такого типа проектировались в 1933—1935 гг., когда существовала тенденция выполнять все несущие деревянные конструкции из досок. Предполагалось, что фермы из досок по затрате древесины экономичнее ферм из брусьев. При этом не учитывалась малая жесткость верхних поясов ферм и опасность нарастания деформаций в податливых соединениях в течение длительного срока эксплуатации.

Было установлено расчетом, что несущая способность сжато-изогнутых элементов составного сечения из досок ниже, чем из брусьев круглого леса при том же примерно расходе материала. Следует также иметь в виду, что расчетные сопротивления изгибу ($150 \text{ кгс}/\text{см}^2$) для элементов из брусьев шириной более 14 см выше, чем для дощатых ($130 \text{ кгс}/\text{см}^2$). Если учесть целесообразность применения окалитованных брусьев, при заготовке которых отходы значительно меньше, чем при распиловке на доски, то фактически экономии древесины здесь не будет; при этом трудоемкость изготовления элементов составного сечения на гвоздях значительно больше.

Нижние пояса дощатых ферм ввиду трудности подбора высококачественной древесины I категории зачастую выполнялись из досок пониженного качества. Известно, что достаточно в одной из досок пояса присутствия мутовочных сучков, выходящих на кромку доски, чтобы значительно снизить предел прочности на растяжение.

Испытания ЦНИИСК [2] на растяжение для сосновых досок различного вида показали значительное снижение прочности на растяжение (в пределах от 400 до $70 \text{ кгс}/\text{см}^2$) именно из-за наличия сучков при нормативном сопротивлении древесины

напряжению $370 \text{ кгс}/\text{см}^2$. В случае наличия одной доски из двух или из трех досок нижнего пояса с указанными выше пороками, даже при небольших перегрузках происходит разрыв одной из досок. Оставшиеся доски пояса получают значительные перенапряжения; через некоторое время происходит разрыв пояса в целом и обрушение фермы.

Примером могут служить дощатые треугольные металлокаркасные фермы в покрытии вводного зала павильона «Профтехобразование». В 1964 г. зимой произошел разрыв одной из досок нижнего пояса крайней фермы покрытия; вскоре разорвалась и вторая доска. Соседняя ферма при этом оказалась в аварийном состоянии. Благодаря своевременно принятым мерам обрушение удалось предотвратить. В дальнейшем нижние пояса ферм были усилены стальными тяжами, а верхние — накладками на болтах (см. ниже).

Треугольные брускатые фермы. Конструкция треугольных ферм из брусьев с металлическими подвесками применяется в строительстве давно и является развитием применявшимся ранее аналогичных треугольных ферм, с одной или двумя бабками. В этих фермах растянутые стойки выполняются в виде тяжей из круглой стали. Одним из преимуществ тяжей являлась возможность их подтяжки в процессе эксплуатации для устранения прогибания ферм. Узловые сопряжения на врубках были несколько улучшены. Было предложено наиболее рациональное расположение площадки смятия под углом 90° , установлены предельная глубина врубки и необходимая длина скользования.

Было рекомендовано также применять наиболее простые и надежные врубки с одним зубом.

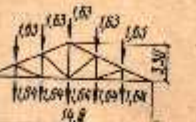
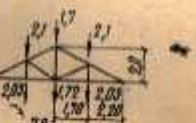
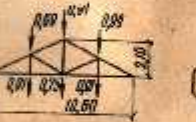
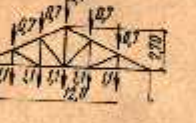
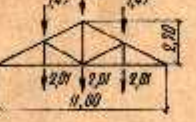
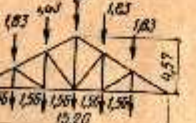
Длительные наблюдения и обследования большого количества ферм треугольного очертания на врубках (рис. 3) с пролетами от 7,8 до 15,2 м (табл. 3) показали, что по истечении 20—36 лет эксплуатации большая часть ферм находилась в удовлетворительном состоянии. Следует не наблюдалось случаев выпучивания сжатых поясов ни в плоскости фермы, ни из ее плоскости. Даже при значительных перегрузках верхних сжатых поясов — при их предельной гибкости — деформации не отмечались. Что касается нижних растянутых поясов ферм, то из 134 обследованных ферм только одна пришла в аварийное состояние от разрыва нижнего пояса в месте сучка (см. ниже, рис. 13). Для растянутых поясов ферм, как известно, отбирается древесина I категории. При некотором увеличении полепочечного сечения с использованием до 70% расчетного сопротивления древесины допускается применение более доступного лесоматериала II категории. Наиболее слабое место нижнего пояса — стык на болтах с двумя накладками из толстых досок. Необходимое условие прочности такого соединения — правильная, в соответствии с нормами, расстановка болтов с соблюдением

Таблица 3

Ведомость обследования деревянных

нр	Наименование объекта, количество ферм	Срок эксплуатации	Схема ферм	Сечения элементов и расчетные			Грузы в стойки средние	Грузы в стойки крайние	Стяги нижнего пояса	Состояние конструкции по материалам здания	Мероприятия по усилению конструкций Примечания
				верхний пояс	нижний пояс	подкосы					
1	Павильон «Водное хозяйство», 3 фермы	23 года		1.05 2.5 1.05 1.05 1.05	2.5 1.05 2.5 1.05 1.05 1.05	1.05 1.05 1.05	980, $d=30$ мм, перенапряжение 36%	3300, $d=18$ мм, перенапряжение 57%	4 болта $d=20$	Состояние ферм удовлетворительное. В подкосах имеются трещины усущенного характера. Отсутствуют связи по верхнему поясу ферм. В 1968 г. в ферме № 2 обнаружена трещина (в месте сучка) глубиной 10 см. Состояние фермы — аварийное	Для облегчения ферм разобраны короба. Поставлены распорки связей. Выполнено усиление нижнего пояса путем постановки тяжей
2	То же, 16 ферм	23 года		2.55 2.55 1.05 1.05 1.05 1.05	1.05 1.05 1.05 1.05 1.05 1.05	1.05 1.05 1.05	1750, $d=25$ мм	1530, $d=19$ мм	8 болтов $d=16$ мм	Усущенные трещины в элементах ферм. Отсутствие связей в коньковых узлах. Состояние ферм удовлетворительное	Установка связей в коньках ферм и стяжек в местах усущенных трещин
3	Павильон «Здравоохранение», 16 ферм	37 лет		1.7 1.7 1.05 1.05 1.05 1.05	1.05 1.05 1.05 1.05 1.05 1.05	1.05 1.05 1.05	1395, $d=25$ мм	816, $d=19$ мм	6 болтов $d=16$ мм	Состояние ферм удовлетворительное. Гнили нет. Перенапряжений не отмечается	Рекомендуется установить постоянное техническое наблюдение за состоянием конструкций
4	Павильон «Земледелие», 5 ферм	28 лет		1.75 1.75 1.05 1.05 1.05 1.05	1.05 1.05 1.05 1.05 1.05 1.05	1.05 1.05 1.05	38 15 15 15 15 15	—	перекосы $d=16$ мм	Перенапряжения в болтовых соединениях конькового и нижнего среднего узлов	Выполнено усиление средних узлов, верхнего и нижнего. Павильон разобран в 1964 г.
5	Павильон «Геология», 5 ферм	23 года		1.57 1.57 1.05 1.05 1.05 1.05	1.05 1.05 1.05 1.05 1.05 1.05	1.05 1.05 1.05	1640, $d=16$ мм	— $d=12$ мм	перенапряжение 9% 8 ф 10 мм	Перенапряжение на скольжение в опорных узлах на 33%. Усущенные трещины в элементах ферм	В поясах и раскосах ферм установлены стяжки. Поставлены аварийные хомуты в опорных узлах

Продолжение табл. 3

Номер ст.	Наименование элемента, коли- чество ферм	Срок использова- ния	Схемы ферм	Сечения элементов и расчеты			Сечение, кг/см ² Глухое и стыковое	Стык нижне- го пояса	Состояние конструк- ции по материалам заключений	Меры по усилению конструкций, Примечания	
				верхний пояс	нижний пояс	подкосы					
6	Павильон «Эко- номика сельско- хозяйственного производства», 4 фермы	37 лет		77	58	19	1830, $d=35$ мм	1040, $d=19$ мм	перекладка - нижний пояс $d=20$ мм 	Состояние ферм удовлетворительное. Имеются усущечные трещины в поясах и раскосах глубиной до $1/3$ толщины брусьев	Установлены стяжки по верхнему поясу ферм. В местах усущечных трещин поставлены стяжки
7	Павильон «Электрифика- ция», 4 фермы	19 лет		67	52	58	940, $d=10$ мм, перекрытие 16%	1810, $d=16$ мм	5x10 мм 	То же	Установка стяжек в местах усущечных трещин
8	Павильон «Тек- стильная про- мышленность», 9 ферм	37 лет		48.5	81	$d=19$	940, $d=10$ мм, перекрытие 24%	810, $d=16$ мм	перекладка - нижний пояс $d=16$ мм 	Трещины в стыковых накладках ферм № 1, 8, 9. Гилья в опорном узле фермы № 7. Аварийное состояние фермы № 9	Установка аварийных хомутов в опорных узлах всех ферм. Усиление стыков ферм № 1, 8, 9 металлическими накладками на болтах
9	«Инкубатстан- ция», 5 ферм	35 лет		68	68	17	1900, $d=25$ мм	1340, $d=19$ мм	5x15 	Усущечные трещины в элементах ферм. Состояние ферм удовлетворительное	Установка стяжек в местах усущечных трещин
10	Павильон «Хра- нение и перера- ботка зерна», 5 ферм	20 лет		71	66	59	907, $d=36$ мм	494, $d=3$ мм	перекладка - нижний пояс $d=3$ мм 	Состояние ферм удовлетворительное. Наличие усущечных трещин глубиной до $1/3$ толщины брусьев	—
11	Павильон «Жи- вотноводство», 18 ферм	18 лет		75	63	67	1410, $d=36$ мм	805, $d=30$ мм	12x19 	Повышенная влажность элементов ферм. Коррозия металлических деталей. Усущечные трещины глубиной до $1/3$ толщины элементов	Постановка стяжек в местах усущечных трещин. Окраска сталью деталей

Продолжение табл. 3

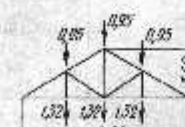
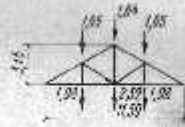
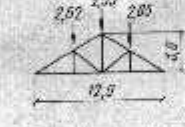
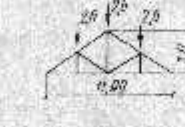
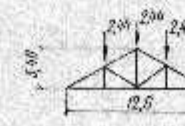
№ п/р	Наименование объекта, количество ферм	Срок эксплуатации	Схемы ферм	Сечения элементов в расчетах			Усиление, кгс/см ²	Состав конструкции по материалам заключений	Мероприятия по усилению конструкций. Примечания
				верхний пояс	нижний пояс	пояса			
12	Павильон «Овчарня», 12 ферм	18 лет		35	27	15	875, d=95 mm	840, d=19 mm	Перенапряжение на скальвание в спорных узлах ферм опорных узлов 24%. Постановка аварийных хомутов в 24%.
13	Павильон «Овцеводство», 20 ферм	18 лет		35	45	27	1000, d=65 mm	915, d=22 mm	Состояние ферм удовлетворительное. Наличие усушечных трещин глубиной до 1/3 толщины элементов. Установка стяжек в местах усушечных трещин.
14	Здание гаража РТИ, 11 ферм	19 лет		46	35	51	11	5 ф12 мм	Перенапряжение на скальвание в опорном узле спорного узла 22%. Усушечные трещины в поясах и раскосах. То же
15	Здание гаража МРМ, 11 ферм	19 лет		45	35	62	12	5 ф12 мм	Перекарпажение на скальвание в опорных узлах 12%. Усушечные трещины в поясах и раскосах.
16	Здание тракторного гаража, 10 ферм	То же		42	37	58	13	5 ф12 мм	Перенапряжение на скальвание в опорных узлах. Усушечные трещины в поясах и раскосах.

Таблица 4

Ведомость обследования деревянных

Номер объекта	Наименование объекта, коли- чество ферм	Срок эксплуа- тации	Схемы ферм	Сечения элементов и расчеты			Приложение, кгс/см ²			Состояние конструк- ций по материалам заключений	Мероприятия по уси- лению. Примечания
				верхний пояс	нижний пояс	стяжки	тяжи	в 1-й панели	во 2-й панели	стык нижне- го пояса	
1	Павильон «Лес- ная промышлен- ность», 3 фер- мы вводного зала	35 лет		74	70	77	910 перенапря- жение 30%	1940	Любое из трех 20% Минимальное	Перенапряжения в опорном узле и уз- лах № 3 и 5 вследствие недос- таточного диаметра болтов. Наличие усушечных трещин в элемен- тах ферм	Усиление узлов на- кладками на бол- тах. Установка стяжек в местах усушечных трещин
2	То же, зал № 3, 7 ферм	То же		61	76	75	930 перенапря- жение 12%	16,60	Любое из трех 5%	Низкое качество древесины нижне- го пояса. Наличие усушечных трещин в элементах ферм. Трещины в стыковых накладках нижнего пояса в одной ферме	Усиление верхних поясов накладками на болтах. Уста- новка стяжек в местах усушечных трещин. Усиление стыка нижнего по- яса в одной ферме
3	Павильон «Гео- логия», 14 ферм	20 лет		52	56	59 подпорный поясок	Первый тяж справа 1170	Второй тяж справа 1540	Любое из трех 20% Минимальное	В опорных узлах перенапряжены тя- жи 13%. Усушеч- ные трещины в элементах ферм	Установка стяжек в местах усушеч- ных трещин

нием минимальных расстояний вдоль и поперек волокон. В стыке имеется большое значение качество накладок, выполняемых из древесины I и II категорий без трещин и косослоя, с минимальным количеством сучков. Поскольку стыковые накладки сравнительно коротки и длина их обычно не превышает 1,5–2 м, отбор такой древесины не представляет особых трудностей.

Трапециевидные брусковые фермы. Изложенные выше сообщения о работе в условиях эксплуатации треугольных ферм можно целиком отнести и к работе трапециевидных односкатных и двускатных ферм (табл. 4).

Слабым местом этих ферм является сложность сопряжения опорного раскоса с верхним поясом. В процессе эксплуатации в ряде случаев отмечалось разрушение узловых соединений в средних панелях, где один из перекрещающихся раскосов, по-

очередно сжатых, в зависимости от расположения временной нагрузки, обычно неплотно примыкает к упорной подкладке. Фермы такого типа при отношении h/l менее $1/7$, как правило, приобретают в течение эксплуатации значительные прогибы. Растигнутые стыки нижнего пояса ферм при этом подвергаются воздействию дополнительных изгибающих моментов.

Выводы. По материалам 15-летних наблюдений за состоянием конструкций ферм на ВДНХ можно сделать следующие выводы.

- Из 10 обследованных покрытий с деревянными дощатыми фермами в 8 покрытиях в период с 1952 по 1971 г. был проведен капитальный ремонт с усилием верхних поясов дощатых ферм. Усиливались также и нижние пояса ферм путем установки тяжей из круглой стали. В ряде случаев ввиду сложности усиления и

наличия больших дефектов в фермах висячая конструкция ферм была реконструирована в наслонную с установкой промежуточных опор из круглых стальных труб (см. ниже). Из 125 обследованных дощатых ферм было усилено различными способами 119.

2. В 15 покрытиях со 134 фермами из брусьев усилено было подвергнуто только одно покрытие с 10 фермами, в которых опорные узлы были повреждены гнилью из-за протечек кровли.

В остальных 14 перекрытиях со 124 фермами после 20—35 лет эксплуатации зачастую в условиях, мало способствующих сохранности конструкций, были проведены незначительные ремонтные работы, которые заключались главным образом в подтяжке тяжей, установке стяжек в местах усущенных трещин и установке аварийных хомутов в опорных узлах при недостаточных размерах площади скальвания. Оба типа ферм находились в одинаковых условиях эксплуатации, что было удобно для сопоставления их несущей способности. Благодаря наличию легко проветриваемых чердачных помещений случаев загнивания ферм в опорных узлах практически не было.

Сравнение треугольных ферм с поясками из досок и ферм селями из брусьев позволяет сделать вывод, что фермы с поясами из досок независимо от их очертания менее надежны в эксплуатации и могут быть рекомендованы к применению только в покрытиях временных зданий при небольших пролетах и нагрузках.

Предпочтение следует отдать более долговечным фермам с поясами из брусьев или круглого окантованного леса.

Помимо рассмотренных типов ферм, нижние пояса которых решены в дереве, в последние годы достаточно широкое распространение получили металлодеревянные фермы, у которых нижние пояса выполнены из круглой стали или стальных уголков.

В покрытиях павильонов ВДНХ находится в эксплуатации 10—15 лет фермы треугольного очертания с пролетами от 12 до 20 м и с нижними поясами из уголков. Верхние пояса и раскосы этих ферм выполнены из окантованных бревен, нижние пояса — из стальных уголков. Фермы такого типа — достаточно надежная конструкция только при условии периодической возобновляемой окраски уголков нижних поясов. После 5—8 лет эксплуатации этих ферм в животноводческих помещениях при повышенной влажности воздуха наблюдались случаи сильной коррозии стальных элементов. При проектировании ферм для таких помещений рекомендуется применять уголки повышенной гладкости.

При сопоставлении ферм нескольких типов не следует судить об экономичности той или иной конструкции только по расходу материала на фермы. Расход лесоматериала собственно на несущие конструкции — фермы составляет лишь 13—21% полного расхода лесоматериала на покрытие, и экономия древесины на

фермах по сравнению с общей затратой древесины мало ощущима.

Проведенное канд. техн. наук Г. В. Свенцицким [2] сопоставление стоимости покрытий с различными типами ферм показало, что стоимость покрытий в целом практически одинакова. Так, стоимость 1 м² покрытия по деревянным фермам составляет от 10 р. 44 к. до 12 р. 50 к.

При общем приведенном расходе древесины от 6,56 до 8,62 см на 1 м² покрытия в целом на фермы приходится только от 0,86 до 1,79 см на 1 м² покрытия (13—21%). Отсюда видно, что экономить на несущей конструкции здесь нецелесообразно. Снижение расхода древесины в самом покрытии, т. е. в прогонах, настилах и обрешетке, дает больший эффект.

4. Усиление конструкций цельных, гвоздевых балок и ферм

В практике эксплуатации деревянных покрытий нередко возникает необходимость восстановления несущей способности конструкции, которая в результате различных воздействий пришла в состояние, не отвечающее требованиям строительных норм и правил.

Восстановление несущей способности может быть достигнуто различными способами. Ремонт сгнивших концов балок чердачных и междуэтажных перекрытий состоит в том, что сгнившие концы опиливаются и заменяются парными накладками из толстых досок на болтах. Целесообразно применение для усиления концов балок металлических креплений — «протезов». Они могут выполняться из прокатных стальных профилей (см. рис. 4) или прутковой конструкции, более легкой, но трудоемкой, предложенной канд. техн. наук С. Д. Даидбековым [1].

При поражении гнилью не только концов балок, но и наката на значительных участках перекрытия, более простым и в ряде случаев менее трудоемким решением становится замена поврежденных гибкими балок новыми, сработанными антисептиками.

В покрытии с деревянными фермами возможно устройство промежуточных опор, установленных в середине пролета. Пос-

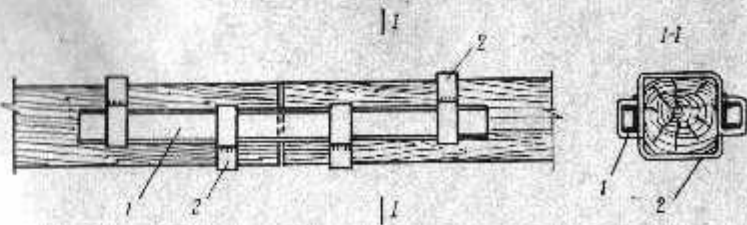


Рис. 4. Балочный протез конструкции инж. Н. А. Онуфрьевса
1 — швеллер № 12 или 14; 2 — полосовая сталь

ле их установки фермы из висячей конструкции превращаются в насыщенную (рис. 5). В покрытиях с гвоздевыми балками также возможна установка промежуточных опор; при этом расчетная схема конструкций изменяется и балки начинают работать как двухпролетные неразрезные. В том случае, если устройство опоры почему-либо недопустимо, можно установить между существующими фермами или балками новые конструкции того же типа.

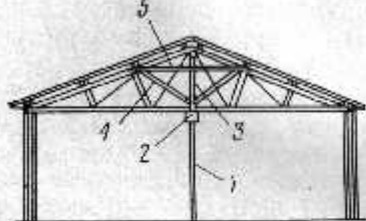


Рис. 5. Установка промежуточной опоры

1 — стойка из стальной трубы; 2 — оголовник стойки; 3 — деревянная стойка; подпирающая коньковый узел фермы; 4 — подкосы; 5 — затяжка

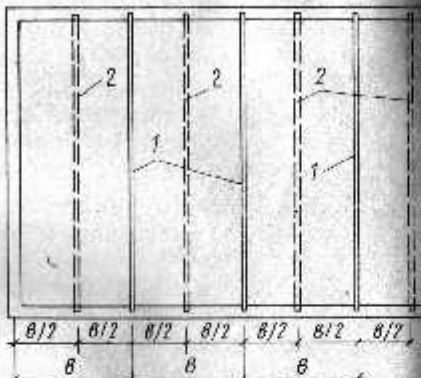


Рис. 6. Схема установки новых ферм промежуточные между существующими

передачей на них половины действующей нагрузки (рис. 6). Способ этот пригоден, когда непосредственное усиление существующих ферм или балок затруднительно из-за сложности и большой трудоемкости работ. Следует иметь в виду, что установка новых промежуточных ферм или балок того же габарита связана с раскрытием значительных участков кровли; это целесообразно, когда одновременно необходимо сменить все кровельное покрытие.

При осуществлении этого способа необходимо наличие соответствующих опор или возможность их устройства для установки новых промежуточных конструкций. Если имеются местные дефекты, а устанавливать дополнительные опоры нежелательно, наиболее целесообразно непосредственное усиление отдельных элементов и узловых соединений конструкций.

При проектировании усиления надо учитывать, что ремонтируемая конструкция находится под нагрузкой и что в узловых и стыковых соединениях произошли те или иные деформации и сдвиги.

Перед установкой деталей крепления ферма или балка должна быть разгружена путем установки временных опор, которые подводятся под верхний пояс фермы или под нижний пояс балки. Опоры обычно выполняются в виде парных стоек с пасадкой поверху и раскреплением по высоте связями из досок (рис. 7).

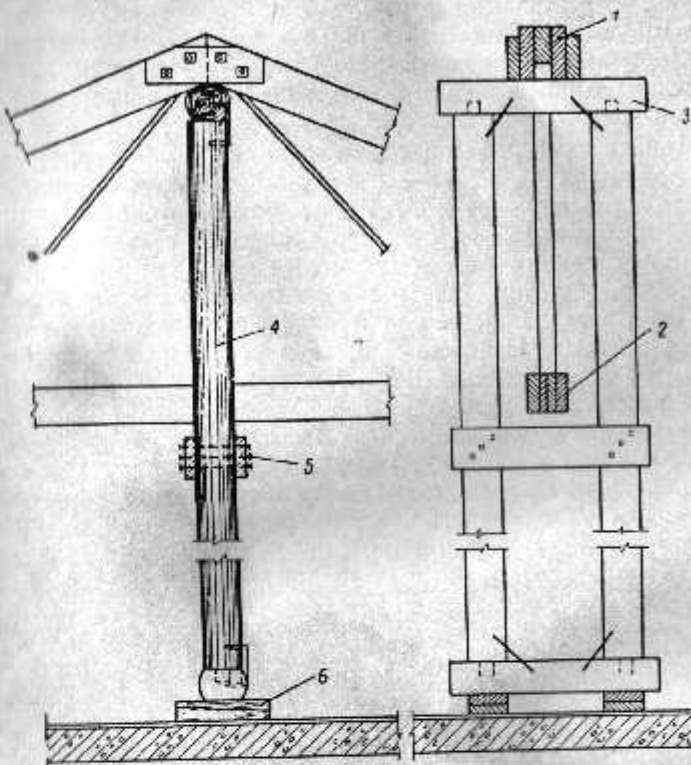


Рис. 7. Временные опоры для вывешивания ферм
1 — верхний пояс фермы; 2 — нижний пояс фермы; 3 — пасадка; 4 — стойки; 5 — связи; 6 — клины

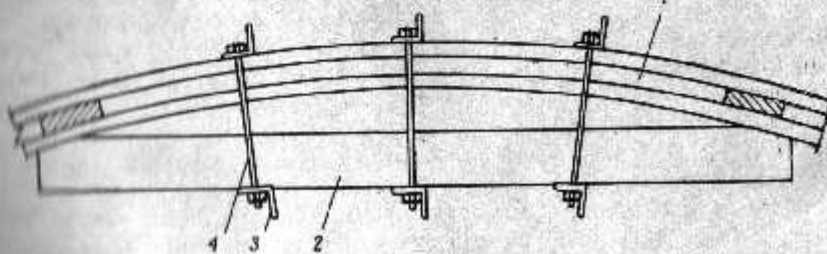


Рис. 8. Выправление верхнего пояса дощатой фермы при деформации из плоскости конструкций
1 — верхний пояс фермы; 2 — брусье; 3 — уголки; 4 — стяжные болты

При вывешивании фермы прогиб конструкций устраняется путем подклинивания стоек или же их подъема домкратами. Деформированные элементы верхних поясов ферм могут быть выпрямлены с помощью деревянных жестких накладок и стяжных болтов (рис. 8).

При деформированных и перенапряженных верхних или нижних поясах ферм, а также в случае разрыва досок нижнего пояса усиление осуществляется установкой накладок и прокладок из досок на болтах (рис 9). При значительных перенапряжениях в нижних поясах ферм, что может привести к разрыву досок, применяется установка тяжей из круглой стали, воспринимающих все растягивающее усилие нижнего пояса.

На рис. 10—11 показан пример усиления дощатых ферм в одном из павильонов ВДНХ. Верхний пояс ферм усилен нахлаждаками на болтах, нижний — тяжами из круглой стали, снабженными муфтами для подтяжки. Поставлены дополнительные наклонные тяжи в растянутых раскосах ферм. Эти тяжи крепятся внизу к специальным подкладкам из обрезков швеллеров, а в коньковом узле — к уголкам, закрепленным на верхнем поясе. При подтяжке тяжей нижнего пояса надо следить, чтобы она проводилась постепенно и одновременно с двух сторон, во избежание перекоса нижнего пояса и его выпучивания.

В покрытиях с дощатыми фермами того же типа в павильоне «Транспорт» и в других на ВДНХ усиление покрытия в целом было достигнуто установкой промежуточных опор. При шаге ферм 5 м подведение опор под каждую ферму создавало неудобства для расстановки экспонатов, поэтому шаг опор был увеличен до 10 м. Опоры были выполнены в виде стоек из стальных труб диаметром 140 мм, установленных на бетонных фундаментах.

При этом потребовалась установка подстригильных ферм, которые можно было расположить только в чердачном помещении с тем, чтобы не нарушать внутреннего вида зала.

Подетротиальная ферма была решена в виде шарнреля (рис. 12) с наклонными металлическими тяжами и затяжкой из уголков. В середине пролета шарнреля была подвешена стальная подушка, на которую опиралась стойка, подведенная под коньковый узел фермы. Все фермы в покрытии в поперечном направлении были раскреплены подкосами и затяжками (см. рис. 5) и из висячей конструкции превращены в наслонную.

Опыт наблюдения за состоянием металлокордезионных ферм из брусьев (см. рис. 3) показал, что в этих фермах выпучивания верхних поясов обычно не наблюдается. В фермах такого типа иногда (в случаях применения лесоматериала пониженного качества, с сучками) наблюдаются разрывы нижних растянутых поясов. В ряде случаев причиной, приведшей фермы в аварийное состояние, было приложение в панели нижнего пояса местной нагрузки, не предусмотренной проектом.

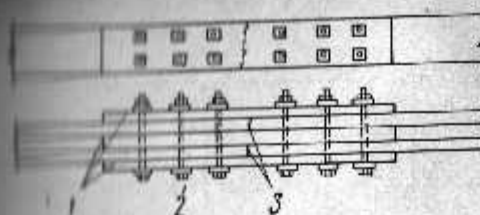


Рис. 9. Усиление нижнего пояса
щатой фермы

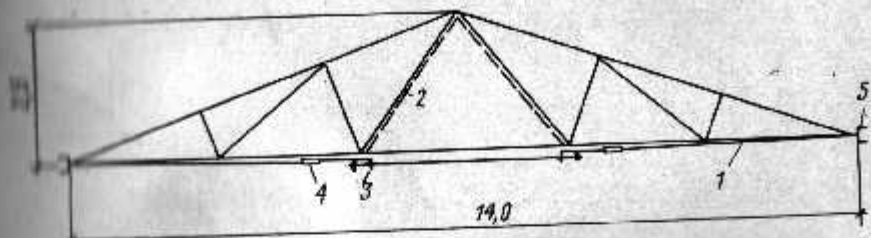
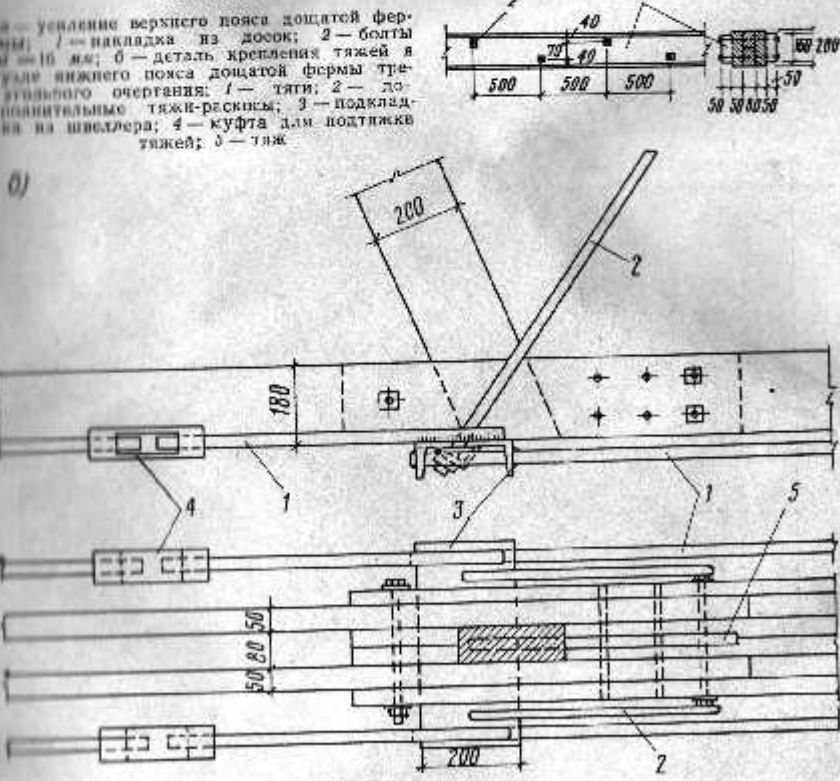


Рис. 10. Схема усиления листовой фермы треугольного очертания тяжами нижнего пояса; 2 — тяжи раскосов; 3 — подкладка из швеллеров; 4 — муфта; 5 — упор из швеллера



Рис. 11. Усиление верхнего и нижне-го поясов



卷之三十一 五
清人集

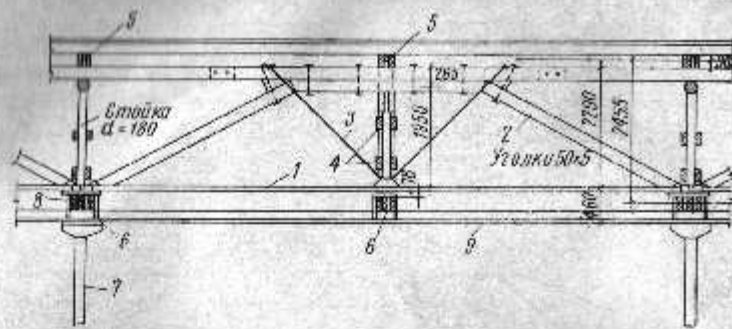


Рис. 12. Подстригильная металлокерамическая форма

1 — нижний пояс из уголков; 2 — подкосы; 3 — тяги; 4 — связи; 5 — верхний пояс фермы; 6 — втяжной пояс фермы; 7 — стойки из стальных труб; 8 — оголовник стойки с пропущенным через него нижним поясом фермы; 9 — подвесной потолок

На рис. 13 показан опорный узел треугольной фермы пролетом 13,4 м из брусьев в покрытии одного из павильонов ВДНХ. В ферме создалось аварийное состояние в связи с появлением сквозной трещины в месте сечки диаметром 30 мм. Опорный узел и стык нижнего пояса фермы были решены со стальными накладками, поэтому представилось возможным сравнительно просто осуществить усиление нижнего пояса. Оно было выполнено приваркой двух тяжей между стальными накладками среднего и опорного узлов нижнего пояса. Участок пояса с трещиной

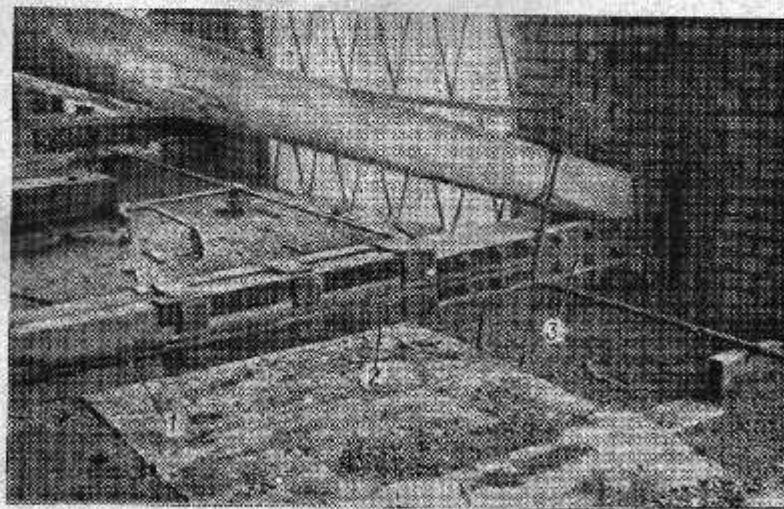


Рис. 13. Усиление нижнего пояса треугольной фермы из брусьев

1 — парные тяжи из круглой стали; 2 — обойма из уголков, установленная в месте разрыва нижнего пояса; 3 — существующие накладки спорного узла с приваренными к тем тяжами

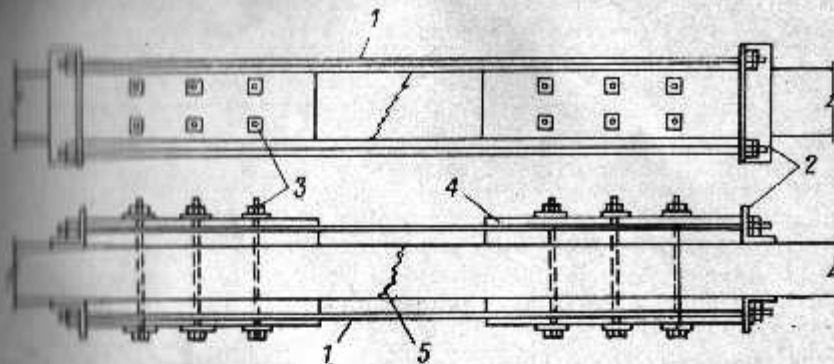


Рис. 14. Усиление участка нижнего пояса фермы из брусьев с помощью тяжей

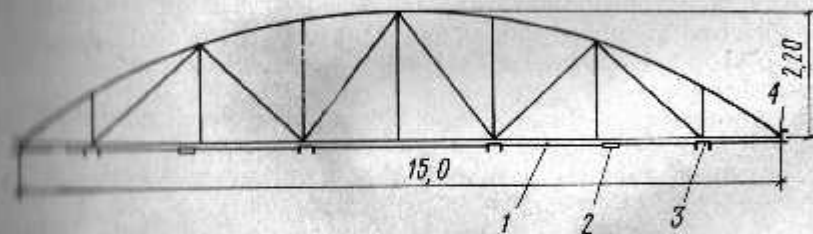


Рис. 15. Схема усиления сегментных ферм, $l=15$ м
 1 — муфта; 2 — подкладка из швеллера; 4 — упор из обрезка швеллера в
 торые фермы

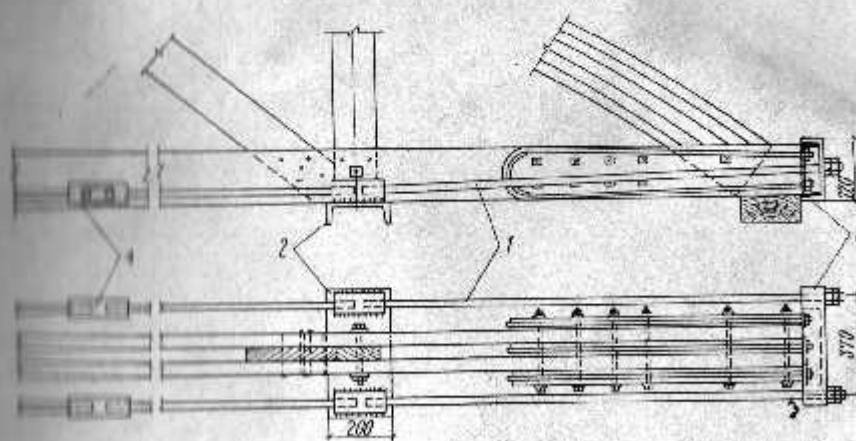


Рис. 16. Деталь крепления тяжей в узлах нижнего пояса сегментной фермы (см. рис. 15)
 1 — тяга; 2 — подкладка из швеллера; 3 — торцовый упор из швеллера; 4 — муфта



Рис. 17. Схема гвоздевой балки, усиленной тяжами из круглой стали

1 — тяж; 2 — стальная коробка; 3 — деревянные гибкие балки; 4 — обрезок швеллера в торце балки

был усилен местной обоймой из уголков. Некоторые затруднения представил самый процесс сварки, который потребовал специальных противопожарных мероприятий.

В других случаях нижние пояса ферм из брусьев могут быть усилены деревянными накладками на болтах или же с помощью тяжей (рис. 14).

Представляют интерес способы, применяемые при усилении дощатых сегментных ферм с верхним поясом из брусков.

В фермах такого типа часто наблюдаются деформации поясов в плоскости ферм. Устранение выпучивания может быть достигнуто с помощью натяжных болтов, закрепленных в жестких балках, к которым подтягивается деформировавшийся пояс в аналогии со схемой, изображенной на рис. 8, с той только разницей, что здесь дефект выправляют не из плоскости, а в плоскости фермы.

При значительных перенапряжениях в верхних поясах ферм и необходимости повысить их жесткость можно усилить их накладками из толстых досок на болтах. Болты стягивают пакет в целом и придают ему необходимую жесткость.

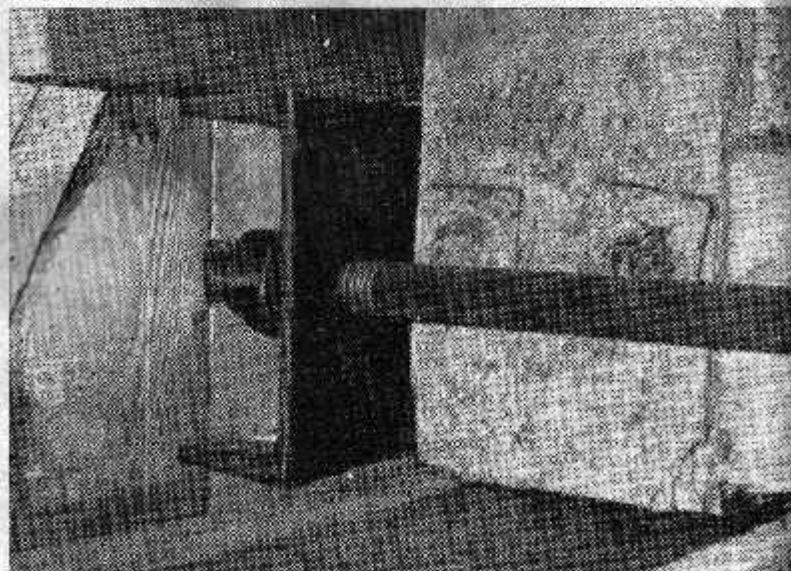


Рис. 18. Крепление тяжа на опоре гвоздевой балки

На рис. 15 показана схема сегментной фермы конференц-зала ВДНХ пролетом 15 м. Фермы несли нагрузку от кровли и усиленного утепленного потолка. Верхний пояс ферм был усилен накладками из досок на болтах, а нижний — тяжами из круглой стали, снабженными муфтами для подтяжки. На рис. 16 показана деталь крепления тяжей в опорном и соседнем с ним узлах.

При гибостном разрушении опорных узлов ферм они могут быть удалены и заменены сварными протезами из парных стальных швеллеров на болтах. Так были усилены специалисты ВТП ЦНИПС многие покрытия в Москве.

Усиление гвоздевых балок в случае неприемлемости установки промежуточных опор можно осуществить накладками из досок на болтах в местах повреждения или разрыва нижних поясов.

В случае выхода из строя значительных по протяженности участков нижнего пояса может быть рекомендована установка тяжей по всей длине балки. На рис. 17 показана схема гвоздевой балки пролетом 9,26 м, аварийное состояние в которой сошло в результате дефекта, допущенного при производстве работ. В этих балках не были поставлены прокладки в стыках нижнего пояса. Усиление было осуществлено установкой парных тяжей из круглой стали. В середине пролета балки поставили стальную коробку, в отверстиях которой закрепили концы тяжей. Другие концы тяжей были закреплены в торцах балок, зонорах, выполненных из обрезков швеллеров (рис. 18).

6. Усиление конструкций kleenых трехшарнирных арок

В покрытии зала кинотеатра в Северодвинске были установлены трехшарнирные kleene арки из прямолинейных элементов. Несущая способность арок оказалась заниженной в результате значительного увлажнения их верхнего пояса, изготовленного на казеинно-цементном клее. Арки, показанные на рис. 31, несли нагрузку от кровли и подвесного потолка. Усиление верхних поясов скато-изогнутых арок, находившихся под нагрузкой, было сложно в условиях затесненного чердака. Приняли решение — снять нагрузку с арок путем передачи нагрузки от подвесного потолка на новые несущие конструкции, установленные между арками. Новая конструкция, не связанная с кровлей, могла иметь меньшие габариты, чем арки. В соответствии с этим были запроектированы шпренгельные фермы с верхним поясом в виде пакета досок, склеенных на фенолформальдегидном клее КБ-3 (рис. 19).

Шпренгельные фермы пролетом 17,5 м были установлены парно между арками и раскреплены связями. К подвескам

шпренгельных ферм прикрепили парные балки из швеллеров № 14, к которым на болтах подвесили потолок зала. Элементы ферм заготовили заранее и предварительно собрали на бойке. Установка их на место была выполнена в короткий срок без разкрытия кровли.

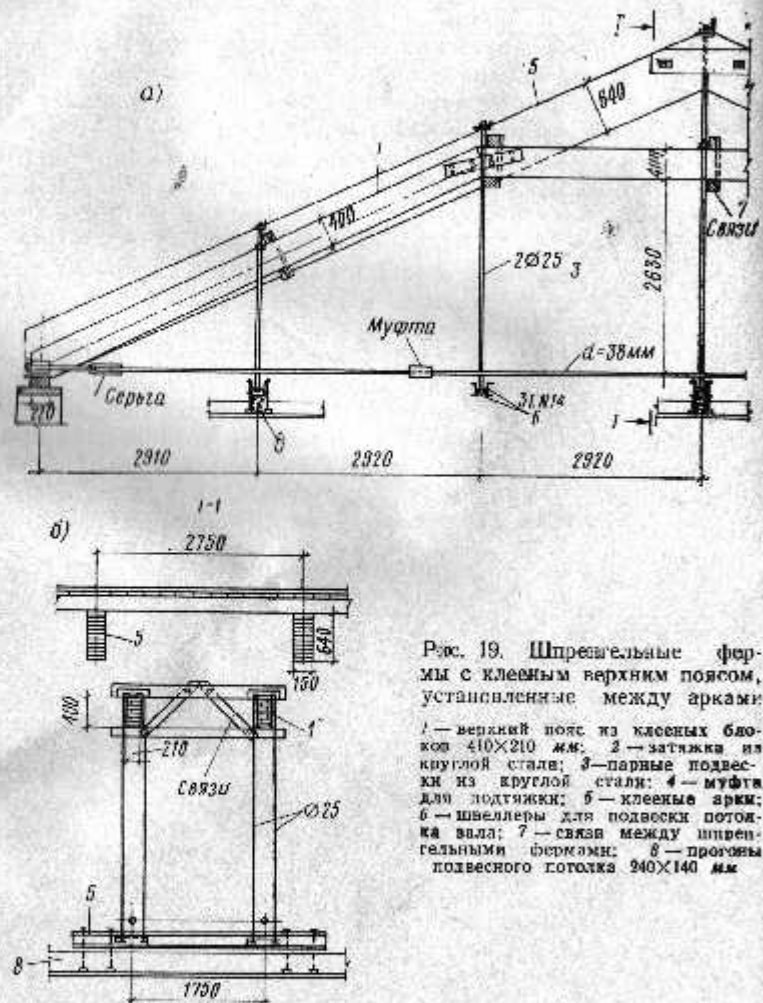


Рис. 19. Шпренгельные фермы с kleевым верхним поясом, установленные между арками:
1 — верхний пояс из клеевых блоков 410×210 мм; 2 — затяжка из круглой стали; 3 — парные подвески из круглой стали; 4 — муфта для подтяжки; 5 — kleевые арки; 6 — швеллеры для подвески потолка зала; 7 — сквозь между шпренгельными фермами; 8 — прогоны подвесного потолка 240×140 мм

При недостаточной прочности клеевых соединений клеевые элементы конструкций могут быть усилены путем двусторонней обшивки их водостойкой фанерой толщиной 8—10 мм на гвоздях. Гвозди при этом рассчитывают на сдвигающие силы, воспринимавшиеся ранее kleевыми швами. Так был усилен ряд конструкций специалистами б. БТП ЦНИПС.

Глава II

ДЕРЕВЯННЫЕ КОНСТРУКЦИИ В АГРЕССИВНЫХ СРЕДАХ

Деревянные конструкции на химических и химико-металлургических предприятиях подвергаются воздействию различных агрессивных сред. Сохранность и долговечность конструкций зависит от условий эксплуатации. Конструкции подвергаются интенсивному воздействию разнообразных внешних факторов, в том числе химических реагентов, повышенных и пониженных температур, а также попеременному увлажнению и высыханию.

В соответствии с принятой классификацией [5] агрессивные среды подразделяются на газообразные (парообразные), жидкие и твердые. Степень агрессивного воздействия газов определяется их видом, концентрацией, температурой, влажностью воздуха и скоростью обмена. В числе агентов, вызывающих разрушение древесины, могут быть аэрозоли и дым в сочетании с высокой влажностью воздуха. По классификации аэрозоли включены в группу воздушной агрессивной среды.

Воздействие жидких и твердых агрессивных сред распространяется главным образом на различные емкости, а также на по- ли производственных помещений и междуэтажных перекрытий.

Влияние агрессивных сред на прочность древесины исследовалось неоднократно.

В 1933—1934 гг. доц. Д. А. Кочетков провел исследование древесины ферм заводов, производящих серную кислоту. Он установил, что сернистый ангидрид при соприкосновении с увлажненной поверхностью ферм вызывает образование серной кислоты, что ведет к обугливанию древесины и падению ее прочности. Исследователь полагал, что глубина поражения древесины за один год достигает в среднем 2 мм. При этом наблюдается изменение цвета древесины на красновато-бурый. Прочность на сжатие за два года эксплуатации в образцах, взятых из поверхностных слоев прокладок ферм, снизилась в среднем на 14,4%, в напряжение на скальвание — на 27%.

Д. А. Кочетков отмечает также, что, несмотря на наличие пор в древесине, газы не проникают во всю ее толщу, а внутренние слои остаются неповрежденными [3].

В 1952 г. доц. Е. Н. Красников при обследовании деревянных ферм травильного отделения ленинградского сталепрокатного завода также установил, что за один год поражение древесины нарасти серной кислоты наблюдается на глубину до 2 мм попарен волокон и на 6 мм — вдоль волокон. Он тоже отмечает изменение окраски, размачивание и обугливание древесины после 20 лет эксплуатации. Применение деревянных ферм, по мнению автора исследования, можно считать оправданным, так как,

несмотря на тяжелые условия эксплуатации, они все же простояли 20 лет. При этом существенное значение имеют размеры поперечного сечения несущих элементов. Е. Н. Квасников считает установленным, что фермы из крупных сортиментов (брусьев) лучше сопротивляются воздействию агрессивных сред, чем фермы из досок.

Исследование состояния древесины несущих конструкций предприятий химической промышленности (Соликамск, Березники, Калуш и др.) были проведены в ЦНИИСК инж. Б. П. Гусевым. Древесина показала устойчивость к агрессивным средам: газам, парам и аэрозолям.

Был изучен механизм разрушения капиллярно-пористого материала, каким является древесина в условиях химически агрессивной среды. В результате этих работ ЦНИИСК составил Указания по применению деревянных конструкций в условиях химическо-агрессивной среды [5]. В Указаниях даются сведения о проводимых Институтом физической технологии древесины в Эберсвальде (ГДР) широких исследованиях, касающихся перспектив применения деревянных конструкций в химической промышленности.

Преимущества древесины как материала для несущих конструкций освещаются в зарубежной литературе. Так, в журнале «Chemical Metalurgical Engineering» [4] говорится о целесообразности применения древесины, в том числе и клееной, на предприятиях химической промышленности при наличии агрессивных сред — паров, гари и копоти. В ФРГ инструкцией Ассоциации промышленного строительства рекомендуется применять древесину для кровель промышленных зданий, где нижняя поверхность подвергается токсическим воздействиям. Французская промышленная фирма «Общество калийных предприятий Эльзаса» с успехом применяет клееные деревянные конструкции ферм пролетом 22—30 м для зданий химической промышленности.

В Советском Союзе на калийных комбинатах успешно применяются разработанные институтами ЦНИИСК и Госгорхимпроект трехшарнирные клееные арки пролетом 45 м (Солигорск, Калуш, Соликамск, Березники). Опыт эксплуатации деревянных конструкций складских помещений на этих же предприятиях за 30 лет показал достаточную химическую стойкость древесины в условиях данной агрессивной среды.

1. Состояние конструкций покрытий цехов химических и химико-металлургических заводов

Задачей работы было исследование влияния некоторых агрессивных сред, преобладающих на химических и химико-металлургических предприятиях, на несущие деревянные конструкции,

рассматривалось влияние на элементы покрытий только возможных агрессивных сред.

Было обследовано 55 цехов на 11 предприятиях химической и химико-металлургической промышленности в Электростали, Новокузнецке и других городах.

Наиболее характерными для обследованных цехов были следующие агрессивные газовые среды: 1) «хлористый водород»; 2) «сернистый ангидрид»; 3) «пары серной, соляной и азотной кислот»; 4) «аммиак и сернистый газ»; 5) «уксусный ангидрид».

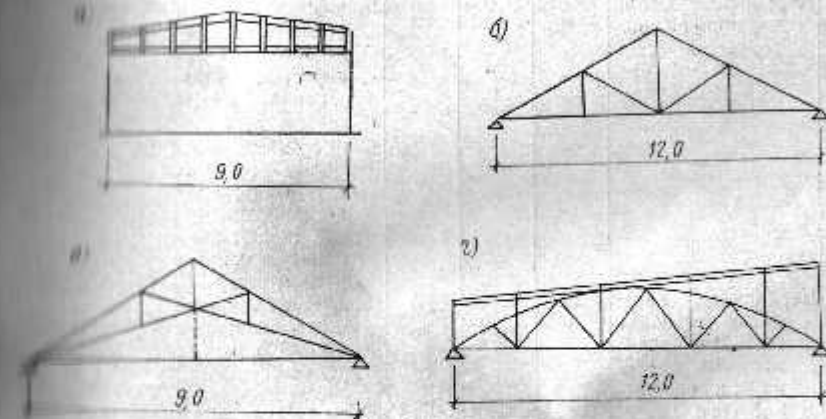


Рис. 20. Схемы несущих деревянных конструкций в обследованных цехах с агрессивными средами

а — двухтавровая балка с перекресткой стяжкой из гвоздей; б — треугольная металлоконструкция из брусьев; в — ферма из брусьев с затяжкой из круглой стали; г — сегментная ферма из досок из гвоздей

При обследовании было изучено состояние существующих деревянных несущих конструкций покрытий в цехах перечисленных предприятий и взяты образцы для испытания. По результатам обследований были составлены таблицы с данными о состоянии древесины в деревянных фермах, балках и настилах, а также (для сопоставления) данные о состоянии металлических и железобетонных конструкций. В таблицы входили сведения о концентрации газовых сред, влажности воздуха и продолжительности эксплуатации несущих конструкций (см. отчеты лаборатории деревянных конструкций НИИ-200 за 1957, 1958 и 1960 гг. [23—25]). Приводим некоторые выдержки из этих таблиц с результатами обследования состояния несущих конструкций в четырех агрессивных средах (табл. 5—9).

Таблица 5

Состояние конструкций покрытий в среде «хлористый водород»

№ п/п	Наименование конструкций	Срок эксплуатации в годах	Концентрация газа в м³/м³	Влажность в %	Состояние деревянных конструкций	Состояние металлических и железобетонных конструкций	Состояние деревянных конструкций				Состо- яние метал- лических и же- лезобетонных конст- рукций	
							Наименование конструкций	Срок эксплуатации в годах	Концентрация газа в м³/м³	Влажность в %		
1	Междуетажные деревянные перекрытия	8	0,01	35—60	Удовлетворительное	—	Металлические фермы с покрытием из волнистых асбестоцементных плит	8	0,001	64	—	
2	Деревянные балки чердачного перекрытия	6	0,01	80	Древесина балок и подшивка потолка в неудовлетворительном состоянии. Наблюдается расложение древесины. Наличие концентрации на поверхности балок из-за недостаточной толщины утеплителя	—	—	—	—	—	Незначительная коррозия металлических ферм	
3	Деревянные гвоздевые балки $l=9$ м с деревянными прогонами и обрешеткой (рис. 20, а)	26	0,005	72	Пониженная прочность поверхностного слоя и высокая влажность древесины	—	—	—	—	—	—	
4	Деревянная ферма $l=12$ м с обрешеткой по прогонам (рис. 20, б)	30	0,005	—	Ферма требует ремонта ввиду расстройства узловых соединений. Древесина в удовлетворительном состоянии	—	8	Деревянные фермы $l=9$ м с деревянным настилом (рис. 20, в)	26	0,03—0,12	90	Состояние древесины ферм удовлетворительное. Необходим ремонт узловых соединений ввиду сильной коррозии болтов и стальной затяжки
5	Металлические фермы с деревянной обрешеткой, обшитой гипсом кровельной сталью	15	0,005	—	Состояние древесины обрешетки удовлетворительное	Металлические фермы окрашены перхлорвиниловой краской, состояние металла ферм удовлетворительное	9	Деревянные сегментные фермы с совмещенным покрытием (рис. 20, г)	25	0,04—0,08	—	Снижение прочности древесины по данным обследования ЛИСИ. Деформации в фермах не отмечается
6	Деревянное совмещение покрытие по балкам	8	до 1,26	—	Состояние древесины неудовлетворительное Наблюдается расложение древесины и прогиб балок, состояние, близкое к аварийному	10	Металлические фермы с деревянной обрешеткой	30	0,01—0,02	50	Деревянный настил до его замены простоял 30 лет. Новый настил находится в эксплуатации 3 года, состояние вполне удовлетворительное	Фермы в удовлетворительном состоянии. Окрашены перхлорвиниловой краской
						11	Металлическая ферма с железобетонными плитами	20	0,04—0,08	—	—	Состояние металла ферм и железобетонных плит удовлетворительное

Таблица 6

Состояние конструкций покрытий в среде «сернистый ангидрид»

№ п/п	Наименование конструкций	Срок эксплуатации в годах	Концентрация газа в м³/м³	Влажность в %	Состояние деревянных конструкций	Состояние деревянных конструкций				Состо- яние метал- лических и же- лезобетонных конст- рукций
						Наименование конструкций	Срок эксплуатации в годах	Концентрация газа в м³/м³	Влажность в %	
8	Деревянные сегментные фермы с совмещенным покрытием (рис. 20, г)	25	0,04—0,08	—	—	—	—	—	—	—
9	Металлические фермы с деревянной обрешеткой	30	0,01—0,02	50	Деревянный настил до его замены простоял 30 лет. Новый настил находится в эксплуатации 3 года, состояние вполне удовлетворительное	—	—	—	—	—
10	Металлическая ферма с железобетонными плитами	20	0,04—0,08	—	—	—	—	—	—	—

Таблица 9

Таблица 7
Состояние конструкций в среде «пары серной, соляной и азотной кислот»

№ п/п	Наименование кон-струкций	Срок экс-плуатации в годах	Концентрация газа в мг/л	Влажность в %	Состояние деревянных конструкций		Состояние металлических в железобетонных кон-струкций	
12	Металлические фермы с деревянным покрытием	10	Концентрация превышала норму в 2 раза	60	Древесина в покрытии менялась через каждые 5 лет	Состоит из металлических ферм, покрытых защитной окраской, удовлетворительное	Предварительное	Незначительная коррозия металлических элементов конструкций
13	Металлические фермы $l=12$ м с деревянным покрытием	12	Концентрация в пределах нормы	50	Деревянный настил находится в удовлетворительном состоянии после 2 лет эксплуатации. Существовавший ранее настил простоял 30 лет	Состоит из ферм, окрашенных перхлорвиниловой краской	—	—
14	Металлические фермы $l=9$ м, армированобетонные плиты	15	Пары соляной кислоты от 0,005 до 0,023	66	—	Значительная коррозия ферм. Отпадение защитного бетонного слоя в щелах	—	Металлические балки, окрашенные перхлорвиниловой краской, в удовлетворительном состоянии. Сильная коррозия бетона, плит и кирпичной кладки

Таблица 8
Состояние конструкций покрытий в газовой среде «аммиак и сернистый ангидрид»

№ п/п	Наименование кон-струкций	Срок эксплуатации в годах	Концентрация газа в мг/л	Влажность в %	Состояние деревянных конструкций		Состояние металлических деталей и конструкций	
15	Деревянное пустотное покрытие по стальным фермам на заклепках	30	Аммиак до 0,02; сернистый ангидрид до 0,08	55	Древесина покрытия в удовлетворительном состоянии. Отдельные участки покрытия менялись после 20 лет эксплуатации	Коррозия стальных ферм. Фермы окрашиваются защитными лаками через каждые 3—4 года	—	—
16	Покрытие по деревянным балкам с оштукатуренной деревянной подшивкой	6	Пары аммиака NH_3 0,02 мг/л	51	Древесина балок в подшивке в удовлетворительном состоянии. Наблюдаются отслаивание штукатурки	Коррозия гвоздей в деревянной подшивке потолка	—	—

Таблица 9
Состояние конструкций покрытий в среде «уксусный ангидрид»

Наименование кон-струкций	Срок эксплуатации в годах	Концентрация газа в мг/л	Влажность в %	Состояние деревянных конструкций	Состояние железобетонных и металлических конструкций
Металлические фермы $l=24$ м. Покрытие деревянное, неутепленное	30	В пределах норм (0,005)	59	Состояние древесины покрытия удовлетворительное	Незначительная коррозия металлических элементов конструкций
Металлические балки с покрытием из железобетонных переплетов в удовлетворительном состоянии	8	0,01	50	Превесина площадок и деревянных оконных переплетов в удовлетворительном состоянии	Сильная коррозия железобетонных плит пола и кладки стен. Металлические балки, покрытые перхлорвиниловой краской, в удовлетворительном состоянии
Металлические балки и покрытие из железобетонных плит	8	Уксусный ангидрид 0,005, пары бензола до 0,32 мг/л	—	—	Металлические балки, окрашенные перхлорвиниловой краской, в удовлетворительном состоянии. Сильная коррозия бетона, плит и кирпичной кладки
Металлические балки и покрытие из железобетонных плит. Деревянные внутренние помещения	22	В пределах нормы. В отдельные периоды концентрация превышала норму (0,005)	—	Древесина площадок и деревянных переплетов в удовлетворительном состоянии	Наблюдается коррозия металла балок, которые скрываются через каждые 3—4 года

9. Прочность древесины в агрессивных газовых средах

Отбор образцов из существующих конструкций

Образцы отбирались из элементов ферм, частила и прогонов кровли. Металл стальных ферм не испытывался.

Из поперечного сечения элемента выкалывались угловые участки, имевшие две грани, которые в процессе эксплуатации омывались агрессивными средами (рис. 21). Изготовление из полученных брусков стандартных образцов на сжатие и скальвание не представляло особых затруднений. Более трудной за-

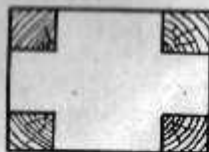


Рис. 21. Схема отбора образцов из элементов существующих деревянных конструкций

Заготовка образцов

Как отмечалось выше, в тех же цехах с агрессивными средами, из конструкций которых были отобраны стандартные образцы для испытаний, были заложены новые стандартные образцы для содержания их в агрессивных средах в течение двух лет. Образцы были изготовлены из пяти сосновых кряжей длиной по 4,5 м, срубленных на лесосеке Вятско-Полянского комбината. Диаметр кряжей в верхнем отрубе равен 35—40 см.

Кряжи были распилены на месте на доски толщиной 5 см и просушенны. Три средние доски были использованы для изготовления образцов на изгиб, растяжение и сжатие. Для изготовления образцов на скальвание по kleевому шву использовались доски, расположенные справа и слева от трех средних досок.

Из досок были изготовлены бруски размером 20×20 мм, длиной 350 мм, из которых нарезались стандартные образцы на сжатие, изгиб и растяжение. Для испытания на скальвание по kleевому шву были изготовлены бруски сечением 50×25 мм, длиной 350 мм, которые в дальнейшем склеивались kleem КБ-3. Помимо этого из каждой доски каждого кряжа были отобраны контрольные образцы на сжатие в количестве 10—12 шт., на растяжение и на изгиб по 6—8 шт., а также сделаны заготовки для изготовления контрольных образцов на скальвание по kleевому шву.

После изготовления часть образцов была пропитана различными составами, другие окрашены защитными красками, а некоторые образцы подвергнуты сушке в петролатуме. Приводим данные о применявшемся окрасках и пропитках образцов.

Образцы, покрытые краской МХС. Согласно проведенным Институтом пожарной охраны УПО НКВД испытаниям, окраска увеличивает огнестойкость древесины и способствует стойкости ее в растворе крепкой соляной кислоты. В состав краски входят перхлорвиниловая смола, хлорпарафин, двуокись титана, цинковые белила и другие компоненты. Эта окраска была проверена в следующих агрессивных газовых средах: 1) «сернистый ангидрид»; 2) «аммиак и сернистый ангидрид»; 3) «уксусный ангидрид».

Пропитка в петролатуме. Учитывая положительное действие пленки древесины в петролатуме, при котором одновременно повышается и ее биостойкость, было целесообразно установить, увеличивается ли химическая стойкость древесины, просушенной в петролатуме, по сравнению с обычной непропитанной древесиной.

Образцы, просушенные в петролатуме, были заложены во всех пяти агрессивных средах: «хлористый водород», «сернистый ангидрид», «пары серной, соляной и азотной кислот», «аммиак и сернистый ангидрид» и «уксусный ангидрид».

Пропитка ацетонофурфуроловым мономером. Эта пропитка была рекомендована Институтом пластмасс (предложение инж. Н. И. Остер-Волкова). По данным института, пропитка придает древесине грибоустойчивость и огнестойкость. ЦНИИПО рекомендовал эту пропитку в качестве огнезащитной. Было намечено проверить ее эффективность в агрессивных средах: «пары серной, соляной и азотной кислот», а также в среде «уксусный ангидрид».

Пропитка ЦНИЛХИ, предложенная канд. техн. наук Н. И. Лекторским, представляет собой маслянистый состав темного цвета, стойкий против воздействия серной кислоты. Было намечено проверить его стойкость в агрессивных средах, воздействие которых связано с выделением соляной кислоты, т. е. в среде «хлористый водород».

Учитывая сложность пропитки древесины этим составом в автоклавах под давлением, было намечено паряду с пропиткой проверить эффективность окраски этим же составом. Образцы с окраской ЦНИЛХИ были заложены в среде «уксусный ангидрид».

Лак этиноль. Трест Монтажхимзащита рекомендовал применить для покрытия древесины лак этиноль. Этим лаком были покрыты образцы, заложенные в агрессивной среде в виде паров серной, соляной и азотной кислот.

Лак НИИ-200. Лак был предложен б. НИИ-200 (в настоящее время институтом ВНИИМонтажспецстрой) для защиты древесины в агрессивных средах. Лак изготовлен на основе фенольных смол. Покрытые им образцы были заложены в агрессивных средах «сернистый ангидрид» и «пары серной, соляной и азотной кислот».

Часть защитных покрытий, примененных автором, вошла в номенклатуру, рекомендованную Указаниями по применению деревянных конструкций в условиях химически агрессивной среды.

Закладка образцов и содержание их в агрессивных средах

Образцы на сжатие, изгиб, растяжение и скальвание укладывались в специальные контейнеры (рис. 22). Каждый образец помещался в отдельной ячейке, что способствовало свободному доступу агрессивной газовой среды со всех сторон. В каждом из 24 контейнеров содержалось 16 образцов на изгиб, 16 образцов на растяжение, 4 бруска длиной по 350 м, из которых нарезались образцы на сжатие, и 4 склеенных бруска, из которых делались образцы на скальвание по kleевому шву.

Всего в каждом контейнере содержалось до 72 образцов, предназначенных для четырех видов испытаний. Это количество обеспечивало проведение двух этапов испытаний: после одного года нахождения в агрессивной среде и после двух лет. Подвеска контейнеров с образцами производилась к иссущим конструкциям покрытий (фермам и балкам) непосредственно под кровлей.

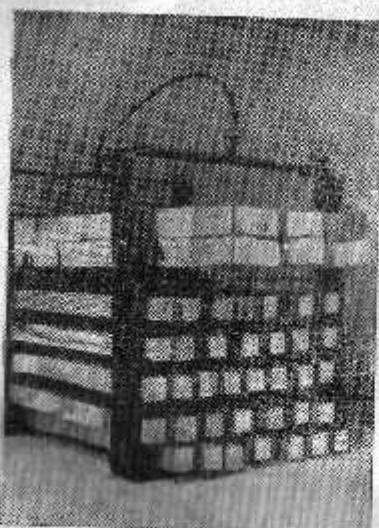
Рис. 22. Контейнеры с заложенными образцами для содержания в агрессивных средах

После одного года содержания в агрессивных средах половина образцов была вынута и подверглась испытаниям. Вторая половина образцов была вынута и испытана после двух лет нахождения в агрессивной среде. Одновременно с изъятием образцов из контейнеров из заводских лабораторий были получены сведения о среднем значении влажности воздуха, его температуре и средней концентрации вредностей в воздушной среде за указанный период.

Испытание образцов

Образцы, отобранные из существующих конструкций, испытывались на сжатие, растяжение и изгиб и скальвание в соответствии с ГОСТ 6336—52. При этом определяли влажность образцов и в результаты испытаний вводили соответствующую поправку. При испытании на растяжение влияние влажности не учитывалось. Образцы, изъятые из контейнеров, испытывались на сжатие, растяжение и изгиб.

По результатам испытаний составлено 219 протоколов [23, 24, 25], сведенные в 20 таблиц. Для каждой из пяти агрессивных сред составлены три таблицы, в которых содержались результаты испытаний на сжатие, растяжение и изгиб.



Кроме того, для двух агрессивных сред — «каммиак и сернистый ангидрид» и «уксусный ангидрид» — были проведены испытания на скальвание образцов, отобранных из существующих конструкций, а также испытание на скальвание по kleевому шву образцов, находившихся в контейнерах в тех же печах и тех агрессивных средах. Образцы были склеены kleem марки КБ-1.

Экспериментальные данные были подвергнуты статистической обработке. При этом вычислялись: средняя арифметическая величина t , среднее квадратическое отклонение $\pm \sigma$ и вариационный коэффициент v . В отдельных случаях определялись средний коэффициент t и соответственно показатель точности в процентах.

Всего было испытано 1575 образцов, в том числе и образцы из существующих конструкций, находившихся в тех же агрессивных средах, в которых были заложены образцы в контейнерах. Для каждой серии образцов производились также испытания соответствующих им контрольных образцов. Для удобства сопоставления результаты испытаний включены в табл. 1.

Для образцов, взятых из существующих конструкций, как и для контрольных данных, естественно, не могло быть, и полученные результаты можно было сравнивать лишь со средними величинами физико-механических свойств древесины сосны центрального района европейской части СССР (см. ГОСТ 4631—49):

сжатие	139 кгс/см ²
растяжение	1150 "
изгиб	793 "
скальвание	73 " (в тангенциальном направлении)

Таблица

Показатели прочности образцов, содержащихся в агрессивной среде «хлористый водород»

(в знаменателе приведены пределы прочности контрольных образцов)

Номер таблицы	Установленное значение влаго- способности в %	Относительная влаж- ность воздуха в %	Температура воздуха в °С	Вид образца	Срок пребывания в агрессивной среде в годах	Сжатие		Растяжение		Изгиб	
						Пределы прочности в кгс/см ²	% от кон- трольных показателей	Пределы прочности в кгс/см ²	% от кон- трольных показателей	Пределы прочности в кгс/см ²	% от кон- трольных показателей
1	0,02	64	16— 22	Непропитанный	2	8	301 318	95	6	0,00 705	00
2	0,01	50	16— 20	То же	26	47	369 439	84	—	—	4 437
3	0,02	64	16— 22	Пропитка в петро- латуме	2	9	321 302	1,06	6	329 1469	22
4	0,02	55	16— 20	Окраска составом ЦНИЛХИ	1	11	462 412	1,12	5	282 420	67
											517 611

Таблица 11
Показатели прочности образцов, содержащихся в агрессивной среде
«сернистый ангидрид»

(в знаменателе приведены пределы прочности контрольных образцов)

№ п/п	Концентрация газа и № ^а	Вид образца	Сжатие	Растяжение			Изгиб							
				пределы про- стойкости в % от KOR	пределы про- стойкости в % от KOR	пределы про- стойкости в % от KOR								
5	0,02	45	16—20	Непропитанный	2	9	225	70	5	537	66	5	423	67
6	0,03 до 0,12	90	15—18	—	12	9	321	75	—	—	—	—	612	—
7	0,02	45	16—20	—	22—26	9	307	70	5	173	15	4	449	57
8	0,02	45	16—20	Пропитанный в пе- тroleum	1	—	—	—	—	—	—	—	793	—
9	0,02	45	16—20	Перхлоринатом окраска	2	8	321	98	4	618	84	6	672	76
10	0,02	45	16—20	Окраска МХС	1	—	—	—	5	736	50	4	510	99
11	0,02	45	16—20	Окраска НИИ-200	2	—	—	—	5	1141	566	4	435	97
							328	—	8	578	91	4	448	—
							—	—	8	638	—	—	—	—

Показатели прочности образцов, содержащихся в агрессивной среде
«сернистый ангидрид»

(в знаменателе приведены пределы прочности контрольных образцов)

№ п/п	Концентрация газа и № ^а	Вид образца	Сжатие	Растяжение			Изгиб						
				пределы про- стойкости в % от KOR	пределы про- стойкости в % от KOR	пределы про- стойкости в % от KOR							
12	66	16—22	Непропитанный	2	9	227	71	5	290	40	6	379	79
13	68	16—25	То же	2	9	318	86	—	—	—	—	479	—
14	66	16—22	С пропиткой петро- латумом	2	11	324	65	5	402	30	6	500	84
15	66	16—22	С окраской НИИ-200	1	8	392	79	—	—	—	5	596	—
16	56	16—20	Окраска этиловым	2	11	497	98	—	—	—	5	647	78
17	56	16—20	Пропитка фурмутол- апетиновым мером	2	9	412	—	—	—	—	5	538	85
				391	84	469	—	—	—	—	5	631	—
				—	—	—	—	—	—	—	6	572	83
				—	—	—	—	—	—	—	6	690	—

Показатели прочности образцов, содержащихся в агрессивной среде «аммиак и сернистый ангидрид»

(в зависимости от прочности контрольных образцов)

№ п/п	Композитная газовая смесь	Температура выдержки, °С	Время испытания, ч	Сжатие	Растяжение	Изгиб	Сжатие		Сжатие		Сжатие	
							% от прочности					
18	Аммиак до 0,04; сернистый ангидрид до 0,02	56	17—20	Непротиванский	1	7	414 328	126	5 662	91	—	—
19	Аммиак до 0,04; сернистый ангидрид до 0,02	56	17—20	То же	2	11	438 321	136	5 662	86	5 552	145
20	Аммиак до 0,01	55	17—20	*	30	30	428 439	98	—	6	219 793	28
21	до 0,01	55	17—20 С пропиткой петролатумом	*	2	9	543 447	122	5 1335	46	6 596	89
22	± 0,01	55	17—20 С окраской	2	8	373	101	4 597	52	6 510	92	—

Таблица 2
(в зависимости от прочности контрольных образцов)

№ п/п	Композитная газовая смесь	Температура выдержки, °С	Вид образца	Действующая сила, кгс	Действующая сила в т.ч.	Сжатие	Растяжение	Изгиб	Сжатие		Сжатие	
									% от прочности	% от прочности	% от прочности	% от прочности
23	0,32	50	15—20	Непротиванный	2	9	290 318	91	5 823	95	3 442	93
24	0,01	58	16—18	То же	2	9	329 321	102	4 734	85	5 642	65
25	0,03	59	16—18	*	30	20	331 439	75	—	—	12 45	73
26	0,03	59	16—18	Пропитка в петролатуме	2	8	506 447	104	5 1335	49	5 658	87
27	0,01	58	16—18	С пропиткой ЦНИИХИ	1	11	322 319	101	—	—	—	—
28	0,03	59	16—18	С окраской ЦНИИХИ	1	9	438 469	94	—	—	5 437	98
29	0,32	50	15—20	С пропиткой антисорбционным покрытием	1	—	—	—	4 374	53	5 544	89

3. Результаты обследования древесины несущих конструкций и испытаний стандартных образцов

В результате обследования древесины несущих конструкций химико-металлургических предприятий (табл. 5—9) и испытания на прочность стандартных образцов, находившихся в течение двух лет в тех же агрессивных средах, получены данные, позволяющие судить о влиянии некоторых агрессивных газовых сред на древесину несущих конструкций.

Ввиду большого объема материалов по проведенной работе они представлены в сокращенном виде.

В табл. 10—14 приводятся показатели прочности стандартных образцов, содержащихся в агрессивных средах, с указанием концентрации газов, относительной влажности и температуры воздуха в цехах.

Далее излагаются выводы по результатам обследования испытаний для каждой агрессивной газовой среды отдельно.

Агрессивная газовая среда «хлористый водород». При конденсации хлористого водорода HCl на поверхности конструкций образуется соляная кислота. Степень агрессивного воздействия зависит от концентрации HCl , температуры, относительной влажности воздуха и наличия вентиляции в цехах.

При норме 0,005 мг/л, или 5 мг/м³ (см. СНиП II-M.2-62) фактическая концентрация в обследованных цехах была в пределах от 0,005 до 0,01, а в отдельных случаях (завод «Краснхим» в Ленинграде) достигала 0,022 мг/л.

Из приведенных в таблицах данных по обследованию существующих деревянных конструкций видно, что отрицательным фактором, снижающим долговечность деревянных несущих конструкций в указанной среде, является значительная концентрация газа в сочетании с высокой относительной влажностью воздуха.

Вместе с тем при соблюдении норм концентрации хлористого водорода в пределах до 0,005 в той же агрессивной среде были обследованы деревянные конструкции, находящиеся в удовлетворительном состоянии после 15 лет эксплуатации. Конструкции, находящиеся в той же среде, после 26—30 лет эксплуатации были в псевдовлетворительном состоянии ввиду расстройства узловых соединений. Причина — сильная коррозия металла болтов, сопровождавшаяся коррозией древесины в гнездах болтовых соединений. Внешний вид образцов после двух лет пребывания в контейнерах в агрессивной среде «хлористый водород» показан на рис. 23—25. Все образцы, изъятые из контейнеров, имели на поверхности зеленовато-серый налет и обладали повышенной влажностью.

Воздействие агрессивной среды в большей степени сказалось на непропитанных образцах (рис. 23), на поверхности древес-

ины которых видны следы обугливания. Наиболее тонкие образцы, предназначенные для испытания на растяжение, обугливались на всю толщину сечения и сломались при изъятии из

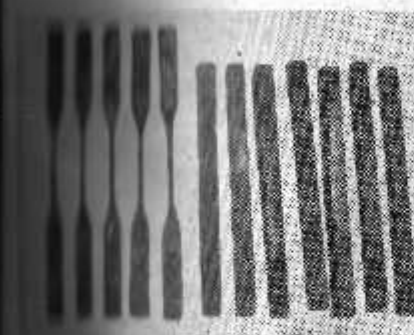


Рис. 23. Непропитанные образцы после двух лет солергации в среде «хлористый водород»

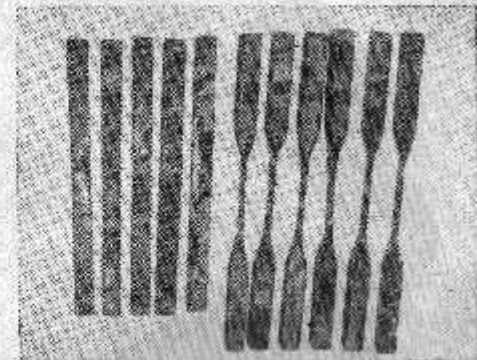


Рис. 24. Образцы, просушенные в петролатуме

контейнера. В меньшей степени обугливание наблюдалось в образцах, просушенных в петролатуме (рис. 24). Несколько лучшую сохранность показали образцы, пропитанные составом ЦНИЛХИ (рис. 25).

Агрессивная газовая среда «хлористый водород» в сильной степени воздействует на древесину; поэтому применение незащищенной древесины в конструкциях, работающих в этой среде, не может быть разрешено. Помимо окраски составом ЦНИЛХИ можно применять в качестве защитных покрытий лаки этиоль, эмаль ПХВ и др., приведенные в табл. 4. Указаний по применению деревянных конструкций в условиях химически агрессивной среды.

Агрессивная газовая среда «сернистый ангидрид». При конденсации сернистого ангидрида SO_3 на поверхности несущих конструкций образуется серная кислота.

Водяные пары в помещении, влага, выделяемая древесиной, и увлажнение конструкций при протечках кровли — вот те источники воды, которая при взаимодействии с SO_3 приводит к образованию серной кислоты ($SO_3 + H_2O = H_2SO_4$). Интенсивность протекания этих процессов

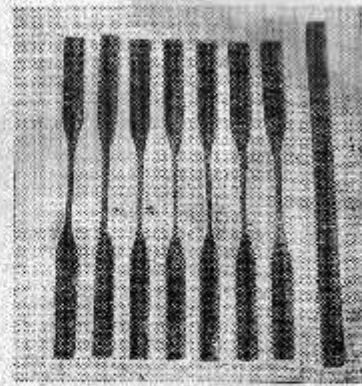


Рис. 25. Образцы, пропитанные составом ЦНИЛХИ

в значительной степени зависит от температуры, относительной влажности воздуха, атмосферного давления и т. д. Серная кислота, образующаяся на поверхности древесины, отнимает у нее воду, что ведет к обугливанию древесины и ее разрушению.

Из табл. 11 видно, что непропитанные образцы после двух лет содержания в этой среде снизили свою прочность на 30–46%. При длительной эксплуатации (до 26 лет) наблюдается значительно большее снижение прочности на растяжение, чем на сжатие и изгиб. Низкая прочность образцов на растяжение не показательна, так как при малой их толщине (1 мм) они пропитывались насквозь продуктами конденсации. Удовлетворительные результаты показала перхлорвиниловая окраска образцов (п. 9 табл. 11).

Химическая стойкость древесины в данной агрессивной среде может быть повышена путем пропитки или окраски составами, указанными в табл. 4 и 5 Указаний [5].

Агрессивная среда «пары серной, соляной, азотной кислот». Данная среда наиболее характерна для травильных отделений листопрокатных цехов.

Содержание паров перечисленных выше кислот не постоянно и трудно поддается учету. Обменная вентиляция в этих цехах рассчитывается по одной из вредностей, требующей наибольшего объема воздуха. Нормы концентрации для серной кислоты и серного ангидрида установлены в пределах 0,001 мг/л, в натуре же концентрация его временами достигает 0,005 мг/л. Пары азотиновой кислоты при соединении с водой образуют азотную кислоту и окись $3\text{NO}_2 + \text{H}_2\text{O} = 2\text{HNO}_3 + \text{NO}$. Азотная кислота, вступая в реакцию с лигнином, вызывает его разрушение. По нормам окислы азота в пересчете на NO_2 не должны превышать 0,005 мг/л; в натуре же в обследованных цехах в отдельные промежутки времени концентрация паров вдвое превышала норму.

Изъятые из контейнеров образцы по внешнему виду были в удовлетворительном состоянии. Поверхность их была сравнительно сухая и следов обугливания не отмечалось. Неокрашенные и непропитанные образцы древесины имели серозато-бурый цвет.

В образцах, пропитанных составом ЦНИЛХИ, внешний вид не изменился. В образцах, покрытых лаками этиоль и НИИ-200, повреждения лаковой пленки не отмечалось. Изменение прочностных характеристик древесины образцов видно из табл. 11. Пропитка образцов в петролатуме и окраска лаками этиоль дали некоторый эффект по сравнению с непропитанными образцами.

Возможно, больший эффект даст применение лакокрасочных покрытий, приведенных в табл. 4 Указаний [5]. В данной агрессивной среде можно рекомендовать применение несущих конструкций с применением указанных выше защитных покрытий.

Агрессивная газовая среда «аммиак и сернистый ангидрид». Воздействие данной агрессивной среды на деревянные конструкции покрытия было исследовано в одном из цехов Дорогомиловского завода в Москве. По данным заводской лаборатории, концентрация амиака была в пределах 0,01–0,04 мг/л, а сернистого ангидрида — в пределах 0,01–0,02 мг/л. Влажность была равна в среднем 55%.

Из табл. 13 видно значительное уменьшение прочности образцов на растяжение, которое, однако, можно не учитывать (по изображениям, изложенным выше). Прочность древесины на изгиб снизилась в образцах, взятых из кровельного настила, выполненного из тонких 2,5-см досок, находившихся в покрытии 10 лет. Очевидно, тут сказалась длительный срок эксплуатации покрытия и малая толщина досок, при которой могла произойти сквозная пропитка их продуктами конденсации.

Обращает на себя внимание некоторое повышение прочности образцов на сжатие. Механизм химического воздействия агрессивной среды «аммиак и сернистый ангидрид» на древесину недостаточно ясен и требует дополнительного изучения. Вероятно, повышение прочности на сжатие носит временный характер, так как после 30 лет нахождения образцов в данной агрессивной среде повышения не наблюдалось (см. табл. 13).

Положительный эффект дало покрытие образцов краской МХС.

Помимо испытания образцов на сжатие, растяжение и изгиб были испытаны образцы на скальвание, отобранные из элементов несущих конструкций, находившихся в эксплуатации в данной среде 30 лет. Среднее сопротивление скальванию составило 63,7 кгс/м² (табл. 13). Если сопоставить его со средним сопротивлением древесины скальванию (см. выше), можно убедиться, что снижение прочности было незначительным.

Одновременно с этим были испытаны на скальвание образцы, склеенные на клею КБ-3. Прочность kleевых швов в образцах из древесины, непропитанной и окрашенной составом МХС, в течение двух лет практически не снизилась. Полученные результаты совпадают с данными Указаний [5] о слабом воздействии газовой среды «аммиак и сернистый ангидрид» на незащищенную древесину.

На основании изложенного для данной агрессивной среды можно рекомендовать применение несущих конструкций как из обычной древесины, так и из элементов, склеенных на клею КБ-3, с покрытием краской МХС и другими лаками и эмалями, рекомендованными в табл. 4 Указаний [5].

Агрессивная газовая среда «уксусный ангидрид». В ряде обследованных цехов агрессивной средой является уксусный ангидрид в сочетании с парами муравьиной кислоты, с преобладающей концентрацией уксусного ангидрида. Предельно допустимая концентрация уксусного ангидрида в воздухе составляет 0,005 мг/л.

мая концентрация уксусного ангидрида в обследованных цехах, равная $0,005 \text{ мг/л}$, в отдельные периоды была выше допустимой в 1,5–2 раза.

Из рассмотрения табл. 14 можно заметить некоторое снижение прочности образцов после двух лет их содержания в агрессивной среде. Это обстоятельство может быть отнесено за счет малых размеров поперечных сечений образцов, при которых происходила сквозная пропитка их продуктами конденсата. Особенно это было заметно в образцах на растяжение.

Вместе с тем взятые из крупных сортиментов образцы, испытанные на сжатие и скальвание, в данной агрессивной среде показали сравнительно высокие прочностные характеристики. Одновременно были испытаны на скальвание kleеные образцы, изготовленные на клее КБ-3. При испытании они показали достаточно высокую прочность kleевых швов.

При сопоставлении результатов испытаний двух партий образцов, находившихся в одинаковых газовых средах (н. 23 и 24 табл. 14), но с различной концентрацией вредности, можно отметить небольшую разницу в прочностных характеристиках, что говорит о слабом влиянии среды «уксусный ангидрид» на прочность древесины и на прочность kleевых швов.

Результаты исследования прочностных характеристик древесины в данной агрессивной среде совпадают с данными И. Я. Клинова [28] об устойчивости древесины в среде «уксусный ангидрид». В Указаниях (табл. 1 [5]) отмечается также слабая степень агрессивного воздействия среды «уксусный ангидрид» на древесину.

Поэтому в такой агрессивной среде можно рекомендовать применение деревянных несущих конструкций, в том числе и из склеенных на клее КБ-3. В качестве защитных покрытий могут быть применены окраска ЦНИЛХИ, лаки и эмали, рекомендованные в табл. 4 Указаний.

Общие выводы по проделанной работе. По результатам проведенных исследований о влиянии агрессивных газовых сред на прочность древесины можно сделать некоторые общие выводы, справедливые для большей части рассмотренных выше сред.

Прочностные характеристики стандартных образцов, взятых из конструкций, находившихся в агрессивных средах, зависят не только от степени агрессивности среды, температуры и влажности воздуха, но и от расположения образцов на поверхности элемента. Образцы из существующих конструкций были взяты из зоны ребра элементов (см. рис. 21) и имели две грани, омыываемые агрессивными средами. Стандартные же образцы, содержащиеся в контейнерах, подвергались воздействию агрессивной среды по всем четырем граням, вследствие чего ее воздействие было, несомненно, более интенсивным. Интересно отме-

тить некоторые характерные особенности воздействия агрессивных сред на древесину.

Поражение древесины происходит более интенсивно вдоль волокон и менее интенсивно — поперек волокон. Образцы из более смолистой древесины дают при испытании более высокие показатели прочности. Наличие трещин в деревянных элементах, а также зазоров в гнездах неплотно посаженных болтов способствует проникновению туда агрессивных газов и глубокому поражению древесины.

Глубина поражения древесины достаточно заметна и сопровождается изменением ее естественного цвета. Так, в агрессивной среде «хлористый водород» в начальной стадии древесина приобретает розовый цвет, который затем переходит в светло-бурый. В агрессивной среде «сернистый ангидрид» древесина приобретает розовый оттенок, который затем переходит в бурый. В обоих случаях поверхностный слой древесины становится хрупким. Толщина пораженного слоя древесины для среды «хлористый водород» составляет примерно $1,5\text{--}2 \text{ мм}$ в год, а для агрессивной среды «сернистый ангидрид» — примерно $1\text{--}1,5 \text{ мм}$.

В статье доц. Д. А. Кочеткова [3] приводятся примерно те же данные о глубине поражения — 2 мм за один год для среды «сернистый ангидрид».

В образцах, вырезанных из конструкций, находившихся в эксплуатации 20–25 лет в среде «сернистый ангидрид», наблюдалось изменение цвета древесины на глубину $40\text{--}50 \text{ мм}$. Следует отметить, что поражение древесины в начальной стадии протекает достаточно интенсивно, а затем замедляется. Так, серная кислота при воздействии на поверхность древесины обугливает ее и создает как бы защитный слой, предохраняющий нижерасположенные слои.

Из всего изложенного видно, что для сопротивляемости древесины воздействию агрессивных сред имеют существенное значение поперечные размеры сортиментов и их толщина. Тонкие стандартные образцы толщиной 4 мм , предназначенные для испытания на растяжение, за два года нахождения в агрессивной среде пропитались насквозь осаждавшимися на них продуктами конденсации. При испытании на прочность, естественно, здесь получались низкие показатели.

Преимущество в долговечности будут иметь крупные сортименты в виде толстых брусьев и окантованных бревен. Долговечность дощатых конструкций, несомненно, будет ниже.

По проведенной работе можно сделать следующие выводы.

Для агрессивных газовых сред «хлористый водород», «сернистый ангидрид» и «пары серной, соляной и азотной кислот» можно рекомендовать применение деревянных конструкций в покрытиях цехов и во внутренних обслуживающих площадках.

Элементы несущих конструкций должны быть выполнены из крупных сортиментов (брусья, бревна); мелкие сортименты (лоски, бруски) не рекомендуются.

О применении kleеных конструкций в указанных агрессивных средах автор не располагает достаточными данными, так как экспериментальные работы по этому разделу по ряду обстоятельств не могли быть закончены.

Для агрессивных сред «аммиак и сернистый ангидрид», а также «уксусный ангидрид» можно рекомендовать применение деревянных несущих конструкций также и из kleеных элементов на водостойком клее КБ-3.

В целях повышения химической стойкости древесины в рассмотренных нами агрессивных средах могут быть предложены защитные покрытия и пропитки, приведенные выше для каждого из рассмотренных агрессивных сред.

Глава III

КЛЕЕНЫЕ ДЕРЕВЯННЫЕ КОНСТРУКЦИИ

1. Крупнопанельные kleеные фермы и арки

При сооружении промышленных гражданских зданий в качестве несущих конструкций покрытий применяются различного типа деревянные и металлодеревянные фермы и арки. Применение металла для растинутых поясов этих ферм обусловлено трудностью подбора для них высококачественного лесоматериала I и II категорий.

Используя преимущество kleеных деревянных элементов (они могут быть изготовлены из древесины пониженного качества путем вырезки из досок мест с недопустимыми горючками, состыкованием по длине посредством зубчатого стыка), представляется возможным получить при склейке элементы, не уступающие по качеству цельным брусьям I категории, которые могут быть с успехом применены в качестве растинутых элементов конструкций.

Деревянные фермы с kleеными верхними и нижними поясами более экономичны по расходу металла по сравнению с обычными металлодеревянными фермами. Помимо этого, для ферм такого типа открывается достаточно широкая возможность применения их в цехах химических предприятий при наличии агрессивных сред (см. гл. II).

Целью изложенной ниже экспериментальной работы была разработка деревянных kleеных ферм и арок треугольного и трапециевидного очертаний для гражданских и промышленных зданий.

При выборе схемы фермы имелись в виду следующие предположения:

1) фермы должны быть крупнопанельными с минимальным количеством узлов, простых в изготовлении и достаточно надежных в эксплуатации;

2) склеивание древесины позволяет изготовить элементы крупных сечений, необходимые для применения в длинномерных панелях сжатоизогнутых верхних поясов ферм.

На основе этих соображений были предложены две схемы ферм: треугольная — для кровли из асбестоцементных листов или из кровельной стали (рис. 26) и пятиугольная — для рубленной кровли. Все узловые сопряжения ферм было намечено выполнить в виде лобовых упоров или врубок. Для пятиугольной фермы было предусмотрено дополнительное крепление в узлах В и Г для восприятия растягивающих усилий.

Изображенные на рис. 26 фермы отличаются от обычных металлодеревянных ферм увеличенными размерами панелей и конструкцией опорных узлов, решенных в виде лобовых упоров (деталь А), в которых ослабление врубкой компенсируется соответствующим увеличением сечения.

Площадка смятия в узле расположена перпендикулярно направлению сжимающей силы N (рис. 26, б). Величина и направление этой силы определены с учетом работы верхнего пояса как балки с распределенной нагрузкой, вызывающей в нем местные поперечные силы.

При расчете верхнего щояса было также учтено воздействие разгружающих моментов ввиду вноцентренного приложения сжимающей силы в узлах.

Учитывая, что опыта применения узловых соединений такого типа не было, возникла необходимость в проведении некоторых

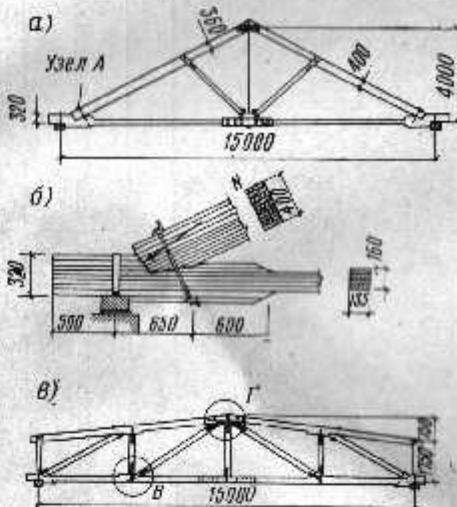


Рис. 26. Крупнопанельные фермы с kleеными поясами

а — треугольная ферма; б — деталь опорного узла; в — ферма трапециевидного очертания

Таблица испытаний

Таблица 15

Тип узлов	№ образца	t_{f2}	t_1	b_1	b_2	b	F_{ck}	$\sigma_{p,ck}$	$\sigma_{p,cr}$
<i>Узлы I № 1-3</i>	1	90	50	11	4,5	20	$20 \cdot 50 = 1000$	30,6	25,1
	2	90	46	10	4,5	19	$19 \cdot 46 = 874$	29,1	25,7
	3	90	46	9,5	4,3	18,1	$18,1 \cdot 46 = 832$	34,2	29,8
<i>Узлы II № 4-5</i>	4	90	54	14,4	4,3	23	$23 \cdot 54 = 1240$	36,7	32,1
	5	90	56	14,4	4,3	23	$23 \cdot 56 = 1288$	39,8	34,8
	6	90	57	—	—	14,7	$14,7 \cdot 57 = 834$	36,7	31,1

Узлы типов I, II, III

№	τ_{ck} кг/см ²	Характер деформаций	Скальвание в %		Эскизы деформаций в элементах узлов	$\frac{\tau_{ck}}{R_{cr}}$
			по длине по клетке	по клетке		
1	$\frac{21900}{1000} = 21,9$	Откол боковых накладок, затем скальвание по плоскости а, б, в, г. Значительные деформации площадок смятия, глубина обмятия до 20 мм	85	15		$21,9 = 12,9 = 1,69$
2	$\frac{21000}{874} = 24$	Откол накладки по плоскости а-б, затем разрушение от скальвания по плоскости а, б, в, г. Появление трещины в боковых досках, затем скальвание по плоскости а, б, в, г.	87	13		$24 = 13,4 = 1,80$
3	$\frac{24400}{832} = 29,3$	Трещина при скальвании (вид с торца)	94	6		$29,3 = 13,4 = -2,19$
4	$\frac{26100}{1240} = 21,1$	Трещины в боковых накладках, затем скальвание по всей площади а, б, в, г. Отдир и трещины в торце	90	10		$21,1 = 13,2 = -1,6$
5	$\frac{28600}{1285} = 22,3$	Разрушение от скальвания по всей площади а, б, в, г. Отдир и трещины в торце	92	8		$22,3 = 13,2 = -1,60$
6	$\frac{25400}{834} = 31,3$	То же	95	5		$31,3 = 12,1 = -2,57$

экспериментальных работ с целью определения их несущей способности.

Было запроектировано и изготовлено несколько спорных узлов с различными вариантами размеров плоскостей скальвания (табл. 15). В образце типа III ширина плоскости скальвания была равна ширине бруса. В образцах типа I и II ширина плоскости скальвания была увеличена приклейкой боковых накладок. Длина площади скальвания была принята с учетом рекомендованного СНиП II-В.4-71 соотношения $l_{ск}/e \geq 3$ [20]. Испытания были проведены на гидравлическом прессе мощностью в 300 т. На рис. 27 показана траверса с установленным на нее образцом, опертым на одну неподвижную, а другую подвижную опоры.

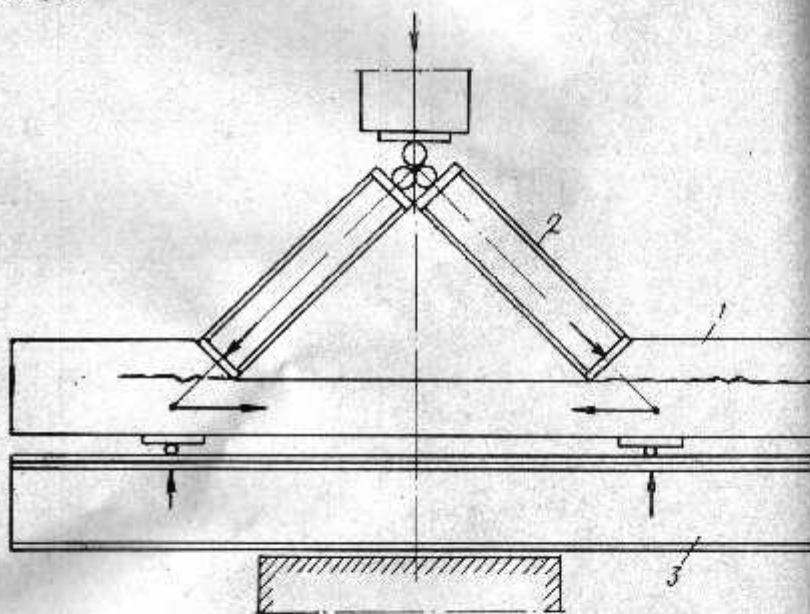


Рис. 27. Общий вид установки для испытания опорных узлов ферм. На траверсе показан образец типа III в момент разрушения от скальвания

Образцы были изготовлены из сосновой древесины влажностью 13—14% и склеены на казеиновом клее.

Перед началом испытаний образцов, представленных в табл. 15, были предварительно испытаны пробные образцы с деревянными подкосами. При их испытании установлено, что до разрушения образцов от скальвания происходило сильное обмятие площадок смятия и появление трещин в самих подкосах; из-за этого в дальнейшем деревянные подкосы заменили стальными (см. рис. 27). Такая замена была допустима, так как основной

задачей было определение несущей способности узлового соединения по скальванию.

Результаты испытания приведены в табл. 15.

Разрушение узловых соединений от скальвания характеризовалось появлением трещин в торце. Вблизи же площадки смятия в зоне максимальных скальвающих напряжений ввиду наличия прижимающих усилий трещин в начальной стадии не наблюдалось. Далее перед разрушением отмечалось значительное раскрытие трещин в торце образцов, т. е. оказывалось влияние отдирающих усилий.

В образцах типа I и II наблюдалось в первую очередь скальвание боковых накладок на 50% по kleевому шву, а затем происходило скальвание средней части по площади a , b , c , e , причем скальвание происходило на 90—94% по древесине (см. табл. 15).

Соединения, в котором пласти боковых накладок приклеивались к кромкам досок основного пакета, оказались менее надежными. Вероятно, тут сказалась недостаточная прочность приклейки боковых пакладок из-за наличия толстых kleевых швов.

Среднее расчетное сопротивление скальванию было определено для каждого узла по формуле СНиП:

$$R_{ск}^{ср} = \frac{R_{ск}}{1 + \beta - \frac{e}{e}},$$

где e — плечо сил скальвания;

$$\frac{e}{e} = 3,17 - 3,45;$$

$$\beta = 0,25.$$

В табл. 15 приводится соотношение между фактическим средним пределом прочности при скальвании t и средним расчетным сопротивлением $R_{ск}^{ср}$. Наибольшую прочность на скальвание показал образец № 6. Испытания небольшого количества образцов натуральной величины показали, что работа этого соединения аналогична работе лобовой врубки с одним зубом и прочность его не ниже прочности лобовой врубки.

С учетом опыта испытаний узлов были составлены рабочие проекты треугольных ферм пролетом 15 м в соответствии со схемой на рис. 26,а.

Фермы были рассчитаны на нагрузку от веса утепленного покрытия и снеговую нагрузку 100 кгс/м². Общая нагрузка на 1 пог. м фермы составляла 934 кгс. Расчет верхнего пояса фермы выполнен как для двухпролетной балки с учетом разгружающих моментов вследствие эксцентричного приложения нормальной силы в опорном и коньковом узлах.

В ферме данного типа имеется металлический тяж. В случае необходимости применения ферм такого типа в агрессивных средах он может быть заменен элементом, выполненным из бруса с креплением в узлах болтами из СВАМ или АГ-4С. Нижний пояс может быть решен и растянутым в стыках нижнего пояса.

Фермы были изготовлены на деревообделочном комбинате стройтреста № 36 на ст. Перерва Московско-Курской ж. д. и предназначались для склада готовых изделий комбината.

Верхние и нижние пояса ферм были склеены из сосновых досок толщиной 40 мм, влажностью до 15% на клее марки КБ-3.

При изготовлении верхних поясов три крайних слоя досок в верхней и нижней частях пакета стыковались на «ус», а средние доски — впритык. Все стыки нижнего растянутого пояса делались на «ус».

Запрессовку клеенных элементов делали гвоздями. Подкосы фермы были выполнены из цельных брусьев. Сборка фермы производилась на подкладочных брусьях, выверенных по уровню (рис. 28). Подъем и установку ферм производили с помощью З-т автокрана. На рис. 29 показан общий вид покрытия.

В июне 1971 г. после 16 лет эксплуатации было проведено обследование состояния 7 клеенных ферм покрытия склада. Было установлено хорошее состояние клеенных пивов. Лишь в одной крайней ферме в опорном узле была обнаружена непроклейка глубиной 20 мм на длине 400 мм. Стыковые накладки нижнего пояса в трех фермах имели усущечные трещины, которые, однако, расположены не по линии расстановки болтов. Общее состояние ферм удовлетворительное.

Представляет интерес пример применения простейшей клееной треугольной арки пролетом 13 м, запроектированной автором для паровозного депо в Северодвинске (рис. 30). Из-за наличия в депо агрессивной газовой среды («сернистый антидрид») явилось необходимым отказаться от применения в конструкции незащищенных металлических элементов. Средняя стойка арки была выполнена из брусков с креплением в узлах болтами. Все болтовые соединения окрашивались за два раза кузбасслаком. При пролетах порядка 10—12 м целесообразно решать подобные конструкции, предназначенные для цехов с агрессивными средами с нижними поясами без стыков. Арки были расположены в покрытии с шагом 3 м и несли нагрузку от сборного щитового покрытия, утепленного шлаковатой.

Верхний сжато-изогнутый пояс арки был рассчитан с учетом разгружающих моментов в опорном и коньковом узлах. Нормальная сжимающая сила в этих узлах была приложена с эксцентричеством $e=14,4$ см в плоскости изгиба по отношению к оси сечения. Отношение длины площадки скальвания к эксцентриситету составляло $l_{\text{ск}}/e=3,8$.



Рис. 28. Сборка треугольных клеенных ферм

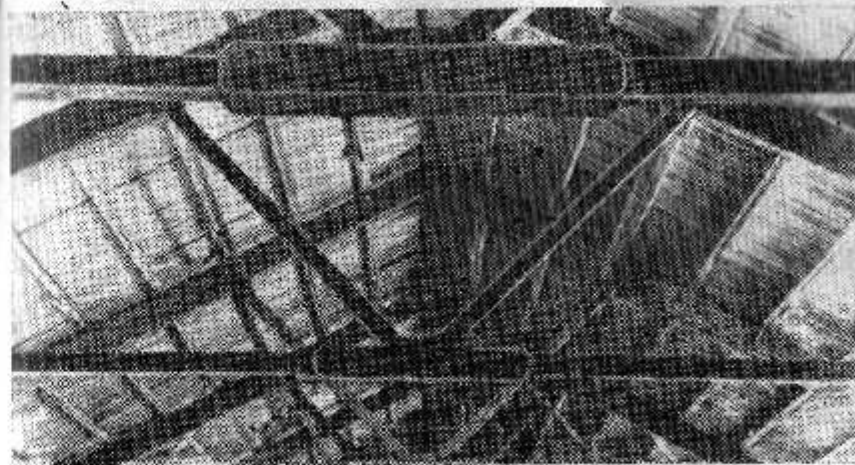
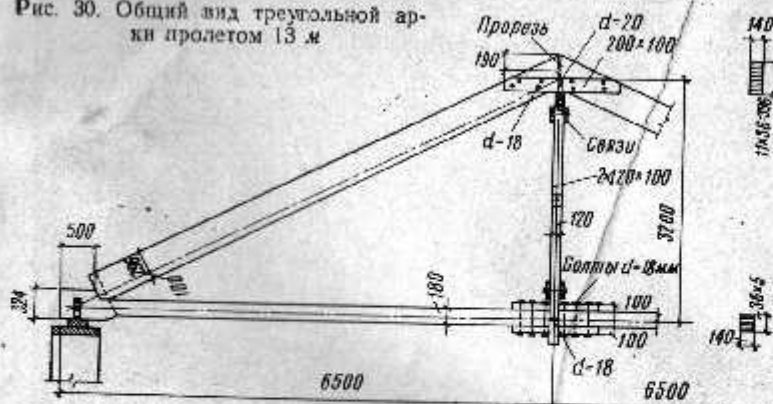


Рис. 29. Общий вид покрытия с треугольными клеенными фермами

Рис. 30. Общий вид треугольной арки пролетом 13 м



Опорный узел арки был выполнен в виде лобового упора, аналогичного опорному узлу рассмотренной ранее фермы $l = -15$ м. В нижнем поясе накладкистыка на болтах были расположены сверху и снизу, а не с боков для удобного крепления средней стойки. В коньковом узле крепление стойки было осуществлено на подвеске из полосовой стали.

Примером применения клесных треугольных арок может служить конструкция покрытия кинотеатра в Северодвинске.

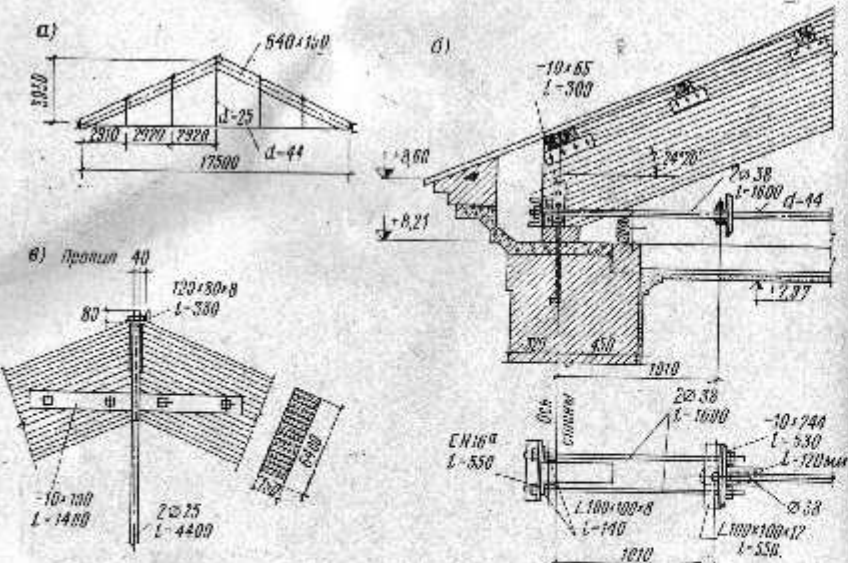


Рис. 31. Трехшарнирные клееные арки пролетом 17,5 м
 а — схема арки; б — деталь опорного узла; в — деталь ковыкового узла

летом 17,5 м. Арки в покрытии были расставлены через 2,75 м и несли нагрузку от кровли и подвесного потолка, утепленного фибролитом (рис. 31). Элементы поясов прок сечением 640×150 мм были склеены на средневодостойком казеино-цементном клее с запрессовкой гвоздями. На рис. 32 показаны изготовленные элементы верхнего пояса длиной 10 м. Нижний пояс арки из круглой стали диаметром 44 мм был снабжен муфтами для подтяжки.

До установки арок на место из-за временной консервации строительства элементы верхних поясов находились в течение года на открытом воздухе без достаточного укрытия. Поэтому влажность поверхностного слоя древесины доходила до 63% вместо требуемой нормами 15%. Прочность kleевых швов, которая при изготовлении верхних поясов была выше 60 кгс/см^2 , снизилась до $26-28 \text{ кгс/см}^2$. Это было установлено испытаниями на скальвание стандартных образцов взятых из верхних поясов арок, установленных к тому времени в покрытии находившихся уже под нагрузкой. Поворотными статическими расчетами были установлены перенапряжения при скальвании. Для обеспечения продолжения надежной эксплуатации конструкций необходимо было снизить расчетную нагрузку, что и было достигнуто за счет передачи части ее на новые конструкции, установленные в промежутке между существующими.

Из приведенного примера следует, что в тех случаях, когда на строительстве не может быть обеспечено хранение kleеных элементов с защитой от увлажнения, следует исключить применение неводостойких и средневодостойких kleев, как, например, казеино-цементного, мочевиноформальдегидного и др.

В настоящее время арки находятся в эксплуатации уже 18 лет и состояние их удовлетворительное. Сохранности арок способствовало снижение нагрузки на них, а также то обстоятельство, что царапинно-цементный клей при высыхании имеет свойство частично восстанавливать свою прочность [8].

В МИСИ в 1967 г. разработаны kleеные фермы треугольного очертания [7], представляющие собой простейшую безметальную комбинированную систему, аналогичную изображенной на рис. 30 ГипроНИИСельхоз совместно с ЦНИИСКом в 1971 г. разработали типовые проекты трехшарнирных арок с kleеными

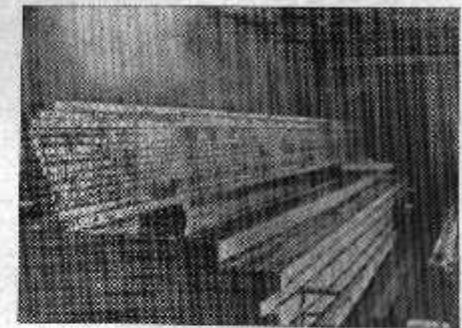


Рис. 32. Клесные элементы верхнего пояса арки длиной 10 м до сборки

прямолинейными поясами и стальными затяжками для пролетов 9, 12 и 18 м [29]. Конструкция арок аналогична приведенной на рис. 31.

2. Склейка под углом

В kleеном пакете отдельные элементы (доски и бруски) жестко соединены между собой kleевыми швами. При высыхании и увлажнении древесины жесткость этого соединения препятствует свободной усушке или разбуханию склеенных элементов.

При значительных колебаниях влажности древесины, а также при несогласованном взаимном расположении годовых слоев внутренние напряжения в досках или брусьях могут превысить предельную прочность древесины и клея и привести к разрушению конструкции.

Вопрос о прочности kleевых соединений для случая, когда направления волокон в досках или брусьях совпадают, достаточно изучен. СНиП установил предельные толщины склеиваемых элементов, рекомендовал согласованное расположение годовых слоев в склеиваемых пакетах, определил предельную влажность древесины и т. п. Что касается вопроса склейки под углом, т. е. случаев, когда направление волокон склеиваемых досок не совпадает, то сведения о прочности таких соединений весьма ограничены. Жесткий kleевой шов не допускает сдвигов, и в нем, независимо от наличия нагрузки, возникают при усушечных деформациях внутренние напряжения. Наибольшие напряжения — в деталях, склеенных под углом 90°. В СНиП допускается возможность склейки под углом и приводятся ограничения ширины склеиваемых досок.

В некоторых соединениях, склеенных под углом, помимо продольных сил действуют крутизные моменты. Данных о работе таких соединений и их несущей способности очень мало. Автором были проведены некоторые исследования в этой области, а также обобщены работы других авторов с целью выявления несущей способности этих соединений, пределов прочности и расчетных сопротивлений в kleевых швах для использования в опи- сываемых ниже конструкциях.

В этой области проведены следующие работы:

1. В 1948 г. в ЦНИИСК под руководством д-ра техн. наук А. Б. Губенко были проведены экспериментальные исследования образцов из трех досок, склеенных под углом 45 и 90° [9]. В табл. 16 приведены размеры и количество испытанных образцов.

Экспериментальные работы состояли в многократном вымачивании и высушивании kleевых деревянных образцов и в дальнейшем испытании их на скальвание до разрушения. Образцы были изготовлены из двух партий древесины сосны с объемными весами 575 и 478 кг/м³. Доски в образцах были тангенциальной

распиловки; при склейке годовые кольца располагали выпуклостью к шву с целью получить наибольшие усилия в нем от коробления элементов при вымачивании. Образцы вымачивались до 30% влажности, а затем высушивались до первоначального зеса.

В течение года образцы прошли от 10 до 20 циклов испытаний.

Результаты получились благоприятные, большинство образцов полностью сохранилось. Нарушение kleевых сопряжений наблюдалось лишь в образцах под углом 90° при толщине досок 55 мм и ширине 115 и 200 мм (см. образцы № 4 и 6 в табл. 16).

В таких же элементах, но со сделанными в них пропилами, нарушения прочности kleевых швов не наблюдалось.

Таблица 16

Образцы, испытанные в б. ЦНИИС (1948 г.)

Образцы	№ образца	Размеры в мм			Количество в шт.
		a	b	c	
Под углом 90°					
	1	150	75	20	10
	2	90	75	55	10
	3	230	115	20	10
	4	200	115	55	10
	5	400	200	20	10
	6	400	200	55	10
Под углом 45°					
	7	75	75	55	10
	8	125	115	20	10
	9	115	115	55	10
	10	210	200	20	10
	11	210	200	55	10

Таблица 17

Результаты испытаний образцов марок I—IV

Марка образцов	Прелес прочности сопряжения при скальвании в кг/см ² при угле скальвания элементов						
	0	5°	10°	15°	25°	30°	45°
I	94,4	68,5	87	83,1	70,8	64,9	39,4
II	120,5	140,7	119,7	142,5	109,4	116,1	68
III	117,2	122,2	131,8	128,7	104,8	109,7	76
IV	129,7	145	125,5	128,7	112	90,5	67,3

Проведенные работы представляют значительный интерес; однако по данным этих экспериментов все же нельзя сделать какие-либо выводы о пределе прочности такого рода соединений при различных углах склеивания элементов.

2. В 1952—1953 гг. в Ленинграде инж. Г. Л. Березиным была проведена работа на тему «Некоторые вопросы прочности kleевых сопряжений при склеивании элементов под углом» [10]. Автор изучил влияние на прочность kleевого соединения угла, под которым сопрягаются элементы, а также влияние количества kleевых швов в сопряжениях.

Исследование было проведено только для образцов из ели, склеенных под углами от 0 до 45°. В работе не приводятся данные о влиянии увлажнения и усушки древесины элементов на прочность kleевых швов. Г. Л. Березину удалось установить, что прочность склеенных образцов при углах от 0 до 15° практически не меняется и начинает снижаться только при больших углах.

В табл. 17 приведены результаты испытаний образцов марок I, II, III, IV с размерами плоскости скальвания 120×120, 150×150; 180×180 и 200×200.

По данным экспериментов [10] была выведена формула зависимости предела прочности kleевого сопряжения от угла склеивания:

$$\tau_a = \tau_0 [1 - 0,014 (\alpha - 15^\circ)],$$

где τ_0 — предел прочности при угле 0°;

α — угол сопряжения склеенных элементов.

Было также установлено, что несущая способность много-плоскостного сопряжения пропорциональна числу плоскостей (швов) склеивания и что для сухих образцов абсолютные значения прочности с одинаковым количеством швов зависят от геометрических размеров образцов и с увеличением размера прочность образца снижается.

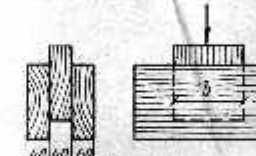
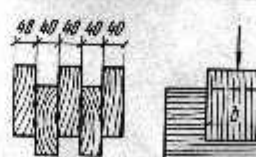
3. В НИИ-200 автор провел исследование образцов узлов из досок, изготовленных в натуральную величину с сопряжением элементов под углом 90°.

Образцы в количестве 13 шт. были изготовлены двух типов — с двумя и с четырьмя плоскостями склейки. 5 образцов были склеены на казеино-цементном kleе и 8 — на kleе КБ-3.

Образцы на kleе КЦ вымачивались в течение суток, затем высушивались до первоначальной влажности и испытывались на скальвание до разрушения. Образцы на водостойком kleе подвергались 6-суточному вымачиванию до 27—28% влажности, а затем высушивались до первоначальной влажности (10—11%) в течение двух месяцев. После двух циклов таких испытаний образцы были испытаны на скальвание до разрушения.

В табл. 18 приведены результаты этих испытаний и форма испытанных образцов.

Таблица 18
Результаты испытания образцов на kleе КЦ и на водостойком kleе

№/н	Схема узла	Марка kleя	Размеры в мм		Предел прочности на скальвание при $W = 15\%$
			a	b	
1 2 3 4 5		КЦ	130	140	44,4
			140	140	36,8
			120	120	37,2
			120	120	44,1
			120	120	45,4
6 7 8 9 10		КБ-3	130	142	38,4
			130	145	34,8
			130	145	31,4
			115	110	39,5
			115	115	34,7
11			193	182	33
12			195	182	37,7
13			190	192	38,4

Примечание. Характер разрушения: скальвание по древесине с отрывом волокон.

Образцы после двух циклов испытаний не имели каких-либо повреждений по kleевым швам. Проведенные в дальнейшем испытания прочности этих образцов показали, что средний предел их прочности на скальвание равен 38,1 кгс/см². На рис. 33 показан характер скальвания образцов, которое происходило попрек волокон, в основном по древесине.

В 1956 г. инженерами Д. Б. Купером и Л. М. Структом [11] были проведены испытания образцов, склеенных под углом от 0 до 90° с градацией через каждые 10°. Образцы имели размеры 71×33 мм и были склеены на смоляном kleе марки «Аэромит-300», площадь склеивания была одинаковой. Общий вид испытательной установки показан на рис. 34.

Образцы были изготовлены с различными углами наклона, но с одинаковой площадью склеивания. Зависимость между разрушающей нагрузкой и углом склеивания представлена на рис. 35.

Если величины разрушающих нагрузок, полученные по этому графику для каждого угла, разделить на площадь склеивания,

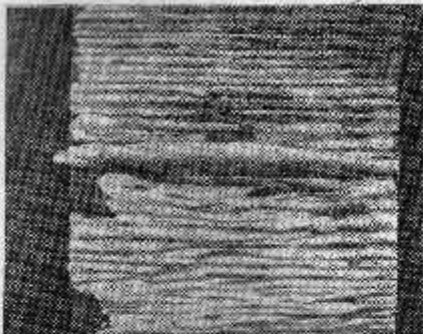


Рис. 33. Вид образца при склывании вдоль волокон

результатам испытаний упомянутых исследователей, а также результаты испытаний автора для угла 90°.

Построенная по этим точкам кривая, показанная сплошной линией, дает возможность с некоторым приближением судить об изменениях предела прочности на склывание по kleевым швам при изменении углов склейки в сопряжениях.

В СНиП II-В.4-62 для склывания вдоль волокон в соединениях установлено расчетное сопротивление, равное 24 кгс/см², что составляет 40% временного сопротивления, равного 60 кгс/см². Для практических расчетов элементов, склеенных под углом, необходимо знание расчетных сопротивлений kleевых швов, работающих в этих условиях. В связи с этим представляется возможным использовать упомянутое выше соотношение между расчетным и временным сопротивлением склыванию в виде коэффициента 0,4.

Если величины временных сопротивлений, представленные на рис. 36, помножить на коэффициент 0,4, можно получить предварительные данные о величинах расчетных сопротивлений соединений, склеенных под углом. На том же графике (ниже) показана соответствующая пунктирная кривая.

Клеенные балки с перекрестной стенкой. Клееные балки прямоугольного и двутаврового профилей, получившие довольно широкое распространение в строительстве, изготавливаются в виде пакета досок, склеенных по пластям. Длина таких балок ограничивается

равную ($7,11 \times 5,83$) 41,4 см², можно получить величины разрушающих напряжений. Эти данные использованы для построения графика на рис. 36.

Экспериментальные данные об изменении пределов прочности склейки при различных углах сопряжений, полученные Г. Д. Березиным, и данные испытаний Купера и Структа близки по своим значениям. На рис. 36 нанесены величины пределов прочности для углов от 0 до 90° по ре-

ально пролетом 12 м, так как с его увеличением значительно увеличивался их собственный вес.

Если применить в балках перекрестную kleенную стенку, то такого вида конструкции будут иметь значительно меньший вес и при их изготовлении можно получить экономию в расходе пиломатериала порядка 30%. Для перекрестной kleенной стенки можно использовать более доступный короткомерный пиломатериал, отнесенный по качеству к II и III категориям.

Актуальность применения балок с перекрестной kleенной стенкой обусловлена также дефицитом водостойкой и бакелизированной фанеры, которую можно использовать в виде стенок подобных балок.

В Финляндии известны примеры применения двутавровых балок с перекрестной стенкой для пролетов до 24 м. В этих

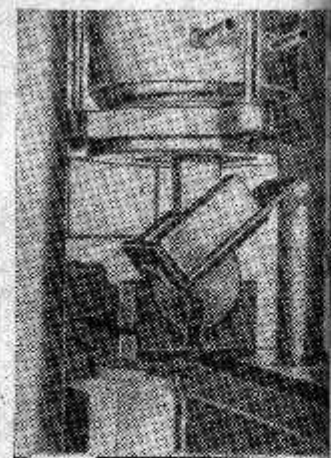


Рис. 34. Общий вид установки для испытания образцов, склеенных под углом



Рис. 35. Кривая разрушающей нагрузки при испытании образцов, склеенных под углом

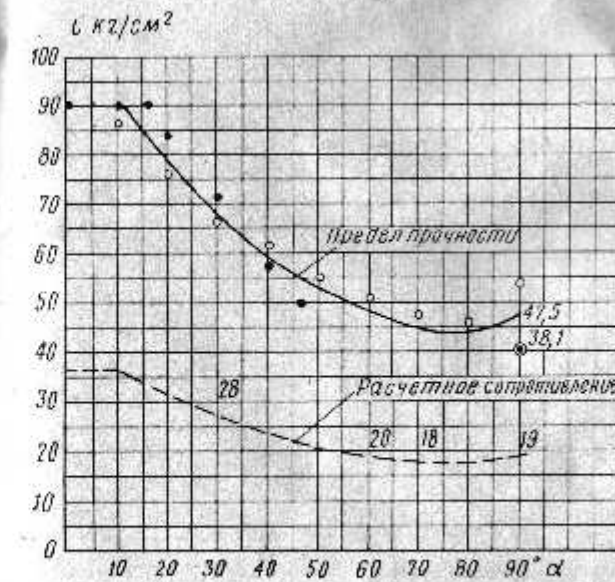


Рис. 36. График изменения предела прочности и расчетного сопротивления kleевого соединения в зависимости от угла склейки

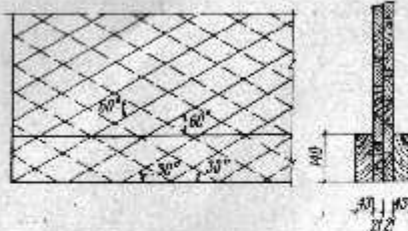
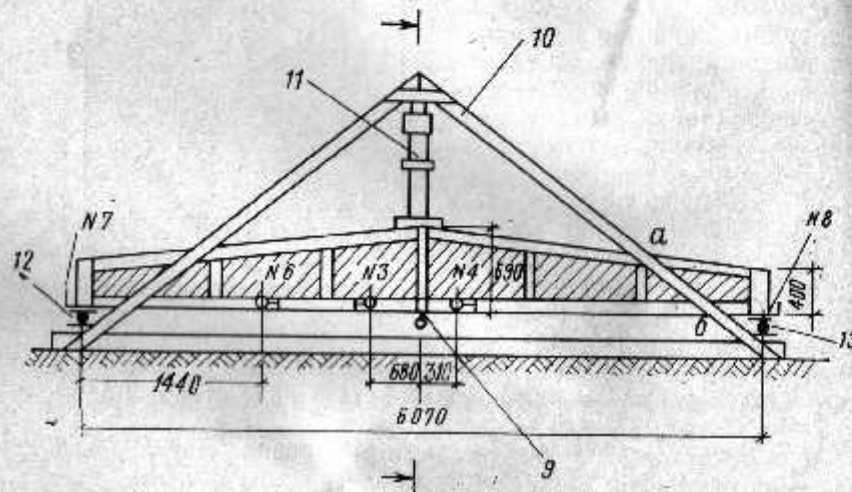


Рис. 37. Деталь склейки стенки с поясом балки двутаврового профиля

Рис. 38. Схема установки для испытания балки

7, 8 — индикаторы на опорах; 3, 4, 6 — индикаторы, поставленные с видимой стороны; и 1, 2, 5 — то же с обратной стороны; 9 — прогибомер; 10 — металлическая арка; 11 — 100-т домкрат; 12 — ведомая опора; 13 — подвижная опора



балках перекрестная стенка выполнена на гвоздях, а поясы изготовлены из досок, склеенных по длине на «ус». Для проверки полученных прочностных характеристик был изготовлен и испытан опытный образец балки двутаврового профиля с перекрестной стенкой. В этой балке доски стенки приклеены к поясам под углом 30°, а между собой — под углом 60°.

Так как поясные доски являются элементами, работающими на растяжение или сжатие, они были приклейны к стенке балки под углом 30°, при котором расчетное сопротивление склонению выше, чем при угле 60° (рис. 37).

Расчетное сопротивление склоныванию для угла 30° по графику равно 28 кгс/см², но вместе с тем, согласно СНиП, оно не должно превышать 24 кгс/см². Для досок стенки, склеенных под углом 60°, расчетное сопротивление по графику может быть принято равным 19 кгс/см².

В аналогичных «гвоздевых» балках с перекрестной стенкой с углом наклона 45° считается, что стенка работает только на восприятие сдвигающих усилий, а нормальные усилия от изгибающего момента воспринимаются поясными досками. При клеевом соединении досок стенки жесткость ее значительно увеличива-

ется и представляется возможным учесть ее работу на изгибающие моменты при определении несущей способности балки. Здесь при определении момента инерции балки стенка балки была включена в расчет на изгиб с понижающим коэффициентом, равным отношению модулей упругости при растяжении вдоль волокон и при растяжении под углом 30° к волокнам. По данным д-ра техн. наук Н. Л. Леонтьева модуль упругости для сосны при растяжении вдоль волокон составляет 149 400 кгс/см², а под углом 30° — 45 600 кгс/см² [12].

Понижающий коэффициент может быть принят равным

$$k = \frac{E_{30}}{E_0} = \frac{45\,600}{149\,400} = 0,305.$$

Испытание клееной балки с перекрестной стенкой пролетом 6,07 м.

Опытный образец балки пролетом 6,07 м имел высоту в середине 69 см, а на опорах — 40 см. Поясные доски имели сечение 140×43 мм, а доски стенки — 21×90 мм (рис. 38).

Для испытания балки была выполнена специальная установка. В вертикальной плоскости балка была раскреплена — в середине пролета и в точках *a*, *b* (см. рис. 38). Загружение производилось 100-т домкратом ступенями через 1 т.

Для замера прогиба в середине пролета был поставлен прогибомер с ценой деления 1/1000 мм и на опорах два индикатора с ценой деления 1/100 мм для замера осадки опор. Для опреде-

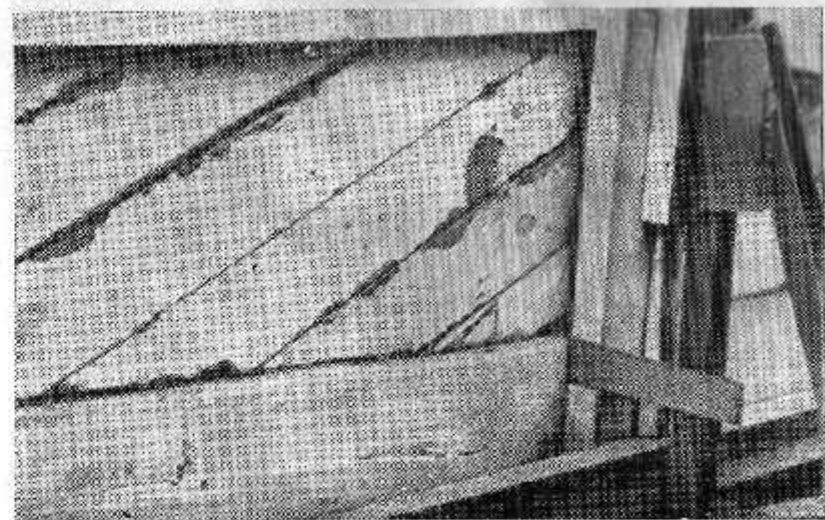


Рис. 39. Разрыв нижнего пояса при испытании балки в середине пролета

Напряжения в нижнем поясе балки при нагрузке 10 390 кгс

№ п/п	Величина давления в кгс	Прогиб в мм	Осадка опор в мм	Действительная величина прогиба в мм	Характер разрушения	
1	—	—	0	0	—	—
2	2 240	4,9	0,015	4,85	—	—
3	3 360	6,65	0,03	6,52	—	—
4	4 480	7,96	0,025	7,92	—	—
5	5 480	9,6	0,025	9,58	—	—
6	6 470	11,05	0,04	11,01	—	—
7	7 460	12,2	0,05	12,15	—	—
8	8 460	13,6	0,035	13,57	—	—
9	9 420	15,2	0,045	15,16	—	—
10	10 390	16,5	0,04	16,46	Появление трещины в середине пролета. Откалывание нижнего пояса с одной стороны	—
11	11 350	30	—	30	—	—
12	12 310	32	—	32	Разрыв нижнего пояса с обеих сторон и разрыв стекки (см. рис. 39)	—

Таблица 20

Деформации нижнего пояса балки

№ п/п	Нагрузка в кгс	Удлинение в мм индикатора		
		индикатор 3	индикатор 4	индикатор 6
1	0,00	0,00	0,00	0,00
2	2 240	0,10	0,01	0,01
3	3 360	0,11	0,03	0,02
4	4 480	0,13	0,05	0,02
5	5 480	0,14	—	0,02
6	6 470	0,17	—	0,03
7	7 460	0,17	0,11	0,035
8	8 460	0,20	0,12	0,035
9	9 420	0,20	0,15	0,05
10	10 390	0,22	0,16	0,13

Таблица 21

Величина модулей упругости древесины на растяжение в кгс/см²

E _{лев}	E _{прав}
92 300	112 250
83 300	133 400
108 500	90 500
102 900	90 500
E _{лев} = 96 500	E _{прав} = 106 662

ления деформаций нижнего пояса было поставлено 6 индикаторов — по три с каждой стороны балки. Места расположения приборов показаны на рис. 38.

Величина прогибов балки указана в табл. 19, а деформации нижнего растянутого пояса даны в табл. 20.

При испытании было зафиксировано появление трещин в нижнем поясе при нагрузке 9,42 т. Разрушение балки произошло от разрыва нижнего пояса и стенки балки при нагрузке 12,3 т. На рис. 39 показан характер разрушения. После испытания были определены также величины предела прочности древесины на растяжение на 8 образцах, взятых из правой и левой половин балок. Средняя арифметическая величина $M = 484 \text{ кгс}/\text{см}^2$; среднее квадратичное отклонение $\sigma = \pm 23,8$; вариационный коэффициент $v = 4,92$.

Для нахождения действительных напряжений в нижнем поясе балки были определены модули упругости древесины в соответствии с методикой, установленной ГОСТ 6336—52. Образцы были отобраны из досок с правой и левой сторон балки после ее испытания. Величины модулей упругости приведены в табл. 21. Далее были выполнены необходимые статические расчеты балки, приведенные ниже:

расчетный изгибающий момент

$$M = R_p W \frac{P l}{4}$$

момент инерции сечения в середине пролета

$$I = \frac{4,2 \cdot 69^3}{12} \cdot 0,305 + \left[(14 \cdot 4,3 \cdot 27,5^2 \cdot 2) + \frac{4,3 \cdot 2 \cdot 14^3}{12} \right] 2 = \\ = 221 121 \text{ см}^4;$$

момент сопротивления

$$W = \frac{I}{h/2} = \frac{221121}{34,5} = 6409 \text{ см}^3;$$

расчетная нагрузка в виде сосредоточенного груза

$$P_{\text{расч}} = \frac{W R_p}{l/4} = \frac{6409 \cdot 100}{607/4} = 4225 \text{ кгс};$$

нормативная нагрузка была принята равной $\frac{4225}{1,3} = 3250 \text{ кгс}$, где 1,3 — средний коэффициент перегрузки; среднее значение модуля упругости по данным табл. 21

$$E_{\text{ср}} = \left(\frac{96500 + 106662}{2} \right) = 101081 \text{ кгс/см}^2;$$

прогиб теоретический

$$f = \frac{3250 \cdot 607^3}{48 \cdot 221121 \cdot 101081} = 0,73 \text{ см};$$

прогиб при разрушающей нагрузке

$$f = \frac{10390 \cdot 607^3}{48 \cdot 221121 \cdot 101081} = 2,19 \text{ см.}$$

Проверка прочности kleевых швов поясных досок.

Сдвигающее усилие на единицу длины пояса в опорной панели:

$$T = \frac{Q S}{I}; Q = \frac{P_{\text{расч}}}{2} = \frac{4225}{2} = 2112,5 \text{ кгс};$$

$$S = 14 \cdot 4,3 \cdot 2 \cdot 13 = 1560 \text{ см};$$

$$I = 2 (14 \cdot 4,3 \cdot 2 \cdot 13^3) + 2 \left(\frac{4,3 \cdot 2 \cdot 14^3}{12} \right) = 44540 \text{ см}^4;$$

$$T = \frac{21125 \cdot 1560}{44540} = 73,7 \text{ кгс на 1 пог. см.}$$

Напряжения в kleевых швах

$$\tau = \frac{73,7}{(14 \cdot 2) 0,5} = 5,27 \text{ кгс/см}^2 < R_{\text{ск}} = 24 \text{ кгс/см}^2$$

($R_{\text{ск}} = 24 \text{ кгс/см}^2$ — расчетное сопротивление скальванию в соединениях, СНиП II-B.4-72, п. 6, табл. 8).

По рис. 36 расчетное сопротивление для угла $\alpha = 30^\circ$ несколько выше и равно 28 кгс/см^2 . Коэффициент 0,5, согласно СНиП, учитывает возможность непроклеек.

Проверка прочности стенки на срез в опорной панели (рис. 40):

$$Q = 2112,5 \text{ кгс};$$

$$I = \frac{40^3 \cdot 4,2}{12} = 0,305 + \left[(12 \cdot 4,3 \cdot 2 \cdot 13^3) + \frac{2 \cdot 4,3 \cdot 14^3}{12} \right] 2 = \\ = 71220 \text{ см}^4;$$

$$S = (14 \cdot 4,3 \cdot 2 \cdot 13) + 20 \cdot 4,2 \cdot 10 \cdot 0,305 = 1823 \text{ см}^3;$$

$$\tau = \frac{Q S}{I b} = \frac{2112,5 \cdot 1823}{71220 \cdot 4,2} = 12,9 \text{ кгс/см}^2.$$

Временное сопротивление по перерезыванию волокон под углом 90° , по данным [6]:

Курдюмова	432—508 кгс/см ²
Изода	341 *

Данных о сопротивлении по перерезыванию древесины под углом 30° не имеется, однако с уменьшением угла среза до 0 уже произойдет скальвание, которое для древесины сосны равно $62—72 \text{ кгс/см}^2$.

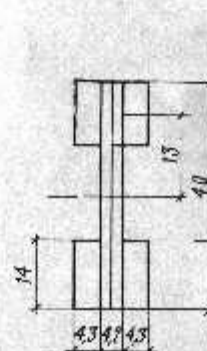


Рис. 40. Поперечный разрез балки на опоре

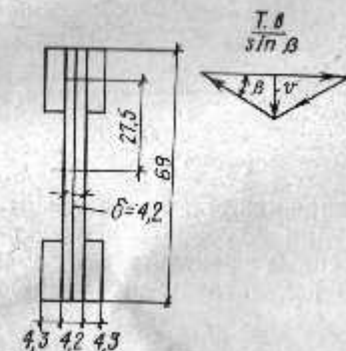


Рис. 41. Поперечный разрез балки в середине пролета

Полученная по расчету величина напряжения при срезе, равная $12,9 \text{ кгс/см}^2$, не превышает указанных выше значений.

Проверка устойчивости стенки в середине длины балки (рис. 41):

$$I = 221121 \text{ см}^4;$$

$$S = (14 \cdot 4,2 \cdot 2 \cdot 27,5) + \left(34,5 \cdot 4,2 \frac{34,5}{2} \right) 0,305 = \\ = 3310 + 2560 \cdot 0,305 = 3992 \text{ см}^3;$$

$$T = \frac{Q S}{I} = \frac{2112,5 \cdot 3992}{221121} = 38,1 \text{ кгс/см};$$

$$V = \frac{Tb}{2 \lg \beta} = \frac{39,1 \cdot 12}{2 \cdot 0,577} = 397 \text{ кгс}; \beta = 30^\circ;$$

где β — ширина доски стенки;

Таблица 23

Сопоставление экспериментальных
и теоретических величин напряжений и деформаций

№ серии (см. рис. 38)	Напряжения и погонные пояса при разрушающей нагрузке 12,3 т					Величина взвешенной нагрузки Р, т	Прогибы балки			
	по расчету				по данным испытаний, в мм	по данным расчета, в мм				
	изгибающий момент в кгс/см	момент инерции в см ⁴	момент сопротивления в см ³	σ, кгс/см ²						
1-1	266	14 500	173 140	5 550	261	Нормативная, $P = 3,25$ $P = 10,39$ (См. табл. 19)	6,72	7,1		
2-2	264	16 820	199 340	6 060	278		16,5	21,9		
3-3	178	8 870	116 540	4 340	205		—	—		

$$F = \frac{b b}{\sin \beta} = \frac{12 \cdot 4,2}{0,5} = 101 \text{ см}^2,$$

$$\lambda = \frac{41}{0,289 \cdot 4,2} = 33,9 < 120;$$

$$\varphi = 0,90; \sigma = \frac{397}{0,9 \cdot 101} = 4,36 \text{ кгс/см}^2.$$

Напряжения незначительны.

В табл. 23 сопоставлены величины напряжений и деформации, полученные в результате испытаний и подсчитанные теоретически.

По результатам испытаний можно сделать следующие выводы:

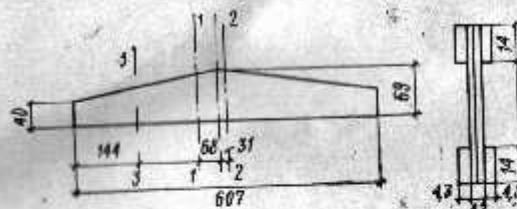


Рис. 42. Контуры и поперечный разрез балки, $l = 6,07 \text{ м}$

1. Величины напряжений, по данным испытаний и по расчету, близки между собой. Момент инерции стенки балки, при определении которого был введен снижающий коэффициент, равный соотношению модулей упругости при растяжении под углами 0 и 30° :

$$k = \frac{E_{30}}{E_0} = \frac{45 600}{149 400} = 0,305,$$

с достаточной точностью характеризует несущую способность стенки балки, склеенной с поясами под углом 30° .

Данные о прогибах показывают, что фактическая жесткость ее несколько выше, чем жесткость, учтенная в расчете, следовательно, принятый коэффициент $k = 0,305$ не завышен.

Напряжения в kleевых швах между поясными досками и стенкой не превышают расчетных, приведенных в СНиП и на рис. 36.

Опыт применения балок. Проведенные испытания позволили перейти к применению балок такого типа для покрытия одного из цехов комбината производственных предприятий в Клину.

Балки длиной 11,5 м с высотой на опоре 50 см и в середине пролета 1,30 м были изготовлены на месте строительства в количестве 8 шт. с запрессовкой винтовыми зажимами и установлены в покрытии цеха с утепленной кровлей.

По имеющимся данным, состояние балок после 14 лет эксплуатации было вполне удовлетворительным. Общий вид балок перед установкой показан на рис. 43. В 1968 г. в связи с реконструкцией комбината цех был разобран.

Расход древесины на изготовление одной балки двутаврового профиля с перекрестной стенкой пролетом 12 м при расчетной нагрузке 700 кгс/м составляет 0,81 м³. Для изготовления аналогичной двускатной балки прямоугольного профиля в виде пакета досок требуется 1,2 м³.

Таким образом, экономия древесины при применении балок с перекрестной стенкой составляет 32%. Трудоемкость изготовления kleевых балок с перекрестной стенкой примерно на 20% выше, чем балок пакетного типа. Однако следует учитывать, что

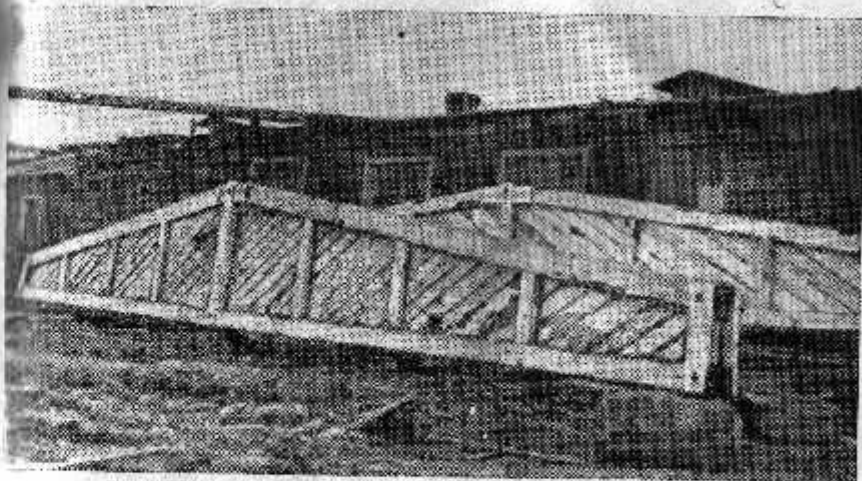


Рис. 43. Kleевые балки пролетом 11,5 м перед установкой в покрытии цеха

с увеличением пролетов балок экономия древесины будет увеличиваться, а влияние трудоемкости изготовления — снижаться.

Возможен и другой вариант конструкции — склейки досок стенки под углом 30° . В этом случае приклейка стенки к поясным доскам происходит под углом 15° (рис. 44), при котором прочность kleевых швов близка к прочности швов при продольном склеивании (см. рис. 36). Можно полагать, что несущая способность такой балки будет несколько выше.

Существенное влияние на прочность kleевых швов оказывает ширина досок стенки. Ее следует выполнять из узких досок шириной не более 90—120 мм или досок более широких с продольными пропилами.

Способ склейки стенки под углом может быть использован и для рамных конструкций. В настоящее время применяются kleевые рамы из досок — двух типов: первый — из двух гнутоклеенных блоков, склеиваемых из тонких досок толщиной 20—22 мм, и второй — из четырех прямолинейных элементов, ригеля и стоек, стыкуемых в местах сопряжения с помощью фанерных накладок [13]. Первый вариант весьма трудоемок в исполнении звиду большого количества kleевых швов и необходимости гнутья досок. Второй вариант, в котором прямолинейные элементы собираются из более толстых досок 35—45 мм, менее трудоемок, однако требует устройства стыковых пакладок из бакелизированной фанеры в узлах. Предлагаемая конструкция рамы с kleеною перекрестной стенкой, позволяющей получить жесткий монолитный карнизный узел, может быть применена в опытном порядке наряду с обоими вариантами трехшарнирных kleевых рам.

На рис. 45 представлено проектное предложение в виде схемы трехшарнирной рамы со стенкой из трех слоев досок, склеенных между собой. При уклоне верхнего пояса $1/10$, что равно $\sim 6^\circ$, приклейка стенки к поясным доскам производится под углом 42° . Оба наружных слоя расположены параллельно друг другу, средний же слой расположен по отношению к ним под углом 30° .

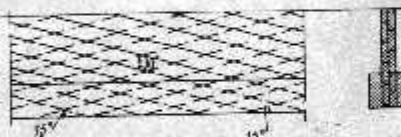


Рис. 44. Деталь склейки стенки балки с поясами под углом 15°

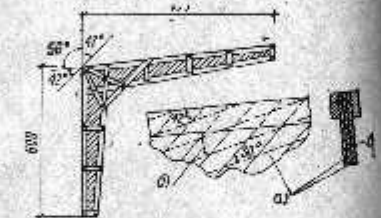


Рис. 45. Схема трехшарнирной рамы со стенкой из трех слоев досок

a — наружные слои стенки, приклейенные к поясам под углом 42° ; b — внутренний слой стенки, склеенный с наружными слоями под углом 30°

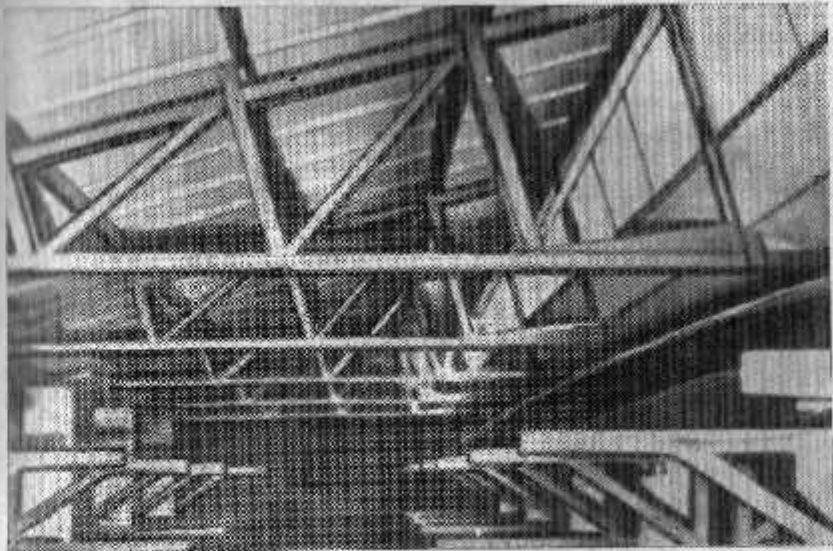


Рис. 46. Покрытие из kleеных дощатых ферм пролетом $l=5,3$ м

Применение трехслойной стенки обусловлено необходимостью приклейки поясных досок ригеля и стойки под одинаковыми углами. Расчетное сопротивление скальванию kleевых швов может быть принято для угла 42° равным $23 \text{ кгс}/\text{см}^2$ (см. рис. 36).

Узловые соединения kleевых дощатых ферм. Целью этого раздела работы было определение несущей способности kleевых соединений дощатых ферм, в которых помимо продольных сил действуют крутящие моменты в результате изгиба стержней, жестко соединенных в узлах.

Нижеприводятся некоторые данные о работах, выполненных рядом авторов в этой области. Купер и Структ (Англия) провели испытания kleевых ферм с элементами решетки, склеенными под углом. На рис. 46 показана односкатная kleенная ферма пролетом 5,3 м, несущая покрытие лодочного сарая Дурхэмского университета. Фермы были склеены из гемблока (хвойная порода) на смоляном kleе «Аэrolит-300» из досок $7,5 \times 3,75 \text{ см}$ и брусков $5 \times 5 \text{ см}$. Запрессовка выполнялась гвоздями по три гвоздя на узел. Через 8 ч после склеивания kleя гвозди были удалены.

На рис. 47 показана ферма пролетом 8 м с параллельными поясами, склеенная из досок сечением $76 \times 38 \text{ мм}$. Стойки и раскосы фермы были приклесны к поясам под углами 90 и 40° . Ферма была испытана нагрузкой $148,5 \text{ кг}$ на 1 ног. м. При увелечении нагрузки в 1,3 раза началось разрушение kleевых швов в местах крепления решетки к поясам, упор фермы.

Предел прочности на скальвание, по данным Купера и Структа, составлял $\frac{1}{\alpha}$ предела прочности, полученного при испытании kleевых швов в лабораторных условиях для этих же углов скленивания. По графику (рис. 36) для угла 40° предел прочности равен $59 \text{ кгс}/\text{см}^2$, а для угла 90° — $47,5 \text{ кгс}/\text{см}^2$. Следовательно, предел прочности kleевых соединений при воздействии крутиящих моментов может быть принят для угла 40° равным $59 : 8 = 7,37 \cong 7,4 \text{ кгс}/\text{см}^2$, а для угла 90° — $47,5 : 8 = 5,94 \cong 5,9 \text{ кгс}/\text{см}^2$.

По мнению авторов испытаний, причиной разрушения оказался поворот элементов решетки при общей деформации фермы под нагрузкой.

В работе, проведенной Б. А. Архангельским и А. И. Павловым по применению kleеных конструкций в речном судостроении, была также экспериментально исследована прочность узловых соединений на кручение [14].

Авторы этой работы установили, что при площади склеивания, не превышающей 400 см^2 , можно выявить зависимость между ней и величиной разрушающего крутящего момента. Им была предложена формула

$$F = m \frac{M_{kp}}{155} ,$$

где F — площадь оклейивания в см^2 .

$M_{\text{ср}}$ — разрушающий крутящий момент в $\text{kgs} \cdot \text{cm}$;

t — коэффициент запаса (авторы, к сожалению, не приводят значения этого коэффициента).

Представляет определенный интерес выявить зависимость между площадью склейки и величиной скальзывающих напряжений при действии крутящего момента. Напряжения на скальвание могут быть определены по формуле

$$\tau = \frac{M_k}{W_k};$$

здесь W_n — полярный момент сопротивления, равный для квадрата $0,208 a^3$, где a — сторона квадрата (при одинаковой ширине склеиваемых элементов).

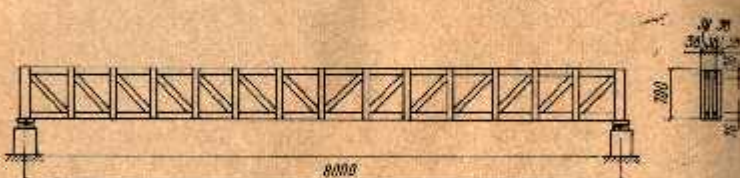


Рис. 47. Схема дощатой фермы с параллельными поясами пролетом 8 м

Пользуясь приведенной выше формулой, можно вычислить величины крутящего момента для значения площади склейки от 50 до 400 см²:

$$M_n = \frac{155 F}{E}.$$

График изменения величины предела прочности на скальвание τ в % в зависимости от площади склейки.

Площадь склейки $F, \text{ см}^2$	Величина предела прочности на скальвание τ , %
50	100
200	~95
400	~97

Авторы этих исследований, учитывая неравномерное восприятие усилия kleевым соединением, не рекомендуют применять площадь склейки более 400 см^2 , а размеры поверхностей склеивания в направлении действия сил — более 200 мм .

По мнению тех же авторов, а также д-ра техн. наук А. В. Губенко, влияние неравномерности восприятия усилия kleевыми швами может быть в некоторой степени устранено при применении пропилов в виде канавок шириной 5 мм и глубиной $\frac{1}{3}$ толщины элемента. Осуществление этого конструктивного мероприятия сложно, так как при склейке клей будет неизбежно проникать в канавки и склеивать их вновь. При применении пропилов можно рекомендовать в порядке эксперимента заполнять их перед склейкой каким либо нейтральным составом.

Работа угловых соединений характеризуется сложным напряженным состоянием. Помимо воздействия крутящего момента и отрывающих усилий само распределение скальвающих напряжений не носит равномерного характера, и прочность классового соединения зависит от его формы и величины. Точный расчет kleевых соединений под углом представляет известные затруднения. Ряд авторов в своих исследованиях базировались на небольших по объему экспериментальных работах; фундаментальных исследований на большем количестве образцов проведено не было.

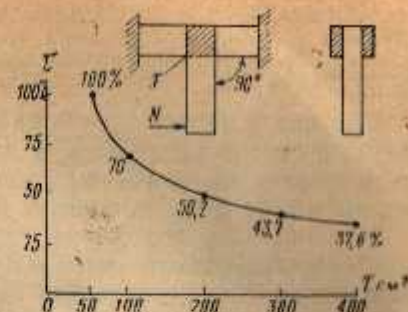


Рис. 48. График изменения величины предела прочности на сколывание τ в % в зависимости от площади скола.

Таблица 24

Прогиб фермы под нагрузкой

№	Нагрузка в кгс	Прогиб в мм	№	Нагрузка в кгс	Прогиб в мм
0	0	0	5	6 470	6
1	2 240	3,3	6	7 460	6,6
2	3 360	3,9	7	8 460	7,3
3	4 480	4,7	8	10 390	8,9
4	5 480	5,6	9	11 350	10,2

Для выявления некоторых данных о несущей способности kleевых узловых соединений дощатых ферм автор изготовил и испытал опытную ферму пролетом 6 м полигонального очертания.

Так как в задачу испытаний входило только исследование несущей способности узлов, а не фермы в целом, линейные размеры фермы для удобства работы были сокращены. Общий вид фермы и сечение ее элементов представлены на рис. 49.

Склейивание узлов фермы производилось на водостойком фенольформальдегидном клее КБ-3 при двусторонней намазке. Запрессовка осуществлялась стяжными болтами $d=12$ мм с усиленными шайбами. Ферма была установлена на две опоры, надлежащим образом раскреплена и нагружена в узлах верхнего пояса ящиками с песком. Узловую расчетную нагрузку определили исходя из несущей способности узла 2 (рис. 49), имеющего наименьшую площадь склейки под углом 86°. При определении несущей способности узла приняли напряжение на скальвание по kleевому шву поперек волокон — 5 кгс/см² при площади склейивания в двух плоскостях, равной 570 см²:

$$T = 570 \cdot 5 = 2850 \text{ кгс.}$$

В соответствии с этим по диаграмме единичной нагрузки для данной фермы установили узловую нагрузку:

$$P = \frac{2850}{1,15} = 2480 \text{ кгс.}$$

После загружения фермы не было обнаружено никаких нарушений прочности kleевых швов. Прогиб от расчетной нагрузки составил 3,6 мм.

В течение четырехлетнего периода ферма неоднократно обследовалась; и только через три года экспозиции на открытом

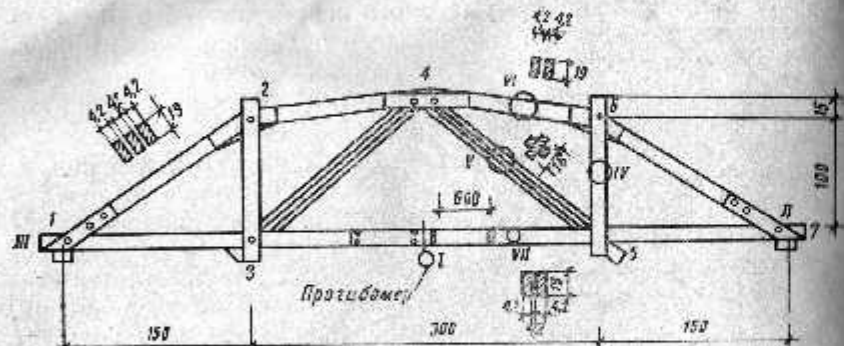


Рис. 49. Схема опытной фермы пролетом 6 м
1—7 — номера узлов; I — установка прогибомера; II—VII — номера индикаторов

воздухе было отмечено появление трещин в kleевых швах, в опорном узле. Еще через год ферма была разгружена и испытана до разрушения на новой установке — 100-т домкратом, установленным в коньковом узле фермы. При проведении испытаний деформации всех элементов измерялись индикаторами, а прогибы определялись прогибомером (см. рис. 49).

Из дрезесины фермы были изготовлены стандартные образцы для определения предела прочности на скальвание по kleевому шву. В результате испытания образцов был получен средний предел прочности на скальвание $t = 62,9$ кгс/см². Ниже приводится табл. 24 прогибы фермы под нагрузкой. После испытания из элементов фермы были отобраны образцы и определены модули упругости поясов, раскосов и стоек.

В табл. 25 приведены величины фактических напряжений в стержнях фермы и напряжений, полученных по расчету. При расчете фермы с жесткими узлами, 18 раз статически неопределенной (см. ниже), были учтены жесткости при постоянном модуле упругости, равном 100 000 кгс/см². В действительности фактические модули упругости (см. табл. 25) несколько отличаются от расчетного. Тем не менее расхождение в величинах нормальных напряжений сравнительно невелико.

Разрушение фермы произошло в результате скальвания kleевых швов в узловых соединениях. При нагрузке 13,32 т одновременно скололись узловые накладки в коньковом узле № 4 (рис. 50). В узлах № 2 и 6 произошло скальвание по kleевым швам парных стоек и промежуточных прокладок между досками верхнего пояса (рис. 51). В узлах № 3 и 5 скололись швы парных стоек и швы раскосов с образованием в раскосе (в узле № 5) продольной трещицы (рис. 52 и 53).

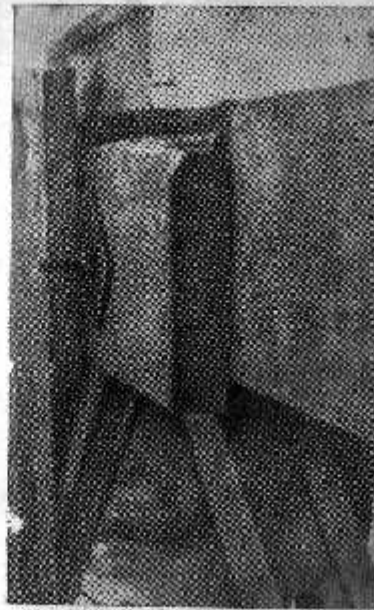
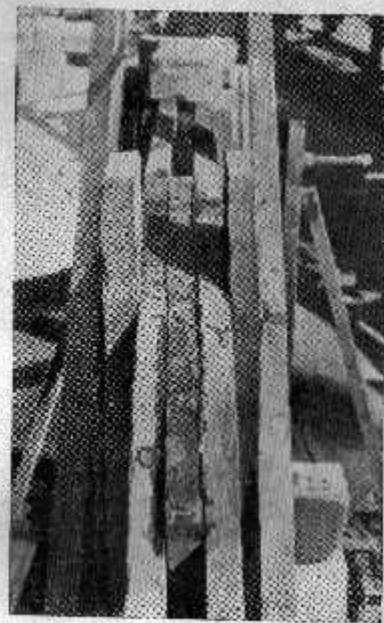
Величины скальвящих напряжений, при которых произошло разрушение kleевых швов в узлах фермы, были определены теоретически.

Опытную ферму, показанную на рис. 49, можно рассматривать как конструкцию с жесткими узлами, в которых возникают моменты, стремящиеся сместить плоскости склейвания одну относительно другой.

Таблица 25

Напряжения в элементах фермы при разрушающей нагрузке

№	Наименование элемента	Профиль	Площадь сечения $F, \text{ см}^2$	$t = \frac{\Delta l}{l}$	Напряжение в кг/кв.	
					Физическое $\sigma = E \cdot$	по расчету σ
1	Верхний лонг		159,6	$\frac{0,063}{35} = 0,0018$	$\sigma = 97,150 \times 0,0018 = 175$	191
2	Нижний пояс		139,6	$\frac{0,039}{35} = 0,0011$	$\sigma = 118,070 \times 0,0011 = 131,5$	103
3	Средний раскос		118	$\frac{0,046}{35} = 0,00131$	$\sigma = 165,880 \times 0,00131 = 138,5$	102
4	Стойка		124	$\frac{0,014}{31} = 0,00045$	$\sigma = 110,850 \times 0,00045 = 49,7$	37,4

Рис. 50. Скальвание узловых на-
кладок в коньковом узле фермы.
На фото виден торец смятишей-
ся зажима накладкиРис. 51. Вид фермы с торца. Вид-
но скальвание по классным швам
прокладки между поясами

Статический расчет фермы был выполнен на ЭВМ «НАИРИ-1» по программе Н-59, предназначенной для выполнения статических и динамических расчетов произвольных плоских стержневых систем. В программе реализован метод перемещений, применяемый для расчета кинематически неопределенных систем (с решением системы линейных уравнений ленточной структуры по Гауссу).

Канонические уравнения метода перемещений для решения данной 18 раз статически неопределенной задачи имеют вид:

- 1) $z_1 r_{11} + z_2 r_{12} + z_3 r_{13} + z_4 r_{14} + z_5 r_{15} + z_6 r_{16} + z_7 r_{17} + z_8 r_{18} + z_9 r_{19} + z_{10} r_{110} + z_{11} r_{111} + z_{12} r_{112} + z_{13} r_{113} + z_{14} r_{114} + z_{15} r_{115} + z_{16} r_{116} + z_{17} r_{117} + z_{18} r_{118} + R_1 p = 0;$
- 2) $z_1 r_{21} + z_2 r_{22} + z_3 r_{23} + z_4 r_{24} + z_5 r_{25} + z_6 r_{26} + z_7 r_{27} + z_8 r_{28} + z_9 r_{29} + z_{10} r_{210} + z_{11} r_{211} + z_{12} r_{212} + z_{13} r_{213} + z_{14} r_{214} + z_{15} r_{215} + z_{16} r_{216} + z_{17} r_{217} + z_{18} r_{218} + R_2 p = 0,$

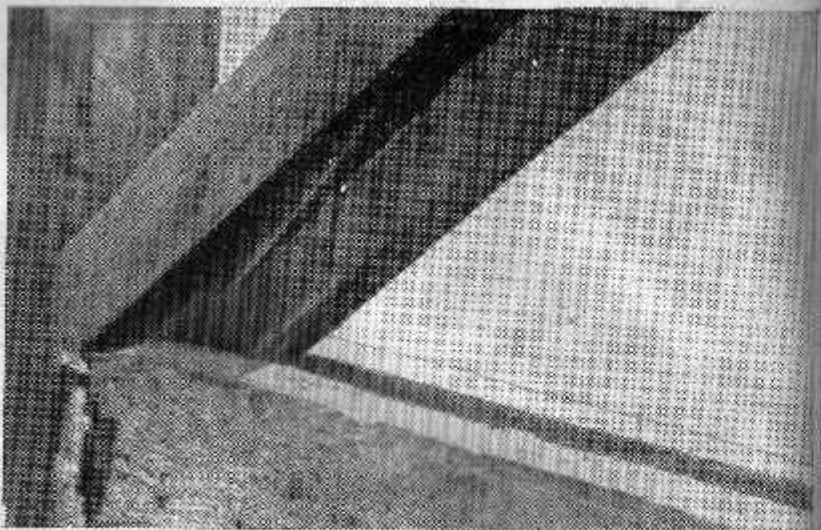


Рис. 52. Скальывание по kleевым швам стоек в узлах № 3 и 5

Последнее 18-е уравнение имеет вид

$$+ z_1 r_{181} + z_2 r_{182} + z_3 r_{183} + z_4 r_{184} + z_5 r_{185} + z_6 r_{186} + z_7 r_{187} + \\ + z_8 r_{188} + z_9 r_{189} - z_{10} r_{1810} + z_{11} r_{1811} + z_{12} r_{1812} + z_{13} r_{1813} + \\ + z_{14} r_{1814} + z_{15} r_{1815} + z_{16} r_{1816} + z_{17} r_{1817} + z_{18} r_{1818} + R_{18} p = 0.$$

В этих уравнениях z_1, z_2, \dots, z_{18} — неизвестные метода перемещений, т. е. углы поворота узлов и их линейные перемещения (см. расчетную схему, рис. 54), r_{11}, r_{21}, \dots — коэффициенты при неизвестных; R_{1p}, R_{2p}, \dots — грузовые члены реакций дополнитель-

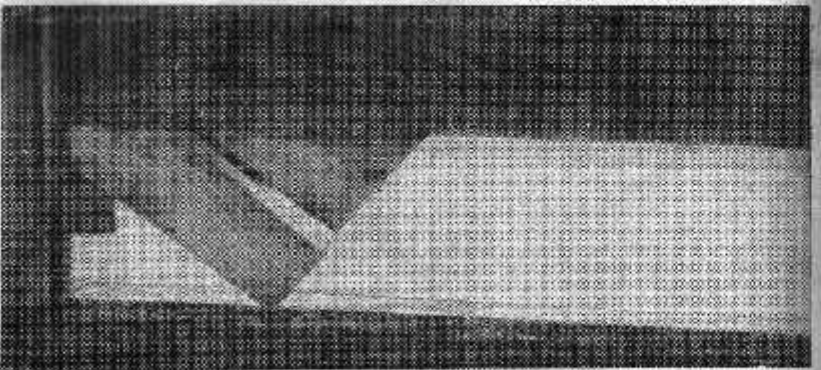


Рис. 53. Скалывание по kleевым швам раскоса. Видна продольная трещина в раскосе

ных закреплений в основной системе метода перемещений. Изгибающие моменты в заданной системе получены суммированием ординат эпюры M_p , построенной в основной системе от нагрузки, с ординатами единичных эпюр изгибающих моментов, умноженными на значения неизвестных.

$$M = M_a + \overline{M}_1 z_1 + \overline{M}_2 z_2 + \dots + \overline{M}_{18} z_{18}$$

Ниже приводятся необходимые для расчета величины жесткостей элементов ферм при модуле упругости $E = 1\,000\,000 \text{ г.м}^2$.

$$F = 0.042 \cdot 0.19 \cdot 2 = 0.01596 \text{ м}^2$$

$$I = 2 \frac{0,042 \cdot 0,19^3}{12} = 0,000048013 \text{ m}^4$$

$$FF = 15.960 \text{ rad}, \quad EI = 48.013 \text{ Nm}^2, \quad l =$$

$E = 15960 \text{ т; } EI = 48013 \text{ тм}^2$ (1-я группа жесткостей, см. 54).

Средние раскосы:

$$F = 0,042 \cdot 0,16 \cdot 2 \cdot 0,042 \cdot 0,06 = 0,0117 \text{ m}^2$$

$$I = \frac{0,042 \cdot 0,16^3}{12} + \frac{0,042 \cdot 0,06^3}{12} = 0,000015848 \text{ m}^4;$$

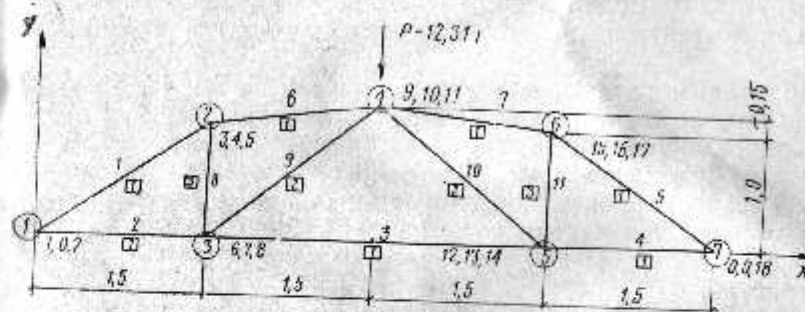
$EF = 11760 \text{ г}; EI = 15848 \text{ ГМ}^2$ (2-я группа жесткостей)

Стойки:

$$F = 0,042 \cdot 0,16 \cdot 2 = 0,01344 \text{ N}^2$$

$$r = 2 \frac{0,042 \cdot 0,16^3}{12} = 0,000028672 \text{ m}^4$$

$E = 13440 \text{ т}; EI = 28672 \text{ тм}^2$ (3-я группа жесткостей)



① ② номера узлов

1,2 ... - **номера стержней** **1,2... 6,7,2...** - **номера неизвестных перемещений** (Z_1, Z_2, Z_{18})

Рис. 54. Расчетная схема ферм

По полученным данным были построены эпюры моментов нормальных и поперечных сил (рис. 55—57).

В табл. 26 представлены схемы узлов № 1, 2, 3, 4 плоскости склейки прямоугольного, трапециевидного и эллипсOIDного

очертаний, величины крутящих моментов, полученные по расчету значения полярных моментов сопротивления и величины касательных (скользящих) напряжений.

При рассмотрении данных таблицы можно установить некоторую зависимость величин разрушающих напряжений при воздействии крутящих моментов от углов склейки.

Представляют интерес исследования А. П. Павлова [14] по вопросу работы клесового соединения под углом 90° при воздействии крутящих моментов для площадей склейки от 100 до 300 см^2 . Результаты показаны на графике (рис. 58).

Так, для площади 300 см^2 величина разрушающего крутящего момента равна 4150 кгс/см . Размеры сторон площади склейки:

$$a = \sqrt{\frac{300}{2}} = 12,25 \text{ см};$$

$$W_k = 0,208 \cdot 12,25^3 = 383 \text{ см}^3. \quad (26)$$

Разрушающее напряжение при двух плоскостях склейки будет равно

$$\tau_{\max} = \frac{M_k}{W_k} = \frac{4150}{383 \cdot 2} = 5,42 \text{ кгс/см}^2.$$

Далее представляется возможным воспользоваться данными утомленных выше работ Купера и Структа, которые по результатам испытаний ферм с параллельными поясами (рис. 47) установили, что величина разрушающих напряжений при воздействии крутящего момента составляет $\frac{1}{8}$ разрушающих напряжений при воздействии продольной силы при тех же углах склейки.

По данным рис. 36, для углов склейки $15, 30, 40, 60$ и 90° можно подсчитать величины разрушающих напряжений. Результаты работ, проведенных тремя авторами, сведены в табл. 27.

Полученные результаты не позволяют выявить достаточно четкую закономерность изменения разрушающих напряжений в клесовых швах при изменении углов склейки; однако они достаточно ясно обрисовывают верхние и нижние пределы этих характеристик.

Характер кривой рис. 59, построенной по материалам табл. 27, показывает, что прочность клесовых швов вначале возрастает с увеличением угла от 10 до 30° и с соответственным уменьшением площади склейки — огрицательно сказывается увеличение угла взаимного расположения волокон в склеиваемых элементах. Наибольший разброс отмечается при углах склейки 90° ; видимо, тут влияет размерность образцов (см. примечание к табл. 27).

В досчатых фермах помимо крутящих моментов на узловые соединения действуют также и продольные сжимающие или растягивающие силы. При воздействии кругящих моментов каса-

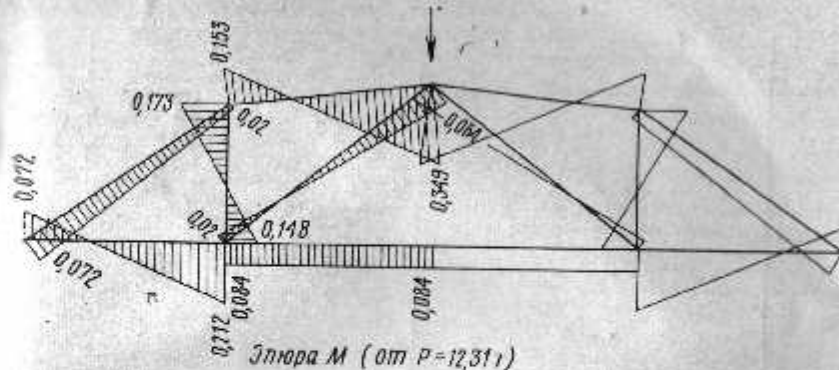


Рис. 55. Эпюра моментов M в т.м от $P=12,3 \text{ т}$

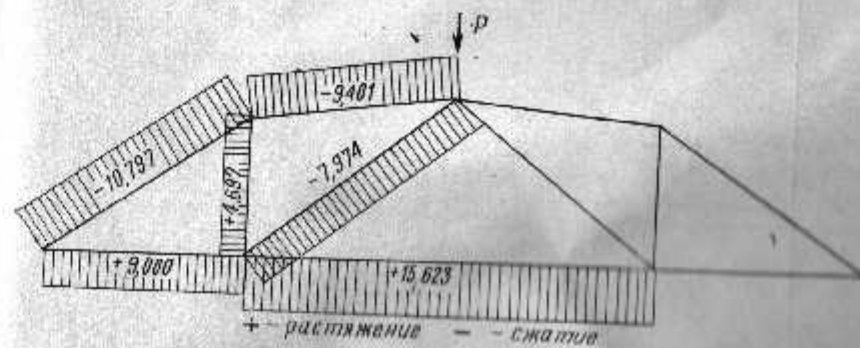


Рис. 56. Эпюра нормальных сил от $P=12,3 \text{ т}$

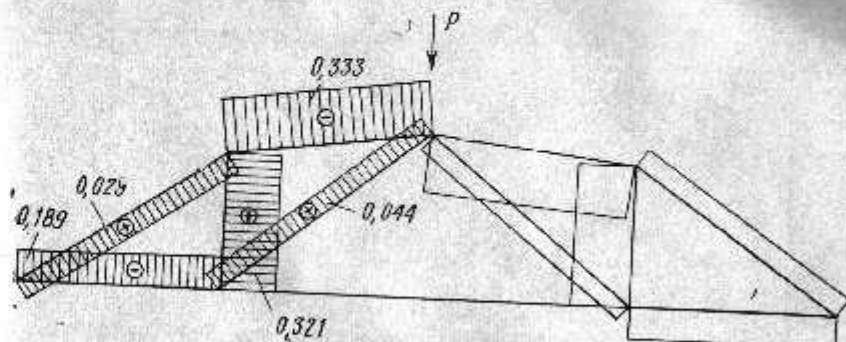


Рис. 57. Эпюра поперечных сил от $P=12,3 \text{ т}$

Таблица 36

Напряжения в kleевых швах

№ узла	Схемы узлов	Расчетная площадь склейки F , см ²	Крутящий момент M_N , кгс/см
1		Подкос $4 \left(\frac{3,14}{4} \cdot 17 \cdot 35 \right) = 1872$	7200
2		Стойка $2(17,8 \cdot 16) = 570$	17300
		Верхний пояс $2\left(40 \frac{19+10}{2}\right) = 1160$	15300
		Опорный раскос $2\left(40 \frac{19+10}{2}\right) = 1160$	2000
3		Стойка $2(19 \cdot 16) = 608$	14800
		Раскос $2\left(\frac{3,14}{4} \cdot 15 \cdot 25\right) = 590$	21200
4		Накладки верхнего пояса $2\left(40 \frac{19+14}{2}\right) = 1320$	34900
		Раскосы $2\left(\frac{3,14}{4} \cdot 25 \cdot 15\right) = 590$	6400

Примечание. На всех схемах узлов показаны размеры расчетных

узлов фермы при нагрузке 13,32

Полный момент сопротивления W_K , см ³	$\tau = \frac{M_N}{W_K}$, кгс/см ²	Нормальная сила N , кгс	$\sigma = \frac{N}{F}$, кгс/см ²	Примечание
$\frac{4(3,14 \cdot 17^2 \cdot 35)}{16} = 7940$	$\frac{7200}{7940} = 0,91$	-10 797	$\frac{10 797}{1872} = 5,76$	Швы по плоскости склейки раскосов нарушены не были
$2(0,218 \cdot 17,8 \cdot 16^2) = 1990$	$\frac{17300}{1990} = 8,70$	+4 697	$\frac{4697}{70} = 8,22$	Скалывание по kleевым швам стоек
$2 \left[\frac{40(19^4 - 10^4)}{12 \cdot 19(19 - 10)} - \frac{0,105(19^4 - 10^4)}{19} \right] = 3070$	$\frac{15300}{3070} = 5,0$	-9 401	$\frac{9401}{1160} = 8,12$	Скалывание по kleевым швам верхнего пояса
$2(0,208 \cdot 19 \cdot 16^2) = 2040$	$\frac{14800}{2040} = 7,24$	4 697	$\frac{4697}{608} = 7,92$	Скалывание по kleевым швам стоеч
$2(3,14 \cdot 15^2 \cdot 25) = 2204$	$\frac{21200}{2204} = 9,62$	7 974	$\frac{7974}{590} = 13,5$	Скалывание по kleевым швам раскосов
$2 \left[\frac{40(19^4 - 14^4)}{12 \cdot 19(19 - 14)} - \frac{0,105(19^4 - 14^4)}{19} \right] = 4834$	$\frac{34900}{4834} = 7,22$	9 401	$\frac{9401}{1280} = 7,15$	Скалывание по kleевым швам накладок верхнего пояса
$2 \frac{(3,14 \cdot 15^2 \cdot 25)}{16} = 2204$	$\frac{6400}{2204} = 2,9$	7 974	$\frac{7974}{590} = 13,5$	Швы по плоскости склейки раскосов не нарушены

площадей склейки элементов.

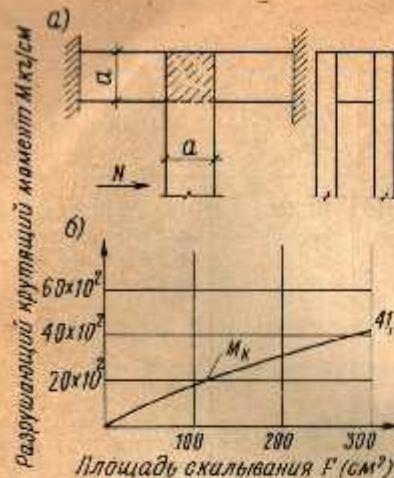


Рис. 60. Схема работы kleевого соединения при воздействии продольных сил и кручущего момента

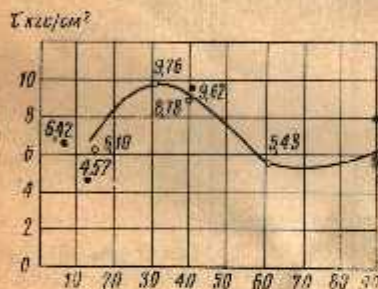


Рис. 69. График изменения величины разрушающих напряжений в зависимости от угла склейки при воздействии крутящих моментов
○ — результаты испытания Купера; ● — результаты испытания узлов фермы; · · — результаты испытания образцов, склеенных под углом 90°, по данным А. И. Павлова

тельные напряжения в плоскостях склейки имеют наибольшие значения по серединам более длинных сторон плоскостей склейивания. Они будут противоположны по направлению и поэтому одно из них обязательно совпадет с направлением напряжения от продольной силы. Наибольшее касательное напряжение можно было бы получить как сумму этих составляющих (рис. 60).

По данным испытаний фермы пролетом 6 м было установлено, что kleевые соединения в некоторой части узлов при разрушающей нагрузке 13,32 т нарушены не были. Это находится

в соответствии с малой величиной крутящих моментов, полученной по расчету (см. эпюру на рис. 55). Сохранились kleевые швы в опорных узлах № 1 и 7, частично в узлах № 2, 4 и 6 (см. табл. 26). Ниже приводятся величины касательных напряжений от крутящих моментов [2] и от продольных сил в этих узлах.

Из табл. 28 видно, что величины касательных напряжений от воздействия крутящих моментов относительно невелики. Касательные напряжения от воздействия продольных сил по своей

величине примерно соответствуют напряжениям в kleевых швах узлов подвергшихся разрушению. В разрушившихся узлах касательные напряжения от продольной силы нигде не достигли своей предельной величины (см. рис. 36).

Таблица 27

Величины разрушающих напряжений в kleевых соединениях при воздействии крутящих моментов

Номер	Авторы работ	Угол склейки							Примечания
		0°	13°	15°	30°	40°	60°	90°	
1	Д. Купер и А. Структ. Испытание образцов	—	—	6,1	9,76	8,78	5,48	4,88	При постоянной площади склейки. Соединение из досок 76×38
2	Б. С. Соколовский. Испытание фермы, $l = 6 \text{ м}$	7,22	5,0	—	—	9,62	—	7,97	a) При переменной площади склейки. Соединение из досок 190×42 и 160×42 мм; б) для угла 90° принято среднее значение разрушающих напряжений, равное $7,24 + 8,70 = 15,94$ кгс/см ² (табл. 26); — 7,07 кгс/см ² (табл. 26)
3	А. И. Павлов. Испытание образцов	—	—	—	—	—	—	5,49	Соединение из досок шириной 130–150 мм

Таблица 28

Величины касательных напряжений

Наименование узлов	$\tau, \text{kgs/cm}^2$	$a, \text{kgs/cm}^2$
Опорный узел № 1	0,91	5,76
Узлы № 2 и 6, крепление спорных раскосов	0,65	9,30
Узел № 4, крепление средних раскосов	2,9	13,50

Таблица 29

Предел прочности на скальвание при кручении

Углы склейки, °	$R_{ck}, \text{kgs/cm}^2$	Углы склейки, °	$R_{ck}, \text{kgs/cm}^2$
10°	6,0	50°	7,5
15°	7	60°	5,5
25°	9	90°	5,5
40°	9		

Из изложенного можно сделать вывод о превалирующем влиянии крутящих моментов на прочность kleевых соединений. Исследования трех авторов показывают близкие по величине результаты. Исходя из этого, можно принять в опытом порядке величины разрушающих напряжений за предел прочности за скользование при кручении, при кратковременном воздействии нагрузки. Величины, приведенные в графике (рис. 59) даны с некоторым округлением в табл. 29.

Полученные результаты следует рассматривать как предварительные. Желательно дальнейшее продолжение исследовательских работ по склейке под углом, с учетом одновременного действия крутящих моментов и продольных сил. Такие работы могут иметь важное значение также для расчета kleевых рам с фанерными накладками в карнизных узлах, kleевые швы которых работают на кручение.

Глава IV

ИЗГОТОВЛЕНИЕ КЛЕЕНЫХ КОНСТРУКЦИЙ

1. Общие сведения

В этой главе кратко изложены общие сведения по технологии изготовления kleевых конструкций на основе отечественной и зарубежной практики, а также освещаются отдельные вопросы технологий по данным работ, проведенных автором в строительных организациях.

Технология изготовления kleевых конструкций состоит из следующих основных операций: отбор и сортировка пиломатериалов, сушка, обработка поверхностей для склеивания, нанесение клея, запрессовка, выдерживание в прессах под давлением, обработка поверхностей готовых элементов и отправка их на склад.

Пиломатериал, предназначенный для изготовления kleевых конструкций, сушится в сушильных камерах до влажности 10—15%, сортируется по качеству, раскраивается по длине с вырезкой дефектных мест и подготавливается для склейки на «зубчатый стык». Длина склеенной нитки досок обычно равна длине конструкции или ее элемента. После склейки осуществляется острожка элементов на четырехстороннем строгальном станке.

Для склейки несущих конструкций в СССР обычно применяется водостойкий фенольформальдегидный клей марки КБ-3. Отверждение этого клея производится при температуре 16—18°C. В целях ускорения отверждения в ряде случаев применяется нагрев. Недостаток клея — его токсичность, проявляющаяся до полного его отверждения; поэтому в сборочных цехах необходимо устройство специальной приточно-вытяжной вентиляции. Помещения для приготовления клея и мойки посуды, кистей,

переносных kleемешалок и т. п. требуют усиленной вентиляции и специальных мероприятий по охране труда.

Жизнеспособность клея КБ-3 после введения отвердителя (контакт Петрова) равна примерно 1,5—2 ч, поэтому каждая партия клея приготавливается в количестве, которое может быть использовано в процессе сборки и запрессовки соответствующего количества kleевых элементов.

Другой недостаток этого клея, который выявляется в дальнейшем, в процессе эксплуатации, — повышенная хрупкость kleевых швов, что особенно заметно в конструкциях, не защищенных от воздействия переменной влажности, солнечной радиации и повышенных температур. При нормальных условиях эксплуатации в закрытых помещениях прочность kleевых швов сохраняется длительное время.

Более устойчивы к климатическим и температурным воздействиям резорциновые клеи, разработанные в США. В Англии широкое применение находит резорциновый клей «Каскофен» и др. В ФРГ для производства kleевых конструкций применяются мочевиноформальдегидные клеи различных марок. Наряду с этими kleями за рубежом применяются также и поливинил-акетатные клеи, отличающиеся длительной жизнеспособностью, бесцветностью kleевого шва, быстрой отверждения. Недостаток их — малая водостойкость.

2. Изготовление kleевых балок

Запрессовка kleевых балок обычно осуществляется в специальных горизонтальных и вертикальных ваймовых прессах, а также в гидравлических и гидравлических прессах.

В СССР kleевые балки изготавливают преимущественно в ваймовых прессах. Наряду с этим довольно широко применялась запрессовка гвоздями; этот способ трудоемок и требует постоянного технического надзора. При запрессовке пакета необходимо соблюдение двух основных требований: во-первых, доски должны быть тщательно калиброваны (недопустимы их покоробленность и различная толщина); во-вторых, памазка kleem, существенная kleевыми вальцами, пистолетами-распылителями или кистями, должна быть равномерной, при строгом соблюдении установленной инструкцией [15] вязкости клея и времени сборки и запрессовки.

При воздушной запрессовке в местах неплотного примыкания досок, т. е. при толстом (более 0,3 мм) kleевом шве, делается дополнительный гвоздевой забой.

Способом гвоздевой запрессовки в период 1948—1954 гг. было изготовлено большое количество kleевых балок двутаврового профиля и прямоугольного сечения. Эти балки уложены на десятках тысяч квадратных метров площади междуэтажных и чердачных перекрытий в Ленинграде, Североморске, Севастополе,

ле, Риге, Омске, Бежице и других городах. В настоящее время гвоздевая запрессовка применяется для изготовления полуарок пролетом 45 м для покрытий складов солей, калийных комбинатов в Солигорске, Соликамске и др. Этот, казалось бы, кустарный способ запрессовки балок и арок с помощью гвоздей имеет преимущество, что не требует быстрой сборки всего пакета, ограниченного временем жизнеспособности клеевого раствора.

Балка пакетного типа не может находиться в прессе в течение времени, необходимого для полимеризации клея, так как производительность пресса была бы при этом ничтожной. Возможно осуществлять запрессовку в пресс-вагонетках, количество которых должно быть достаточным для обеспечения беспрерывности технологического процесса, учитывая необходимый срок выдержки под давлением [15]. Вместе с тем это требует дополнительных расходов на оборудование и соответствующей площади цеха для размещения пресс-вагонеток.

Новые возможности представляет запрессовка гвоздями при использовании специальных пневматических молотков для забивки гвоздей. Трудоемкость запрессовки сокращается в несколько раз и этот способ в отдельных случаях может конкурировать со способом запрессовки в прессах. В США, ФРГ, Финляндии и других странах этот новый инструмент получил широкое распространение. Пневматический молоток при наличии соответствующего приспособления допускает программируемую забивку гвоздей.

Для приготовления клея и нанесения его на склеиваемую поверхность необходимы kleсемешалки, kleевые вальцы или пистолеты для нанесения клея. Индустрийпроектом и ЭКБ ЦНИИСК разработана kleсемешалка для приготовления клея. За рубежом аналогичные kleсемешалки выпускаются фирмами «Драй-Торрмаш», «Дей» и др. В kleсемешалках предусмотрены механизмы, обеспечивающие нагрев и охлаждение смеси. Для нанесения вязких kleев (КБ-3) удобны выпускаемые нашей промышленностью пистолеты марки КВС-2 с увеличенным против других марок диаметром сопла. Двухсопловые пистолеты разработаны и выпускаются фирмой «Эрспрей». Они сконструированы с раздельной подачей компонентов kleя; смешивание их происходит в фажеле пистолета только при выходе из аппарата. Значительным преимуществом этих пистолетов является возможность нанесения kleя в течение суток, независимо от срока его жизнеспособности. При массовом поточном изготовлении однотипных балок целесообразно применять автоматические линии склейивания непрерывного действия с нагревом в поле ТВЧ или в специальных камерах.

В СССР опытную установку для склеивания брусьев любой длины разработал ЦНИИМОД. Испытания установки дали положительные результаты.

В Финляндии, ФРГ и США на специальных заводах имеются

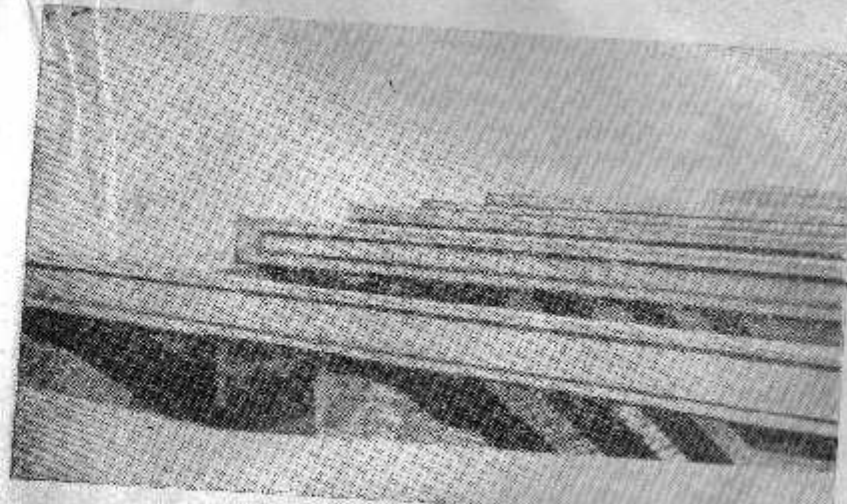


Рис. 61. Клеевые балки междуэтажного перекрытия жилого дома в Автозе (Ленинград)

поточные линии по изготовлению kleевых балок. Так, в США балки высотой 76 см и длиной до 14 м, состоящие из 60 слоев досок толщиной по 12,5 мм, склеиваются резорцинформальдегидным kleем в течение 8 мин в специальных прессах. В ЧССР разработана технология изготовления kleевых балок с применением пневматических прессов, перемещающихся с запрессованным элементом в камеру конвекционного нагрева, где kleй отверждается в течение 1,5—2 ч [16].

Представляют интерес некоторые примеры из опыта изготовления kleевых балок на отечественных предприятиях. В Ленинграде на Охтенском комбинате было организовано изготовление kleевых балок длиной 6,5 м двутаврового профиля с размерами поларного сечения 290×150 мм instead ofофициальных балок из высококачественного леса сечением 260×200 мм. Для балок (см. ниже рис. 68, б) применялись доски и бруски размерами 150×35 и 80×

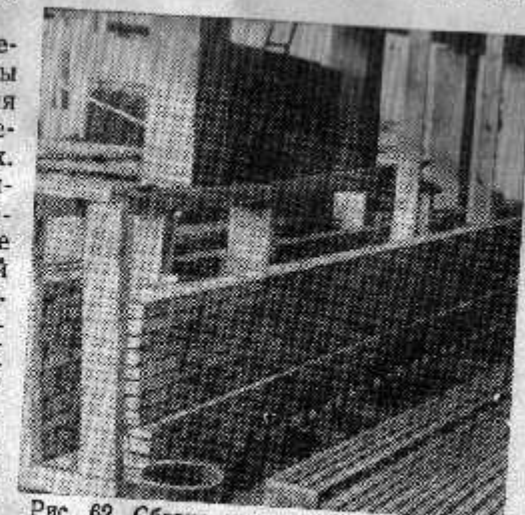


Рис. 62. Сборка kleевых балок двутаврового профиля пролетом 12 м с запрессовкой гвоздями

×37 мм, которые вырезались из маломерного пиловочника диаметром от 15 до 18 см. Трудоемкость изготовления составила 13,4 чел.-чеса на 1 м³ балок данного типа.

Балки изготавливались на казеино-цементном клее с запрессовкой гвоздями. Стоимость 1 м³ kleевых балок не превышала стоимости балок из брусьев. На рис. 61 представлено междуэтажное перекрытие жилого дома в Автобе, выполненное с применением kleевых балок.

На том же комбинате были изготовлены балки двутаврового сечения пролетом 6,9 и 12 м. Ниже приводятся данные о трудоемкости их изготовления, а на рис. 62 показана сборка этих балок с запрессовкой гвоздями.

В деревообделочной мастерской в Клину были изготовлены kleевые балки двутаврового профиля с перекрестной стенкой, доски которой были расположены под углом 30° по отношению к поясным доскам. Эти балки имели повышенную несущую способность по сравнению с гвоздевыми (см. выше об испытании балок). Для балок был применен пиломатериал — сосна влажностью 15—16%.

Нижние расщепленные поясы были отнесены к элементам I категории, верхние скатые пояса — к элементам II категории, стенка — к элементам III категории. Общий вид балок см. на рис. 43. Пояса в этой балке были запроектированы из четырех слоев строганных досок толщиной 36 мм со стыками,

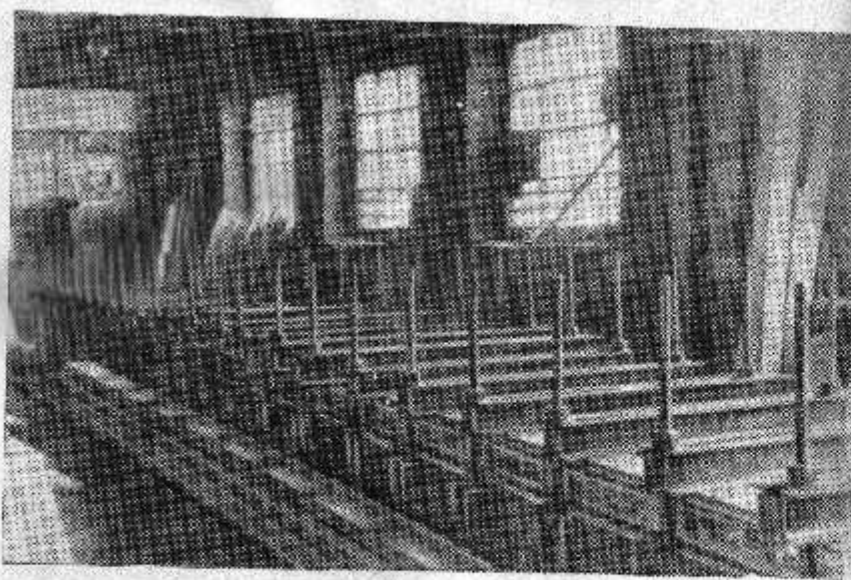


Рис. 63. Стенд с винтовыми зажимами для запрессовки балок двутаврового профиля с перекрестной стеткой

выполненные на «ус» и «вразбежку». Стенка была выполнена из двух слоев тонких маломерных строганных досок толщиной 21 мм. Для запрессовки балок был запроектирован и выполнен специальный стенд с винтовыми зажимами (рис. 63).

Изготовление балок производилось следующим образом. Вначале были склеены отдельно нижние пояса в виде сплошной ленты из одного слоя толщиной 36 мм со стыками на «ус». Далее на стенде по шаблону укладывали доски верхнего и нижнего поясов, а также доски ребер жесткости, намазанные kleem; затем поверх досок под углом 30° укладывали один слой стенки из заранее опилленных по длине досок толщиной 19 мм. После намазки слоя kleem укладывали второй слой досок стенки в обратном направлении. Далее собранные на стенде элементы запрессовывались винтовыми зажимами, расставленными по длине балки через 480 мм. Балки выдерживались в прессах в течение 12 ч при температуре +18°C. После снятия винтовых зажимов наклеивали второй слой поясных досок и производили вторичную запрессовку. После вторичного выдерживания в течение 12 ч балку освобождали от зажимов и снимали со стендса.

При сборке двухслойной стенки балки особое внимание было уделено тщательной калибровке досок. Отклонение размеров по толщине не превышало ±0,5 мм, что в значительной степени уменьшило возможность появления непроклеек в швах при запрессовке.

Запрессовка поясов балки в два приема потребовала излишней затраты времени на выдержку в прессе и была вызвана тем, что при большой протяженности балки (12 м) и ограниченной по времени жизнеспособности фенолформальдегидного kleя КБ-3 (1,5 ч) практически не было возможности склеить и запрессовать всю балку в такой короткий срок. При применении пистолетов для нанесения kleя марки КВС-2, и особенно двухспловых пистолетов с раздельной подачей компонентов kleя, срок запрессовки может быть сокращен не менее чем на 30%.

3. Изготовление kleевых свай

Изготовление kleевых пакетов, предназначенных для свай, производилось на деревообделочных предприятиях Министерства морского флота [18], в цехах, оборудованных для этой цели.

Запрессовка осуществлялась с помощью гвоздей и в опытном порядке на стенде с винтовыми зажимами.

Примуществом первого способа, несмотря на его трудоемкость, является то, что свая в процессе сборки занимает место на верстаке сравнительно короткое время (45—60 мин), после чего она может быть перемещена на стенд для выдержки в течение времени, необходимого для отверждения kleя.

При изготовлении по второму способу необходима выдержка в прессе свай в запрессованном состоянии в течение 7—8 ч, что неизбежно, поэтому целесообразно иметь набор из 6—7 пе-

реносных стендов-зажимов, транспортируемых с помощью тельфера или на вагонетках.

Представляет интерес особенность склейки широких пакетов с двумя-тремя досками в каждом ряду. Такого рода клеенные пакеты были использованы и в качестве свай в гидротехническом строительстве [17]. В гражданском строительстве они могут найти применение в виде стоек и колонн, а также в виде мачт при строительстве линии электропередач (рис. 64).

Применение пневматических молотков для забивки гвоздей позволит сократить трудоемкость запрессовки. Этот способ может стать вполне целесообразным, особенно если иметь в виду возможность программируемой забивки гвоздей. Учитывая большую длину свай и наличие в каждом слое, состоящем из двух и трех досок (табл. 32), 6—9 стыков на «ус», независимо от способа запрессовки необходима предварительная склейка каждой нитки досок. При склейке на «ус» можно пользоваться винтовыми зажимами. Выдерживание в зажимах может быть сокращено при устройстве местного подогрева зажатых стыков до температуры 50—60°C. При наличии шипорезных станков и высокочастотной установки целесообразно использоватьстыкование шипов досок на зубчатый шип, как более производительное. Зубчатые стыки выполняются с длиной зуба 30—60 мм, с шагом 8—12 мм и с затуплением конца зуба 0,3 мм.

На Московском деревообрабатывающем комбинате № 3 Главмостстроя действует поточная линия для склейки заготовок столярных изделий. Продолжительность склеивания на высокочастотной установке английской фирмы «Филдинг» составляет

1—5 мин [16]. Перед сборкой на клее следует предварительно подготовить весь пакет, собрав его насухо на параллельно расположенным верстаке с целью ускорения сборки на клее и проверки плотности прилегания досок по пласти и по кромкам по избежание могущих быть непроклеек.

Нанесение клея удобнее всего производить упомянутым выше пистолетом КВС-2 или двухсопловым пистолетом.

Применение клеенамазывающих вальцов типа КВ-2 и КВ-20 при изготовлении свай или клеенных пакетов иного назначения менее удобно, так как после прохождения досок через вальцы необходимо еще дополнительная промазка кромок.

Лучшее качество склейки при запрессовке широких пакетов в винтовых прессах получается при наличии двух прижимных площадок, которые обеспечивают запрессовку по всей ширине пакета (рис. 65).

Рис. 64. Схема клееной мачты для линии электропередач

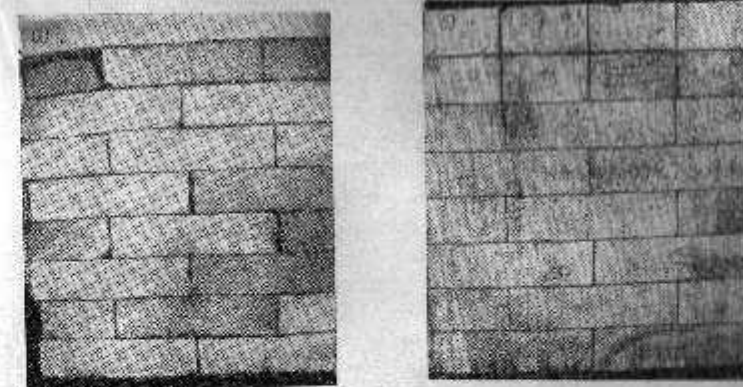
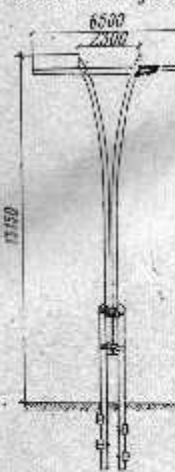


Рис. 65. Поперечное сечение клеенных свай при запрессовке в прессе

a — при наличии одного прижима; *b* — при наличии двух прижимов

При сборке пакета обычно получается некоторая разница в толщине досок, расположенных в одном ряду; при одной прижимной площадке происходит неравномерная запрессовка досок.

Следует иметь в виду, что при запрессовке широких пакетов в винтовых прессах требования к качеству обработки пиломатериала несколько выше, чем при запрессовке гвоздями. При сборке на гвоздях каждый слой досок поочередно прижимается к нижележащему слою; поэтому при наличии в одном слое досок

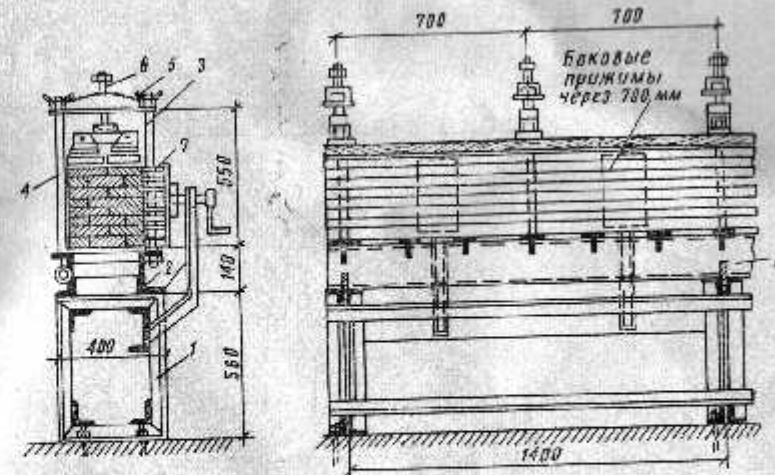


Рис. 66. Винтовые зажимы для запрессовки свай
a — основание; *2* — съемная рама с винтовыми зажимами; *3* — стойка зажима; *4* — откидная стойка; *5* — верхняя планка рамы; *6* — винт; *7* — боковые прижимы

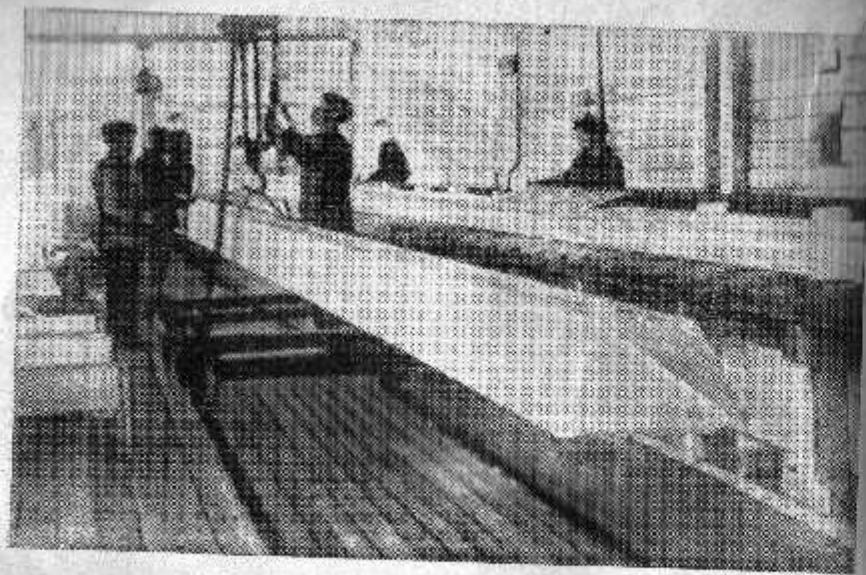


Рис. 67. Клееная свая сечением 290×290 мм, длиной 20 м

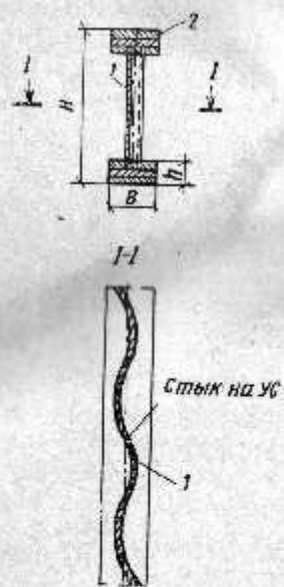


Рис. 68. Клееная балка
1 — волнистая стека из фанеры; 2 — клееные листы из досок

с разницей в толщине порядка 0,2—0,3 мм непроклейки могут быть частично устранины путем дополнительной подтяжки гвоздями верхней доски к нижней. В винтовых же зажимах (рис. 66) запрессовка всего пакета происходит сразу и ликвидировать непроклейки путем прижатия отдельной доски не удается.

По данным опыта изготовления клеенных свай и шпунта на предприятиях Министерства морского флота [18] были получены данные о трудоемкости этих работ (табл. 32). В норму времени на изготовление свай и шпунта включены работы по сортировке пиломатериала, подноске его к станкам, обработке, снятию свай или шпунта с верстаков, надеванию башмаков и бугелей и вывоза готовой продукции из цеха.

Из табл. 32 видно, что трудоемкость увеличивается с увеличением длины свай и уменьшением толщины досок. На рис. 67 представлена клееная свая сечением 290×290 мм, длиной 20 м.

В процессе проектирования клеенных несущих конструкций все основные по-

казатели, характеризующие данный тип конструкции — поперечное сечение, длина, толщина досок или брусков, способстыкования их по длине и др., должны быть согласованы иувязаны с возможностью организации соответствующего технологического процесса, который базируется на имеющемся в наличии оборудования для обработки пиломатериала, склейки и запрессовки конструкций. Имеются примеры, когда поступивший на производство проект клееной конструкции подвергался изменениям, которые диктовались технологическим процессом. Так, при изготовлении трехшарнирных клеенных рам типа «Бумеранг» полурамы собирались из тонких досок толщиной 20—25 мм. Процесс был достаточно трудоемок и требовал большого расхода клея; в связи с этим был предложен и осуществлен другой, менее трудоемкий, вариант изготовления этих рам из более толстых досок (35—45 мм) со стыкованием стоек и ригелей в углах с фанерными накладками [13].

В последнее время за рубежом находят широкое применение в сельскохозяйственном складском и промышленном строительстве клеенфайерные балки с волнистой стенкой (рис. 68). В ФРГ, Великобритании, Финляндии и других странах разработано и внедрено технологическое оборудование для поточного выпуска клеенфайерных балок пролетом до 14 м. В Москве на Международной выставке «Стройматериалы-71» такие конструкции экспонировались финской фирмой «Алтопакки». Производительность поточных линий по изготовлению балок с волнистой стенкой на заводах ФРГ достигает 10 м/мин. Ежегодно в ФРГ производится более 1 млн. куб. м таких балок [30].

Глава V

ТЕХНИКО-ЭКОНОМИЧЕСКИЕ ДАННЫЕ ПО ПРИМЕНЕНИЮ КЛЕЕНЫХ КОНСТРУКЦИЙ В СТРОИТЕЛЬСТВЕ

Одной из побудительных причин применения клееных балок является дефицит круглого леса необходимых диаметров для изготовления балок цельного сечения. В ряде случаев пиловочник, доставляемый на деревообрабатывающие предприятия, — маломерный, диаметрами от 14 до 18 см, в то время как для изготовления балок из брусьев необходим высококачественный крупномерный пиловочник. Для пролетов 4—5 м балки вышливаются из бревен $d=24$ см; для пролетов до 5,5—6 м необходим пиловочник $d=26$ см.

В послевоенный период при дефиците крупномерного леса клееные балки применялись в значительных объемах в жилом

и гражданском строительстве в Севастополе, Одессе, Брянске, Днепропетровске и других городах.

На рис. 69 представлены схемы разделки маломерного пиловочника, а на рис. 70, а, б, в показан общий вид kleеных балок. Из полученного при распиловке набора досок и брусков можно изготавливать довольно обширный сортимент kleеных балок, представленных в табл. 30. В ней показаны kleеные балки двутаврового профиля и для сопоставления с ними балки из брусьев с близкими по величине моментами сопротивления.

Как видно из таблицы, расход пиломатериалов на изготовление kleеных балок, одинаковых по несущей способности с балками из брусьев, ниже на 22—36 %.

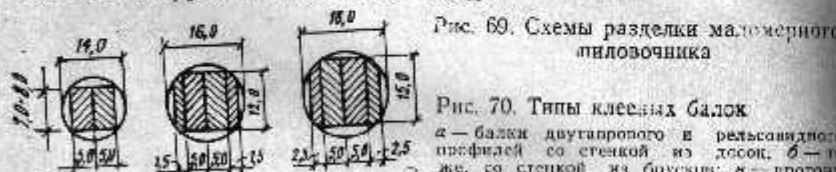
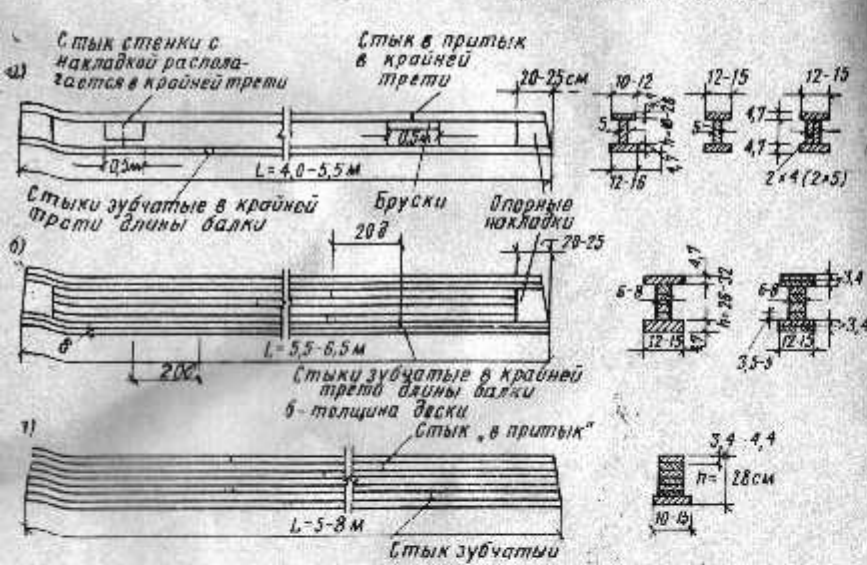


Рис. 69. Схемы разделки маломерного пиловочника

Рис. 70. Типы kleеных балок
а — балки двутаврового в рельсовидного профиле со стенкой из досок; б — же, со стенкой из брусков; в — профиль двутаврового сечения



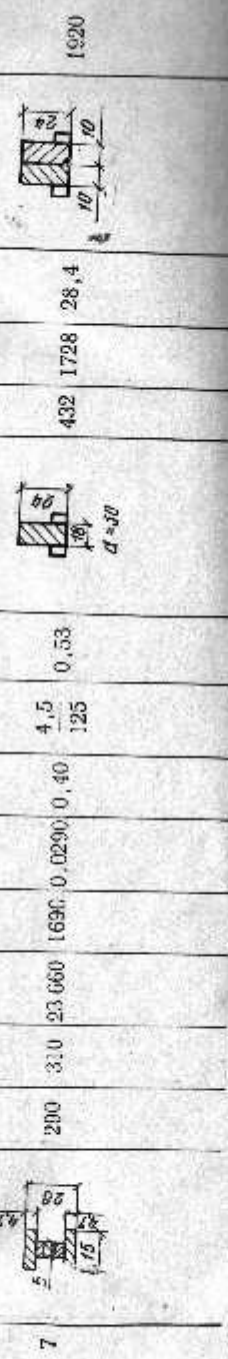
Размеры балок из брусьев, приведенные в табл. 30 (колонка 11), отличаются от принятого сортимента и от балок по ГОСТу. Если же сопоставить расход лесоматериала на kleеные балки с балками по ГОСТу, то экономия лесоматериала будет более значительной. По данным калькуляций, составленных некоторыми ДОКами, относительная трудоемкость изготовления kleеных балок при опрессовке гвоздями по отношению к балкам из брусьев равна примерно 1,70.

Таблица 30

Номер	Основные характеристики kleеных двутавровых балок, выполненных из досок от расшивки бревен	Бревно по ГОСТ 4981-49	Бревно по ГОСТ 4981-49				
			W, см ³	W, см ³	W, см ³	W, см ³	W, см ³
807		220	733	28,4	231	810	29,6
1291		286	1045	30	336	1340	36,5
129		286	1045	30	336	1340	36,5
1		171	8360	796	0,0171	0,10	4,5
2		171	180	1054	0,0204	0,10	4,5
3		204	215	11620	0,0214	0,10	4,5
4		214	225	14750	0,0214	0,10	4,5

Продолжение табл. 30

М/п/а	Сечение клееных балок	Расход материалов	Составляющие сечения брусков по W и избыточный диаметр бруска			Балки по ГОСТ 4981-49	W, см ³
			М, см ²	М, см ³	% избыточного расхода		
1	2	3	4	5	6	7	8
5	219	233	6,350	1310 0,0219 0,40	4,5 125 $\sigma = 28$	0,53	336 1340 35,1 1533
6	270	303	29,950	1730 0,0270 0,40	4,0 100 $\sigma = 30$	0,42	432 1728 30,7 1920
7	200	310	23,660	1696 0,0290 0,40	4,5 125 $\sigma = 30$	0,53	432 1728 28,4 1920



Продолжение табл. 30

М/п/а	Сечение клееных балок	Расход материалов	Составляющие сечения брусков по W и избыточный диаметр бруска			Балки по ГОСТ 4981-49	W, см ³
			М, см ²	М, см ³	% избыточного расхода		
1	2	3	4	5	6	7	8
8	330	374	27,800	1915 0,033 0,70	4,5 125 $\sigma = 26$	0,53	480 1920 21,5 1920
9	330	368	27,800	1915 0,033 0,46	4,5 125 $\sigma = 26$	0,53	480 1920 23,5 1920

Приимечание. Размеры брусков в колонке 11 даны без учета ГОСТа на балки и без учета сортимента, в колонке 15 даны по ГОСТу.

По данным ДОК № 2 в Северодвинске, экономия древесины при замене балок сечением 22×10 kleенными балками таврового сечения 22×15 составила 22,7%. По данным Костопольского комбината, экономия древесины составляла 23,5%. Трудоемкость изготовления kleеных балок различных типов показана в табл. 31.

Таблица 31

Трудовые затраты на изготовление 1 м³ kleеных балок
при гвоздевой запрессовке

№ п/п	Тип балок	Количество чел.-час	Место изготовления
1		14,5	ДОК № 2, Северодвинск
2		12	Охтинский ДОК, Ленинград
3		12,5	Костопольский комбинат (по данным инж. Крея)
4		13,4	Охтинский ДОК, Ленинград
5		15,3	ДОК № 2, Северодвинск
6		15,7	То же

Таблица 32

Нормы времени на изготовление свай и шпунта

№ п/п	Наимено- вание	Сечение конструкции	Длина в м	Объем 1 свая в м ³	Разряд работ	Норма времени на 1 свайдо в час.	Норма времени на 1 шпунт в час.
1	Свай		13	0,622	IV—V	15,6	25
2	"		8	0,438	IV—V	13,14	30
3	"		15,5	1,198	IV—V	37,15	22,6
4	"		20	1,67	IV—V	59,5	35,6
5	Шпунт		12	0,747	IV—V	22,3	30
6	"		9	0,752	IV—V	19,55	26

При подсчете стоимости kleеных балок и балок из брусьев следует учитывать:

а) разницу в стоимости обычного маломерного пиловочника $d=15-18$ см, используемого для изготовления kleеных балок, и высококачественного пиловочника $d=23-26$ см;

6) экономию древесины, составляющую не менее 22%.

По калькуляциям, составленным рядом предприятий, стоимость 1 м³ клееных балок примерно равна стоимости 1 м³ балок из брусьев или несколько ее превышает.

По сборнику цен Главмосстроя (ч. V, разд. 12, 1961 г.), с учетом удорожания лесоматериалов на 1969 г. (9%), стоимость балок из брусьев составит 41,09 руб. на 1 м³. Если учесть экономию в древесине 22% при применении клееных балок вместо балок из брусьев, то для одного и того же участка перекрытия потребуется 1,22 м³ балок из брусьев стоимостью 41,09 × 1,22 = 50,13 руб. Стоимость 1 м³ клееных балок по тому же сборнику цен, с учетом удорожания на 1969 г., составит — 50,36 руб., т. е. стоимость балок обоих типов примерно одинакова.

Информация недостаток в длинномерном свайном лесе, трудность его заготовки и высокая стоимость обусловили применение в строительстве гидротехнических сооружений клееных деревянных свай и шпунта. Клееные сваи и шпунт могут быть выполнены любых необходимых размеров, из коротких досок поперечных сечений, полученных при расщеплении короткомерного леса небольших диаметров. Форма сваи и шпунта по поперечному сечению и по длине может быть назначена наиболее выгодной в зависимости от условий их работы (работы по применению клееных свай и шпунта проводились под руководством д-ра техн. наук проф. М. Е. Кагана).

Известны случаи применения свай большой несущей способности (до 30 т) сечением 320×288 мм и длиной 18 и 20 м. Технико-экономическое сопоставление обычных деревянных свай и шпунта с клеенными дано в специальном разделе книги «Клееные сваи и шпунт» [18]. В настоящей главе в табл. 32 для иллюстрации приводятся нормы времени на изготовление свай и шпунта.

Изготовление клееных балок, свай и шпунта до сих пор производилось в обычных цехах деревообрабатывающих предприятий, приспособленных для этой цели, при ручной сборке и запрессовке гвоздями.

При изготовлении клееных элементов в специально оборудованных цехах, спаренных сушильными камерами, оборудованных станками длястыкования по длине, высокочастотными установками и ваймозымкой или гидравлическими прессами и т. п., трудоемкость изготовления клееных элементов и их стоимость значительно снижается.

Список литературы

1. Даедбеков С. Д. Восстановление деревянных покрытий и изекантий. Изд-во Министерства коммунального хозяйства РСФСР, 1962.
2. Спасский Г. В. Деревянные конструкции. Госстройиздат, 1962.
3. Копетков Д. А. Поражение древесины газами. «Строительная промышленность», 1936, № 9.
4. Симпсон Р. И. Wood frame building. «Chemical Metallurgical Engineering», 1941, июн.
5. Указания по применению деревянных конструкций в условиях химически агрессивной среды. Стройиздат, 1966.
6. Неролятин Л. М. и Пеплов А. Х. Механические свойства и испытания древесины. Госглестхозиздат, 1934.
7. Каган Г. Г., Каган М. Е., Свекицкий Г. В., Освенский Б. А., Сакакуход Ю. В. Индустриальные деревянные конструкции, примеры проектирования. Стройиздат, 1967.
8. Губенко А. Б. Клеевые конструкции из досок. Госстройиздат, 1949.
9. Губенко А. Б. Клеевые деревянные конструкции. Госстройиздат, 1957.
10. Березин Г. Д. Некоторые вопросы прочности клеевых сопряжений при склеивании элементов под углом. Отчет Ленинградского инженерно-строительного института за 1953 г.
11. Леонтьев Н. Л. Упрочнение деформации деревянных конструкций. Госглесбудиздат, 1962.
12. Штейнберг С. В. Опыт производства клееных деревянных конструкций. Доклад на конференции 1963 г. в Новосибирске.
13. Азангардовский В. А. и Павлов А. И. Клей и деревянные клеевые конструкции в речном судостроении. Речиздат, Л., 1953.
14. Инструкция по проектированию и изготовлению клееных деревянных конструкций строительных дегтярей (СНиП II-57). Госстройиздат, 1958.
15. Ковалевчук Л. М. и Преображенская И. П. Клеевые деревянные конструкции. Министерство лесной и деревообрабатывающей промышленности СССР, 1960.
16. Инструкция по проектированию, изготовлению и применению клеенных деревянных свай и шпунта в гидротехническом строительстве. Авторы Каган М. Е., Соколовский Б. С. Гидротехиздат, 1952.
17. Каган М. Е., Соколовский Б. С., Янавский С. Д. Клеевые сваи и шпунт. Изд-во «Речной транспорт», 1955.
18. ГОСТ 6336-52. Лесоматериалы. Методы физико-механических испытаний древесины.
19. СНиП II-8.4-52 «Деревянные конструкции. Нормы проектирования».
20. Иванов В. Ф. Проблемы долговечности деревянных конструкций. Госстройиздат, 1950.
21. Отчет лаборатории деревянных конструкций НИИ-200 по теме «Применение деревянных конструкций в цехах, где по условиям коррозии применение стали и железобетона исключено». Автор Б. С. Соколовский, 1959.
22. Научно-технический отчет по теме «Применение деревянных конструкций в цехах с агрессивными средами, где по условиям коррозии применение металла и железобетона ограничено». Составлен лабораториями деревянных конструкций ЦНИИСК и НИИ-200. Авторы Б. С. Соколовский и В. П. Гусев, 1961.
23. Фесик С. И. Справочник по сопротивлению материалов. «Будиздат», Киев, 1970.
24. Коченев П. М. Несущая способность элементов и соединений деревянных конструкций. Госстройиздат, 1963.
25. Клинов И. Я. Дерево как материал для химической аппаратуры. Госхимиздат, 1966.
26. Центральный Институт типового проектирования. Альбом типовых проектов трехшарнирных арок из промышленных элементов со стальными затяжками для пролетов 9,12 и 16 м. Серия 1800-3, вып. 1, 1972.
27. Клинов И. Я. Деревянные конструкции поточного производства в зарубежном строительстве. ЦНИИ по гражданскому строительству и архитектуре (Ротариентное изд.), 1972.

Оглавление

	Стр.
Предисловие	3
Г л а в а I. Долговечность деревянных конструкций и мероприятия по продлению срока их эксплуатации	5
1. Балки в междуэтажных и чердачных перекрытиях	5
2. Гвоздевые балки с перекрестной стенкой	7
3. Деревянные фермы	15
1. Усиление конструкций цельных, гвоздевых балок и ферм	31
5. Усиление конструкций kleenых трехшарнирных арок	39
Г л а в а II. Деревянные конструкции в агрессивных средах	41
1. Состоиние конструкций покрытий цехов химических и минно-металлургических заводов	42
2. Прочность древесины в агрессивных газовых средах	47
3. Результаты обследования древесины несущих конструкций в испытаний стандартных образцов	56
Г л а в а III. Kleеные деревянные конструкции	62
1. Крупнопанельные kleеные фермы и арки	62
2. Склейка под углом	72
Г л а в а IV. Изготовление kleеных конструкций	102
1. Общие сведения	102
2. Изготовление kleеных балок	103
3. Изготовление kleеных свай	107
Г л а в а V. Технико-экономические данные по применению kleenых конструкций в строительстве	111
Список литературы	119

Цена 38 коп.